

BAYERISCHE AKADEMIE DER WISSENSCHAFTEN

MATHEMATISCHE-NATURWISSENSCHAFTLICHE KLASSE

ABHANDLUNGEN · NEUE FOLGE, HEFT 111

---

MAX KNEISSL

Das europäische Gravimeter-Eichsystem,  
Unterlagen und Vorbericht zur einheitlichen internationalen  
Ausgleichung nach der Methode  
von Dr. A. H. Cook

Mit fünf Anlagen und vier Übersichten

Vorgetragen am 6. Juli 1962

MÜNCHEN 1963

VERLAG DER BAYERISCHEN AKADEMIE DER WISSENSCHAFTEN  
IN KOMMISSION BEI DER C.H.BECK'SCHEN VERLAGSBUCHHANDLUNG MÜNCHEN

Druck der C. H. Beck'schen Buchdruckerei, Nördlingen  
Printed in Germany

## INHALTSVERZEICHNIS

Das europäische Gravimeter-Eichsystem, Unterlagen und Vorbericht zur einheitlichen internationalen Ausgleichung nach der Methode von Dr. A. H. Cook . . . . .	5
---	---

### ANLAGEN UND ÜBERSICHTEN

Anlage I: Ergebnisse der Pendelmessungen im europäischen Gravimeter-eichsystem . . . . .	17
Anlage II: Ergebnisse der Gravimetermessungen im europäischen Gravimetereichsystem . . . . .	23
Anlage III: Zusammenstellung der Gravimetermessungen zwischen den Knotenpunkten . . . . .	59
Anlage IV: Übertragungsmessungen für die Nebenpunkte der Knotenpunkte (Zentrierelemente) . . . . .	85
Anlage V: Stationsbeschreibungen für die Knotenpunkte und Punktskizzen	95
Übersicht 1: Europäisches Pendelnetz, Stand 1. 9. 1961 . . . . .	114
Übersicht 2: Übersicht über die Messungen auf der Linie Hammerfest – Catania des europäischen Gravimetereichsystems . . . . .	115
Übersicht 3: Pendel- und Gravimetermessungen im europäischen Gravimetereichsystem, Stand 1. 9. 1961 . . . . .	116
Übersicht 4: Zusammenstellung der Schwereunterschiede $\Delta g$ zwischen den Knotenpunkten . . . . .	117

# DAS EUROPÄISCHE GRAVIMETEREICHSYSTEM

Bericht von M. Kneißl, München

1. November 1961<sup>1</sup>

## 1. Einleitung

Die Internationale Gravimetrische Kommission hat als eines der wichtigsten Ziele der Internationalen Assoziation für Geodäsie die Sammlung von gleichwertigen gravimetrischen Beobachtungswerten herausgestellt, die sich auf möglichst symmetrisch über die gesamte Erdoberfläche verteilte Stationen beziehen. Weiter hat sie empfohlen, daß alle Schwerewerte einheitlich reduziert und zur Geoidbestimmung verwendet werden sollen. Um gleichwertige Schwerewerte zu erhalten, ist die Einrichtung internationaler Eichbasen und der Aufbau eines Weltschwerenetzes notwendig. Über die Einrichtung des Weltschwerenetzes haben S. Coron in „Réseau Gravimétrique International de 1<sup>er</sup> Ordre: Descriptions des Stations et Valeurs de la Pesanteur. Bureau Gravimétrique International (2. Aufl. 1959)“ und C. Morelli in „Report on the Absolute and First Order World Net (1959)“ ausführlich berichtet. Für die Einrichtung der Gravimeter-Eichbasen wurden inzwischen vier Kommissionen aufgestellt, und zwar innerhalb der Spezialstudiengruppe Nr. 6 der IAG: Einrichtung von Gravimeter-Eichbasen und Bildung der regionalen Netze:

- Europa (M. Kneißl)
- Amerika (D. A. Rice)
- Zentralasien (Y. Boulanger)
- Ostasien (T. Okuda)

Im nachfolgenden soll über das europäische Gravimeter-Eichsystem berichtet werden. Schon hier soll festgestellt werden, daß die ursprünglich geplante Eichlinie durch Europa und Afrika bis jetzt nur in ihrem europäischen Teil endgültig ausgewählt und planmäßig beobachtet werden konnte. Diesem europäischen Teil kommt eine besondere Bedeutung dadurch zu, daß parallel zu seiner Anlage und Beobachtung in fast allen europäischen Ländern nationale Gravimeternetze, meist gegliedert in Gravimeterhauptnetz, Gravimeternetz I O. und Gravimeternetz II. O. entstanden sind. Diese Netze sind national begrenzt, in sich ausgeglichen und in ihrem Maßstab auf national definierte Eichlinien bezogen. Der Ausbau und die Verdichtung dieser nationalen Gravimeternetze ist so weit fortgeschritten, daß praktisch in fast allen europäischen Ländern die Messungen in den übergeordneten Gravimeternetzen seit Jahren abgeschlossen sind. Weitere Beobachtungen dienen

---

<sup>1</sup> Ein vorläufiger Bericht wurde bereits 1960 der XII. Generalversammlung der I. U. G. G. in Helsinki vorgelegt.

in der Regel nur noch partiellen Verbesserungen, speziellen geodätischen Forschungsvorhaben und der Lagerstättenforschung.

Wenn das gesamte europäische Gravimeter-Eichsystem überhaupt noch einen praktischen Sinn haben soll, dann muß es möglichst schnell festgelegt werden, damit die in den Landesnetzen eingesetzten Gravimeter wenigstens noch nachträglich geeicht und die vorliegenden europäischen Landesnetze auf einen einheitlichen Maßstab gebracht werden können.

Damit kommen wir zu folgenden Forderungen:

1. Umgehende Festlegung des europäischen Gravimeter-Eichsystems und Einführung eines „konventionellen europäischen mGals“;
2. Neufestsetzung der Eichwerte der nationalen Gravimeter-Eichstrecken im gesamt-europäischen System;
3. Eichung der beim Aufbau der europäischen Gravimeter-Eichnetze verwendeten Gravimeter und aller Gravimeter für etwaige Folgearbeiten;
4. Zusammenschluß der nationalen Gravimeternetze zu einem einheitlichen europäischen Gravimeternetz und Berechnung einheitlicher Schweredaten.

Beim Aufbau eines einheitlichen europäischen Schweresystems müßte eigentlich der Aufbau des Weltschwerenetzes abgewartet werden. Wir können aber aus rein praktischen Gründen nicht warten, bis alle laufenden „Absolutmessungen“ abgeschlossen und im Anschluß hieran das Weltschwerenetz ausgeglichen werden kann, weil bis dahin die praktische Anwendung, insbesondere der Aufbau nationaler und kontinentaler Gravimeternetze abgeschlossen ist. Bevor wir hierzu auf Einzelheiten eingehen, möchte ich mich noch grundsätzlich gegen die vielfach überspitzten Genauigkeitsanforderungen wenden.

Wenn wir kritisch die bisherigen gravimetrischen Arbeiten in Europa betrachten, so müssen wir zwischen flächenförmig angelegten Landesgravimetrierungen und den nur mehr wissenschaftlichen Zwecken dienenden Langstreckengravimetrierungen (Großraumgravimetrierungen) unterscheiden. Bei ersteren beschränkt man sich auf eine mäßige Genauigkeit, die bei etwa  $\pm 0,1$  mGal pro beobachtetem Schwereunterschied liegen dürfte, während man bei den rein wissenschaftlichen Arbeiten heute schon mit  $\pm 0,01$  mGal nicht mehr zufrieden ist und Unsicherheiten von  $\pm 0,1$  mGal als „grobe Fehler“ ansieht und durch Nachmessung beseitigt. Wir sollten uns auch hier grundsätzlich auf ein vernünftiges Mittelmaß, das bei etwa  $\pm 0,03$  mGal liegen dürfte, in allen Fällen beschränken. Die Beobachtungen dürfen nicht zum Selbstzweck werden; sie müssen vernünftig auf die Folgearbeiten abgestellt und so genau sein, daß auch bei vielen Beobachtungsschritten die Fehlerfortpflanzung in erträglichen Grenzen bleibt. Unsere ganze Aufmerksamkeit muß daher der Aufdeckung und Tilgung systematischer Fehler gelten, während uns eine gelegentlich und zufällig auftretende Zehntel-mGal-Differenz nicht sonderlich beeindrucken sollte. Präziser ausgedrückt: Ich halte es für wenig sinnvoll, wenn wir ganze Gravimetrierungen verwerfen, weil eine Meßreihe in einzelnen Stationen sich von einer anderen um  $\pm 0,1$  oder  $\pm 0,2$  mGal unterscheidet.

## 2. Die Pariser Beschlüsse vom September 1959

Als Ergebnis der Tagung der Internationalen Gravimetrischen Kommission vom 15. bis 19. September 1959 in Paris, über die ein ausführlicher Bericht im Bull. géod. Nr. 56 (1960) S. 125–175 von S. Coron veröffentlicht wurde, können die dort gefaßten Resolutionen be-

trachtet werden. Nachdem auf S. 131/132 des zitierten Berichtes das Protokoll über Berichte und Diskussionen zum Problem der europäischen Eichbasen gegeben ist, befassen sich folgende Resolutionen mit diesem Gegenstand:

„Resolution Nr. 9

Auf der europäischen Basis durchzuführende neue Pendelmessungen

Die Internationale Gravimetrische Kommission

empfiehlt nach Prüfung des gegenwärtigen Standes der Europäischen Eichbasis, daß diese Basis durch neue Pendelmessungen ergänzt wird, die im wesentlichen Teil der Basis durchgeführt werden, insbesondere zwischen Paris und Pic du Midi, und im östlichen Teil von Hammerfest nach Catania (über Helsinki)“.

Diese Messungen konnten bis jetzt noch nicht durchgeführt werden.

„Resolution Nr. 10

Die Internationale Gravimetrische Kommission

prüfte die Europäische Eichbasis für Gravimeter und fand, daß nach den Berechnungen mit den vorläufigen Ergebnissen oder Beobachtungen und dem Vergleich zwischen dem besten Netz und dem europäischen Eichsystem diese Europäische Eichbasis eine Genauigkeit von ungefähr 0,3 ‰ bietet. Die Internationale Gravimetrische Kommission stellt fest, daß diese Genauigkeit für alle Zwecke genügt.

Sie empfiehlt daher:

1. daß die Resultate nach der Generalversammlung 1960 in Helsinki durch Berechnung einer allgemeinen Ausgleichung nach der Methode der kleinsten Quadrate, und zwar nach der Cook'schen Methode endgültig gerechnet werden sollten, wobei alle bisher mittels Pendeln oder Gravimetern gewonnenen verlässlichen Beobachtungen, außerdem auch die gegenwärtig noch durchgeföhrten, berücksichtigt werden sollen. Die ausgewählten Resultate für alle Stationen der Europäischen Eichbasis sollten dann für alle Gravimetereichungen in Europa benutzt werden;
2. daß die mittels Pendeln oder Gravimetern gewonnenen Resultate, die in die allgemeine Ausgleichung der Europäischen Eichbasis einbezogen werden sollen, durch das Internationale Gravimetrische Büro in Paris und durch den Präsidenten der Spezialstudiengruppe bis zum 1. 6. 60 gründlich geprüft und festgelegt werden sollen; bis zu diesem Datum sollten dorthin alle notwendigen Angaben mitgeteilt sein;
3. daß die örtlichen Schwereverbindungen zwischen den mit Gravimetern besetzten Stationen (wobei einige davon auf Flughäfen sind) und den benachbarten Pendelstationen mit solcher Genauigkeit durchgeführt werden sollten, daß die möglichen Fehler im Vergleich zu den in den Messungen der Unterschiede von g über lange Entfernungen hin steckenden Unsicherheiten vernachlässigt werden können;
4. daß die entsprechende Spezialstudiengruppe eine Liste aller Angaben aufstellt und diese allen Mitgliedern der Kommission bis zum 1. 9. 60 zusendet;
5. daß der Präsident der Spezialstudiengruppe (Prof. Dr. Dr. M. Kneißl) gleichzeitig eine Gesamtaufstellung für jedes Landesnetz erhält, damit er die Möglichkeit hat, der Generalversammlung in Helsinki Vorschläge für eine allgemeine und einheitliche Ausgleichung aller europäischen Netze vorzulegen.“

Diese Arbeiten konnten inzwischen wenigstens zum Teil erledigt werden. Wir kommen darauf weiter unten zurück.

**„Resolution Nr. 12  
Prüfung der Eichlinien (Basislinien)**

**Die Internationale Gravimetrische Kommission**  
empfiehlt, daß wenigstens eine Gravimetergruppe zur Durchführung von Messungen über die gesamte Erstreckung aller Eichlinien eingesetzt wird.“  
Dieser Empfehlung konnte noch nicht entsprochen werden.

**„Resolution Nr. 13  
Verwendung von Gravimetern für Internationale Verbindungen**

**Die Internationale Gravimetrische Kommission**  
empfiehlt:

1. daß besondere Aufmerksamkeit der Untersuchung der Linearität und von pseudo-periodischen Fehlern von geodätischen Gravimetern mit großem Bereich, im gesamten Bereich der verwendeten Messungen, ferner der Schwankung der Eichfaktoren nach der Zeit und Temperatur gewidmet werde;
2. daß Messungen stets innerhalb des Bereiches durchgeführt werden sollten, wo die Eichung gegenüber Pendelbeobachtungen praktisch durchgeführt worden ist, weil die Extrapolation noch keineswegs sichergestellt ist;
3. daß die benützte Eichlinie ganz oder teilweise eine der offiziellen Internationalen Pendelbasislinien ist.“

Diese Empfehlung soll künftig beachtet werden.

**3. Die Ergebnisse der Pendel- und Gravimetermessungen im europäischen Gravimetereichsystem**

Auf Grund der Empfehlungen des Symposiums der Internationalen Gravimetrischen Kommission 1959 in Paris wurden nochmals alle Pendel- und Gravimetermessungen, die in die Ausgleichung des europäischen Gravimetereichsystems einbezogen werden sollen, an Hand der Veröffentlichungen und brieflichen Mitteilungen in fünf Anlagen und vier Übersichten neu zusammengestellt und von den Beobachtern überprüft.

**3.1 Anlage I: Ergebnisse der Pendelmessungen im europäischen Gravimetereichsystem (Stand 1. 9. 1961)**

In Anlage I wurden die mit vier verschiedenen modernen Pendelapparaten gemessenen Schwerunterschiede zwischen aufeinanderfolgenden Stationen des europäischen Gravimetereichsystems unter Angabe der Beobachter und des benutzten Apparates zusammengestellt. Bei allen Messungen wurde auf die Ausschaltung des magnetischen Effektes der Pendel besonderer Wert gelegt. Nähere Einzelheiten über die Meßverfahren, die Schwingungszeiten der Pendel und die von den Beobachtern angegebenen mittleren Fehler kön-

nen den Originalveröffentlichungen entnommen werden, die in Anlage I ebenfalls angegeben sind.<sup>1</sup>

Auf begründeten Wunsch der Beobachter [38] wurden die mit dem Askania-Pendelapparat des Deutschen Geodätischen Forschungsinstitutes gemessenen Einzelschwereunterschiede Teddington – Kopenhagen und Kopenhagen – Oslo zu dem Gesamtschwereunterschied Teddington – Oslo zusammengefaßt in Anlage I aufgenommen. Neben den in Anlage I aufgeführten Messungen liegen noch die Ergebnisse für drei Schweredifferenzen des kanadischen Meßtrupps [32] vor. Wie die in [38] mitgeteilten Voruntersuchungen gezeigt haben, sind diese Ergebnisse aber mit großen systematischen Fehlern behaftet und bleiben deshalb in Anlage I unberücksichtigt.

Alle in Anlage I aufgeführten Ergebnisse sind in der Übersicht 1 „Europäisches Pendernetz (Stand 1. 9. 1961)“ schematisch dargestellt.

### 3.2 Anlage II: Linienweise Zusammenstellung der Gravimetermessungen im europäischen Gravimetereichsystem

In Anlage II wurden alle Gravimetermessungen zusammengestellt, die in die Ausgleichung des europäischen Gravimetereichsystems einbezogen werden können bzw. die nach der Ausgleichung zur Festlegung der Unterabschnitte der Linie Hammerfest – Bodö – Oslo – Kopenhagen – Bad Harzburg – München – Rom – Catania dienen sollen. Zunächst werden die Messungen dieser Linie aufgeführt. Ihre örtliche Ausdehnung wurde unter Angabe von Beobachter, Jahr der Messung und Instrument in Übersicht 2 schematisch dargestellt.

In Anlage II folgen dann die Messungen auf den übrigen Linien des europäischen Gravimetereichsystems, wobei die verschiedenen Messungen eines Institutes jeweils zu einer Gruppe zusammengefaßt wurden. Wegen Einzelheiten zu diesen Messungen sei auf die in Anlage II angegebenen Originalveröffentlichungen verwiesen. Die für die Ausgleichung des europäischen Gravimetereichsystems besonders wichtigen Gesichtspunkte sind nach Instituten bzw. Instrumenten getrennt im folgenden in der Reihenfolge der späteren Übersicht 4 kurz erläutert.

#### 3.2.1 Messungen des Geodätischen Instituts der Technischen Hochschule Hannover

Im ganzen europäischen Gravimetereichsystem wurden von 1958 an ausgedehnte Großraumgravimetrierungen mit dem Askania-Gravimeter Gs 12 Nr. 130 ausgeführt, bei denen Verkehrsflugzeuge als Transportmittel dienten [29]. Außerdem wurden 1959 die Schweredifferenzen aller Haupt- und Zwischenpunkte der Linie München – Rom – Catania unter Benutzung eines Autos für den Transport nach einem Steppverfahren mit dem gleichen Instrument gemessen.

Die Eichfunktion des Gravimeters wurde nach dem Verfahren von R. Schulze [39] bestimmt und im Laufe der Jahre überprüft. Alle Messungen sind in einem einheitlichen Maßstab angegeben.

#### 3.2.2 Messungen des Osservatorio Geofisico Sperimentale, Trieste

Vom Osservatorio Geofisico Sperimentale, Trieste, wurde mit sechs verschiedenen Gravimetern, zum größten Teil Worden-Gravimetern, auf der Linie Kopenhagen – Bad Harzburg – München – Rom – Catania und auf dem südlichen Teil des europäischen Gravimetereich-

---

<sup>1</sup> Die am Schluß des Textes zusammengestellten Quellenangaben werden in der Folge und in den Anlagen nur mit ihren in Klammern gesetzten Nummern angegeben.

systems gemessen. Die Eichfunktionen der Instrumente und ihre zeitlichen Änderungen wurden eingehend untersucht und die Instrumente einheitlich auf der italienischen Eichlinie Bologna–Ferrara geeicht [3]. Allen Ergebnissen liegt also der gleiche Maßstab, das „konventionelle italienische Milligal“, zugrunde.– Wie ebenfalls in [3] nachgewiesen wurde, sind die hier eingeführten Messungen unter Benutzung der großen Meßspindel der Worden-Gravimeter gleichwertig mit den Messungen, bei denen nur die kleine Meßspindel benutzt wurde.

### **3.2.3 Messungen des Instituts für Angewandte Geodäsie, Frankfurt/M. (II. Abteilung des Deutschen Geodätischen Forschungsinstitutes)**

Die Eichfunktion des für alle Messungen auf der Linie Kopenhagen–Bad Harzburg–München–Rom–Catania benutzten North American Gravimeters Nr. 140 ist eingehend untersucht. Allen Messungen liegt der Eichwert  $S = 0,20325 \text{ mGal}/\text{ZE}$  zugrunde, der bei der Ausgleichung des Deutschen Schweregrundnetzes bestimmt wurde [16].

### **3.2.4 Messungen des Geodätischen Institutes der Technischen Hochschule Aachen und des Deutschen Geodätischen Forschungsinstitutes, München**

Beide Institute haben mit dem Askania-Gravimeter Gs 12 Nr. 85 auf der Linie Flensburg–Bad Harzburg–Bamberg und München–Rom–Catania gemessen. Die Eichfunktion des Gravimeters wurde nach dem von R. Schulze in [39] angegebenen Verfahren bestimmt.

### **3.2.5 Messungen des Istituto di Geodesia, Topografia e Fotogrammetria del Politecnico Milano**

Zu den Messungen des Istituto di Geodesia, Topografia e Fotogrammetria del Politecnico Milano auf der Linie Bad Harzburg–München–Rom–Catania teilte Herr Prof. L. Solaini in einem Brief mit: „Die für die Messungen benutzten Gravimeter Worden 53, Worden 116 und Western 48 wurden nicht geeicht, weil die Konstanten aus den Pendelmessungen abgeleitet werden.“

Die Änderungen der Eichfaktoren wurden aber während der Messungen bestimmt und bei den Berechnungen berücksichtigt. Nur zum Vergleich der Ergebnisse haben wir einen Eichfaktor für das Worden 53 zugrunde gelegt, der auf der Eichlinie Bologna–Ferrara bestimmt wurde. Wir erhielten die Faktoren für die anderen zwei Gravimeter unter Voraussetzung der Gleichheit des Schwereunterschiedes zwischen Brenner und Catania.“

### **3.2.6 Messungen des Norges geografiske oppmaling**

Für die Messungen mit dem Worden-Gravimeter Nr. 172 zwischen Oslo und Hammerfest wurde der Eichfaktor  $S = 0,10827 \text{ mGal}/\text{ZE}$  benutzt, der von Sömod aus den Pendelmessungen 1955 mit dem Cambridge-Apparat zwischen Oslo und Hammerfest abgeleitet wurde.

### **3.2.7 Messungen des Dänischen Geodätischen Institutes**

Die von Saxov in [17] veröffentlichten Schwereunterschiede auf der Linie Oslo–Bodö–Hammerfest konnten nicht direkt übernommen werden, da ihnen kein einheitlicher Maßstab zugrunde liegt [38]. Die Messungen mit dem Worden-Gravimeter Nr. 142 konnten

aber unter Benutzung des auch von Sömod verwendeten Schwereunterschiedes Oslo-Hammerfest auf einen einheitlichen Maßstab umgerechnet werden. Der Eichfaktor für die Wordenmessungen ist dann  $S = 0,100916 \text{ mGal}/\text{ZE}$ . Mit diesem Wert wurden die in Anlage II zusammengestellten dänischen Messungen neu berechnet. Für die ohnehin wesentlich ungenauerer Messungen mit einem Frost-Gravimeter ist die Umrechnung nicht möglich; sie bleiben deshalb in Anlage II unberücksichtigt. – Es sei noch darauf hingewiesen, daß nicht alle von Saxov benutzten Zwischenpunkte mit den von Sömod in [18] angegebenen Punkten identisch sind.

### 3.2.8 Messungen des österreichischen Bundesamtes für Eich- und Vermessungswesen

Vom österreichischen Bundesamt wurde mit dem Worden-Gravimeter Nr. 500 die Linie Bamberg–München–Rom gemessen. Zur Auswertung wurde der Eichfaktor  $S = 0,0921 \text{ mGal}/\text{ZE}$  verwendet. Luftdruckkorrekturen wurden an die Ergebnisse nicht angebracht.

### 3.2.9 Messungen der Expéditions Polaires Françaises

Die Messungen der Expéditions Polaires Françaises, die vor allem den französischen Teil des Eichsystems bedecken und Anschlüsse zu den Nachbarländern schaffen, sind unbestätigt. Von einigen Messungen sind Instrument und Zeit unbekannt, sie sind [4] entnommen. Die Eichkonstanten sind

für das Western Nr. 42  $K_{42} = 0,677307 \text{ mGal}/\text{ZE}$

für das Western Nr. 47  $K_{47} = 0,894583 \text{ mGal}/\text{ZE}$

für das Western Nr. 42 EQ  $K_{42 \text{ EQ}} = 0,67605 \text{ mGal}/\text{ZE}$  bei  $50^\circ \text{ C}$ .

Alle Ergebnisse sind im einheitlichen Maßstab des „französischen Milligals“ angegeben.

Auf Grund von brieflichen Mitteilungen muß angenommen werden, daß die Meßgenauigkeit zumindest bei einigen der Schwereunterschiede geringer ist als bei Messungen der anderen Institute.

### 3.2.10 Messungen des Rikets allmänna kartverk, Stockholm

Für die Linie Oslo–Kopenhagen sind in Anlage II auch die mit vier verschiedenen Instrumenten ausgeführten schwedischen Messungen angegeben. Sie können wegen ihrer geringen Ausdehnung nur zur Festlegung der Schwerewerte der mit anderen Instrumenten nicht vermessenen Zwischenpunkte der Linie Oslo–Kopenhagen benutzt werden. In der Ausgleichung und den folgenden Anlagen und Übersichten bleiben sie dagegen unberücksichtigt.

Auf Grund der Antworten, die auf mehrfache internationale Umfragen der letzten Jahre eingegangen sind, und an Hand eigener Untersuchungen kann angenommen werden, daß alle sonstigen Messungen wegen zu geringer örtlicher Ausdehnung oder wegen zu geringer Meßgenauigkeit für die Festlegung des europäischen Gravimetereichsystems ungeeignet sind.

## 3.3 Anlage III: Zusammenstellung der Gravimetermessungen zwischen den Knotenpunkten

Zur Einbeziehung der in Anlage II aufgeführten Gravimetermessungen in das europäische Gravimetereichsystem müssen neben den Schwerewerten der Pendelstationen auch die Schwerewerte einiger Gravimeterpunkte als Unbekannte in den Fehlergleichungen der

<sup>2\*</sup>

Ausgleichung angesetzt werden. Als Knotenpunkte, deren Schwerewerte Unbekannte der Ausgleichung sind, gelten daher für das netzförmig aufgebaute europäische Gravimeter-eichsystem:

a) Pendelstationen

1. Hammerfest, Feuerwehrhaus
2. Bodö, Volksschule
3. Oslo, Toyen
4. Edinburgh, Royal Observatory
5. Kopenhagen, Buddinge
6. Teddington, NPL
7. Bad Harzburg, Ev. Gemeindehaus (Schwerebezugspunkt)
8. Paris Sèvres, BIPM
9. München-Nymphenburg
10. Mailand, Politecnico
11. Bagnères de Bigorre, Nouvelle cave
12. Rom, ING
13. Catania, Oss. Astrof.

b) Gravimeterpunkte

14. Stockholm, Bromma punkt 2
15. Hamburg – Horn 2426/7A
16. Bremen, Flughafen
17. Amsterdam, Schiphol
18. Hannover – Langenhagen, 3524/2A
19. Berlin – Tempelhof
20. Düsseldorf 4706/9B (FP)
21. Brüssel, Melsbroek (Transithalle)
22. Frankfurt 5917/59 E FP II
23. Zürich, Kloten (Flughafen)
24. Genf, Obs. (Pfeiler)
25. Toulouse, Obs. (Pfeiler)
26. Marseille marignane (Flughafen)
27. Piastra 23 LTE

Die Netzkonfiguration ist in Übersicht 3 schematisch dargestellt. Die Messungen der einzelnen Institute wurden nach den in Abschnitt 3.2 gegebenen Erläuterungen unterschiedlich gekennzeichnet. Die Knotenpunkte wurden durchnummeriert. Dabei erhielten zunächst die Pendelpunkte von Nord nach Süd fortschreitend die Nummern 1 bis 13, die Gravimeterpunkte ebenfalls von Nord nach Süd fortschreitend die Nummern 14 bis 27, wie oben angegeben. In ähnlicher Weise wurden die Verbindungen zwischen den Knotenpunkten durchnummeriert. Dabei wurden zunächst die Einzelabschnitte der Linie Hammerfest–Catania mit den Nummern 1 bis 10 erfaßt, anschließend mit den Nummern 11 bis 65 die weiteren Verbindungen in der Reihenfolge der Knotenpunkte, von denen sie ausgehen.

Dieser Numerierung entsprechend sind nun in Anlage III an Hand der in Anlage II überprüften einzelnen Schwereunterschiede die entsprechenden Schwerunterschiede der Linienabschnitte zwischen den Knotenpunkten aufgeführt und auf die angegebenen Knotenpunkte mit Hilfe der in Anlage IV zusammengestellten Zentrierungselemente (Schwereunterschiede zwischen Haupt- und Nebenpunkten) bezogen worden.

Voruntersuchungen ergaben, daß die auf einer Meßreise mit verschiedenen Instrumenten gleichzeitig gemessenen Schwereunterschiede meistens stark korreliert sind. Deshalb wurde in diesen Fällen der Schwereunterschied der Anlage III jeweils aus dem Mittel aller beteiligten Instrumente berechnet. Wurde ein Schwereunterschied mit dem gleichen Instrument auf verschiedenen Meßreisen gemessen, so sind die Ergebnisse getrennt aufgeführt.

An die gemessenen, aus Anlage II übernommenen Schwereunterschiede  $\Delta g'$ , denen die in Abschnitt 3.2 erläuterten Eichfaktoren zugrunde liegen, wurden gemäß Vorschlag in [38] folgende Näherungswerte der Eichkorrekturen angebracht: für die Messungen der Expéditions Polaires Françaises,  
des Dänischen Geodätischen Institutes,  
des Norges geografiske oppmaling

$$\delta g = + 10 \cdot 10^{-4} \cdot \Delta g',$$

für die Messungen der T. H. Aachen und des DGFI, München

$$\delta g = + 15 \cdot 10^{-4} \cdot \Delta g',$$

für alle übrigen Messungen

$$\delta g = 0.$$

Die Schwereunterschiede  $\Delta g = \Delta g' + \delta g$  nach Einführung dieser Näherungswerte unterscheiden sich nur noch um etwa  $\pm 5 \cdot 10^{-4}$  im Maßstab; die in der Ausgleichung zu bestimmenden Unbekannten für die Eichkorrekturen werden also klein sein.

Die Schwereunterschiede  $\Delta g$ , die als „Beobachtungen“ in die Ausgleichung eingehen, sind in Übersicht 4 so zusammengestellt, daß jeder der neun Spalten eine Maßstabsunbekannte in der Ausgleichung zukommt. An Hand der Übersicht 4 lassen sich die Fehlergleichungen für die Gravimetermessungen im europäischen Gravimetereichsystem schnell und übersichtlich aufstellen.

### 3.4 Anlage IV: Übertragungsmessungen für die Nebenpunkte der Knotenpunkte (Zentrierelemente)

In Anlage IV sind die Schwereunterschiede enthalten, die zur Übertragung der Messungen von Nebenstationen auf den Knotenpunkt notwendig sind.

### 3.5 Anlage V: Stationsbeschreibungen für die Knotenpunkte und Punktskizzen

Sie enthält die genaue Darstellung der Knotenpunkte in Skizzen bzw. Photos.

## 4. Die Unterteilung der Linien des Eichsystems

Nach der Ausgleichung der Knotenpunkte, insbesondere nach der endgültigen Festlegung der Schwerewerte für die Pendelpunkte, müssen die endgültigen Schwereunterschiede für die Zwischenpunkte der Linie Hammerfest–Bodö–Oslo–Kopenhagen/Budinge–Hamburg–Hannover–Bad Harzburg–München–Piastra–Rom–Catania auf der einen Seite und für die Linie Edinburgh–Teddington–Paris–Toulouse–Bagnères de Bigorre auf der anderen Seite bestimmt werden. Die beobachteten Schweredifferenzen zwischen den einzelnen Zwischenpunkten sind der Anlage II zu entnehmen und mit den

Zentrierelementen, die in Anlage IV zusammengestellt sind, zu verbinden und auf den Sollwert der ganzen Linie abzugleichen. Die Punktskizzen für alle Zwischenpunkte der Linie Hammerfest–Bodö–Oslo–Kopenhagen/Buddinge–Hamburg–Hannover–Bad Harzburg–München–Piastra–Rom–Catania sind folgenden Veröffentlichungen zu entnehmen:

1. für den norwegischen Anteil in [18] (vgl. aber Abschnitt 3.2.7)
2. für den schwedischen Anteil in [25]
3. für den dänischen Anteil in [8]
4. für den deutschen Anteil in [11]
5. für den österreichischen Anteil in [22]
6. für den italienischen Anteil in [21]

Entlang der Linie Edinburgh–Teddington–Paris–Toulouse–Bagnères de Bigorre sind nur die Darstellungen der Stationen entlang der Eichlinie Paris–Bagnères bekannt. Sie sind veröffentlicht in [13].

#### SCHLUSSBEMERKUNG

1. Nach den Beschlüssen von Helsinki gelten die in allen Anlagen zusammengestellten beobachteten Schwerewerte als Unterlagen für die endgültige Ausgleichung nach der von Cook vorgeschlagenen Methode.
2. In die Ausgleichung sind lediglich die vorliegenden Messungen einzubeziehen, künftige Messungen können nur für nachträgliche Vergleiche benutzt werden.
3. Die Ausgleichung nach Cook ist bis zum 1. 4. 62 abzuschließen; sie wird durch Parallelrechnung von folgenden Recheninstituten durchgeführt:
  1. National Physical Laboratory, Teddington (Dr. Cook)
  2. Istituto Topografico Politecnico, Milano (Prof. Solaini)
  3. Osservatorio Geofisico, Trieste (Prof. Morelli)
  4. Laboratorium voor Geodesie, Technische Hogeschool, Delft (Prof. Bruins)
  5. Geodätisches Institut der Technischen Hochschule München (Dr. Marzahn)
 Weitere Institute werden gebeten, die Rechenarbeiten zu übernehmen, wofür die Unterlagen zur Verfügung gestellt werden.
4. Die Ausgleichungsmethode und den Gang der Ausgleichung hat mein Mitarbeiter Dr. Marzahn in dem Bericht „Vorschläge für den Gewichtsansatz und sein Einfluß auf die Ausgleichung des europäischen Gravimeter-Eichsystems“ [40] klar und übersichtlich dargestellt.

#### LITERATURANGABEN

- [1] Gantar, C. und Morelli, C.: „Misure eseguite con gravimetri Worden lungo la linea di taratura europea dell’Osservatorio Geofisico Sperimentale di Trieste nel 1958/59“. Provisional Report.
- [2] Gantar, C. und Morelli, C.: „Collegamenti gravimetrici sulla linea di taratura europea e fra le stazioni di appoggio ai collegamenti intercontinentali con gravimetri a piccolo campo“. Boll. di Geofis. teor. ed applic. Nr. 2/1959.
- [3] Gantar, C. und Morelli, C.: Contributi dell’Osservatorio Geofisico Sperimentale di Trieste alla rete gravimetrica Europea: I. „Revisione critica delle misure effettuate con gravimetri Worden dal 1951 al 1959“. Boll. di Geofisica pura ed applicata Nr. 3, Trieste 1959.

- [4] Gantar, C. und Morelli, C.: Contributi dell'Osservatorio Geofisico Sperimentale di Trieste alla rete gravimetrica Europea: II. „Some comparisons between the values observed by Osservatorio Geofisico Sperimentale Trieste and those by other observers“. Boll. di Geofisica teor. ed appl. Nr. 6, Trieste 1960.
- [5] Großmann, W.: „Bericht über die in den Jahren 1954 bis 1957 ausgeführten Arbeiten, IV. Schweremessungen und Schwerkreanomalien“. Landesbericht, der XI. Generalversammlung der IUGG in Toronto vorgelegt. DGK, München 1957.
- [6] Inghilleri, G.: „Misure con gravimetri lungo la Linea di Taratura Europea tra Bad Harzburg e l'Osservatorio Etneo – Misure eseguite dall'Istituto di Topografia, Geodesia, Fotogrammetria del Politecnico di Milano“. – Memoria n. 15 della Commissione Geodetica Italiana – Milano 1961.
- [7] Jelstrup, G.: „Observations on the gravimetric calibration base Hammerfest – Munich“. Norges geografiske oppmaling, Geodaetiske arbeider, Heft 7, Oslo 1957.
- [8] Kejlsø, E. und Dürbaum, H.: „The European gravimetric calibration line, Danish part“. Geodaetisk Institut, Meddelelse Nr. 37, Kopenhagen 1958.
- [9] Kneißl, M.: „Die internationalen europäischen Gravimeter-Eichbasen, Beschreibung und vorläufige Messungsergebnisse 1954–1956“. Abh. d. Bayer. Akad. d. Wiss., math.-nat. Kl., Neue Folge, Heft 79, München 1956.
- [10] Kneißl, M.: „Das deutsche Schweregrundnetz. Pendelmessungen 1958 der I. Abteilung des Deutschen Geodätischen Forschungsinstituts“. Bearbeitet von K. Marzahn. Veröff. d. DGK, Reihe B, Heft 23/VII, München 1960.
- [11] Kneißl, M.: „Der deutsche Anteil an der europäischen Gravimeter-Eichlinie Hammerfest – Rom“. Abh. d. Bayer. Akad. d. Wiss., math.-nat. Kl., N. F., Heft 78, München 1956.
- [12] Martin, J.: „Etalonnage des gravimètres sur les bases pendulaires européennes. Base Française Paris-Toulouse“. 2<sup>e</sup> éd. Expéd. Pol. Franç., Rés. sc. NS III. 3. Paris 1955.
- [13] Martin, J.: „Base gravimétrique française Paris – Toulouse. Extension de Toulouse au Pic du Midi“. Expéd. Pol. Franç. Rés. sc. NS III. 3. Paris 1954.
- [14] Martin, J., Stahl, P., Munck, F. et Joset, A.: Groenland 1948–1952, Gravimétrie, Ier Partie, valeurs de g à Paris, Expéd. Pol. Françaises, Rés. sc. Nr. III, 3, Paris 1954.
- [15] Marzahn, K.: Zusammenstellung der Messungen auf dem deutschen Anteil der Eichlinie, die bei der Ausgleichung des deutschen Schweregrundnetzes berücksichtigt wurden (Manuskript).
- [16] Marzahn, K.: „Ausgleichung des Deutschen Schweregrundnetzes (Gravimeter- und Pendelmessungen)“. Veröff. d. DGK, Reihe B, Heft 54, München 1959.
- [17] Saxov, S.: „Gravity in Western Greenland from 66° N to 69° N“. Geod. Inst. Skrifter 3. Reihe, Band 29, Kopenhagen 1958.
- [18] Sömod, Th.: „European gravimetric calibration base Hammerfest – Bodö – Oslo“. Norges geogr. oppm., Geodetiske arbeider, Heft 9, Oslo 1957.
- [19] Stahl, P.: „Liaison gravimétrique France – Terre Adélie“. Expéd. Pol. Françaises, Rés. sc. S. III. 3. Paris 1958.
- [20] Wideland, B.: „Report on geodetic operations in Sweden for the period 1954–1957“. Rik. allmänna Kartv. Medd. Nr. 28, Stockholm 1957.
- [21] Cassinis, G.: Monografie delle stazioni gravimetriche nel tratto Brennero-Osservatorio Etneo della Linea di taratura Europea. Pubbl. Comm. geod. della Repubblica Italiana, Milano 1959.
- [22] „Österreichischer Anteil an der Internationalen Gravimeter-Eichlinie, Punktskizzen“. Bundesamt für Eich- und Vermessungswesen, Wien.
- [23] Zusammenstellung von Messungsergebnissen der Meßfahrt 1959 München – Catania des DGFI, Abt. I, von R. Böck (Manuskript).
- [24] Europäische Gravimetereichlinie, Messungen 1959. Ausgef. mit NAG 140, Beob. Dr. Brein, Ausw. Dr. Watermann (Photokopie).
- [25] Messungen auf dem schwedischen Teil der Eichlinie, Anlage zu Schreiben von Dr. L. Pettersson vom 8. 1. 1960 und vom 25. 1. 1961.

- [26] Zusammenstellung der Zentrierelemente zum Zusammenschluß von Messungen im europäischen Gravimeter-Eichsystem (Manuskript).
- [27] Zusammenstellung von Messungen entlang der Eichlinie Helsingør – Catania mit dem Worden-Master 508 (Beob. Dr. Brein). (Anlage zu Schreiben v. Prof. Dr. Gerke vom 8. 7. 1960).
- [28] Schreiben Prof. Dr. Großmann vom 14. 10. 1959 mit Anlage.
- [29] Großmann, W.: Bestimmung der Schwereunterschiede zwischen europäischen Flughäfen mit einem Askania-Gravimeter GS 12. Veröff. d. DGK, Reihe B, Heft Nr. 66, München 1960.
- [30] Endgültige druckkorrigierte Werte der Messung 1958 (Photokopien), Anlage zu Schreiben vom 13. 4. 1960 von Prof. Dr. Inghilleri.
- [31] Anlage zu Schreiben von Prof. Dr. Morelli v. 22. 6. 1960.
- [32] Winter, J. P., Valliant, H. D. and Hamilton, A. C.: Pendulum observations at Ottawa, Gander, Teddington, Paris, Rome and Bad Harzburg, Bull. géod. No. 60, Paris 1961.
- [33] Mazzon, C.: Mesures Pendulaires exécutées sur la LTE de Hammerfest à Catane. Bull. géod. Nr. 60, Paris 1961.
- [34] Catalogue des Stations du Réseau Gravimétrique International de 1<sup>er</sup> Ordre, Bureau Grav. Int. Paris 1959.
- [35] Woppard, G. P. and Rose, J. C.: Final Report on Gravity Program, Reference No. 60–26, Woods Hole Oceanographic Institution. Woods Hole, Massachusetts 1960.
- [36] Schreiben v. Dr. Senftl v. 14. 6. 1961 und v. Dr. Neumayer vom 7. 11. 1960.
- [37] Schreiben von Prof. Dr. Bruins vom 16. 5. 1961 (Anlage 1).
- [38] Kneißl, M.: Rundschreiben vom 21. 6. 1961 des Präsidenten der Spezialstudiengruppe Nr. 6.
- [39] Schulze, R.: Gravimetermessungen über große Entfernung. Veröff. d. DGK, Reihe B, Heft 35, München 1957.
- [40] Kneißl, M. und Marzahn, K.: Vorschläge und Schlußergebnisse für die Ausgleichung des europäischen Gravimeter-Eichsystems. Abh. d. Bayer. Akad. d. Wiss., math.-nat. Kl. N. F. Heft 112, München 1963.

ANLAGE I  
ERGEBNISSE DER PENDELMESSUNGEN  
IM EUROPÄISCHEN GRAVIMETER-EICHSYSTEM  
(STAND 1. 9. 1961)

Ergebnisse der Pendelmessungen

Station B Station A	Beobachter	Instr.	Jahr	Literatur	$\Delta g = g_B - g_A$ (mGal)	$\Delta g$ Mittel (mGal)
1-2 Hammerfest, Feuerwehrhaus Bodö, Volksschule	Jelstrup Mazzon	C J	1955 1959	(7) S. 37 (33) S. 11	+ 244,95 + 245,83	+ 245,39
1-6 Hammerfest, Feuerwehrhaus Teddington, NPL	Browne/ Honkasalo <sup>3</sup>	C	1960	Brief v. 6. 7. 61	+ 1435,84	+ 1435,84
2-3 Bodö, Volksschule Oslo, Geol. Museum	Jelstrup Mazzon Rose	C J G	1955 1959 1960	(7) S. 37 (33) S. 11 Brief v. 12. 6. 61	+ 459,22 + 459,16 + 460,32	+ 459,57
3-4 Oslo, Geol. Museum Edinburgh, Royal Obs.	Marzahn, Sigl	A	1958	(10)	+ 343,48	+ 343,48
3-5 Oslo, Geol. Museum Kopenhagen, Buddinge (Boden)	Rose Jelstrup Mazzon	G C J	1954 1955 1959	Brief v. 21. 6. 60 (7) S. 37 (33) S. 11	+ 369,43 + 368,79 + 370,18	+ 369,47
3-6 Oslo, Geol. Museum Teddington, NPL	Jelstrup Marzahn, Sigl <sup>2</sup> Rose	C A G	1955 1958 1960	(7) S. 37 (10) Brief v. 12. 6. 61	+ 730,88 + 730,38 + 730,72	+ 730,66
4-6 Edinburgh, Royal Obs. Teddington NPL	Bullerwell <sup>1, z</sup> Marzahn, Sigl <sup>z</sup>	C A	1952 1958	(9) S. 30 (10)	+ 387,25 + 387,13	+ 387,19

Station B Station A	Beobachter	Instr.	Jahr	Literatur	$\Delta g = g_B - g_A$ (mGal)	$\Delta g$ Mittel (mGal)
5-7 Kopenhagen, Buddinge (Boden) Bad Harzburg, Ev. Gem.	Rose Jelstrup Mazzon	G C J	1954 1955 1959	Brief v. 21. 6. 60 (7) S. 37 (33) S. 11	+ 377,77 + 377,76 + 377,50	+ 377,68
6-7 Teddington, NPL Bad Harzburg, Ev. Gem.	Cook Rose	C G	1952 1954	(9) S. 29 Brief v. 21. 6. 60	+ 15,68 + 16,34	+ 16,01
6-8 Teddington, NPL Paris, Sèvres BIPM	Marzahn, Sigl <sup>z</sup> Iverson	A G	1958 1959	(10) Brief v. 11. 7. 61	+ 255,57 + 255,41	+ 255,49
6-9 Teddington NPL München-Nymphenburg	Browne <sup>z</sup>	C	1958	Brief	+ 452,14	+ 452,14
7-9 Bad Harzburg, Ev. Gem. München-Nymphenburg	Rose Jelstrup Mazzon <sup>z</sup>	G C J	1954 1955 1958	Brief v. 21. 6. 60 (7) S. 37 (33) S. 11	+ 435,97 + 435,72 + 435,78	+ 435,82
7-12 Bad Harzburg Rom ING	Rose	G	1954	Brief v. 21. 6. 60	+ 816,50	+ 816,50
8-9 Paris, Sèvres BIPM München-Nymphenburg	Marzahn, Sigl	A	1958	(10)	+ 195,69	+ 195,69
9-10 München-Nymphenburg Mailand Polit.	Mazzon <sup>z</sup>	J	1958	(33) S. 11	+ 180,21	+ 180,21

9-12 München-Nymphenburg Rom ING	Browne <sup>z</sup>	C	1958	Brief	+ 379,96	+ 379,96
10-12 Mailand Polit. Rom ING	Mazzon	J	1958	(33) S. 11	+ 200,87	+ 200,87
12-13 Rom ING Catania Oss.	Browne Mazzon, Pieri	C J	1958 1958	Brief (33) S. 11	+ 317,25 + 317,38	+ 317,32

<sup>z</sup> = zentriert: Die Messung ist von einem Nebenpunkt auf die Hauptstation übertragen worden.

<sup>1</sup> Der Schwereunterschied wurde nicht direkt gemessen. Er setzt sich zusammen aus 315,08 mGal (Pendelmessung Cambridge-Edinburgh) und 72,17 mGal (mit Hilfe von Gravimetern mehrfach bestimmter Schwereunterschied Teddington-Cambridge).

<sup>2</sup> Über Kopenhagen.

<sup>3</sup> Über Helsinki.

Instrumente: A = Askania-Apparat  
C = Cambridge-Apparat

G = Gulf-Apparat  
J = Italienischer Pendelapparat.

**ANLAGE II**

**ERGEBNISSE DER GRAVIMETERMESSUNGEN IM  
EUROPÄISCHEN GRAVIMETER-EICHSYSTEM**

Linie: Hammerfest–Catania: Norwegischer Teil

1-5	Instrument Zeit Institut Beob. Lit.	Worden 172 Norges geogr. oppm. 1956 Sômod (18) S. 14f			Worden 142 Dän. Geod. Institut 1956 Saxov		
		$\Delta g$ [mgal]			$\Delta g$		
Nr.	Ort						
1	Hammerfest	-24,20			-23,87		
2	Kvalsund	-33,25			-33,68		
3	Skaidi	-43,74			-43,91		
4	Aisseroaivve	-21,43			-21,41		
5	U 4 N 14 T	+ 8,02			+ 7,99		
6	Krumvann	+30,98			+30,80		
7	Alta	-11,52			-11,38		
8	Matisdal bru	+26,15			+25,99		
9	Talvik	+ 1,96			+ 1,98		
10	Eidsnes	- 3,41			- 3,49		
11	Bogneelv bru	- 7,64			- 7,38		
12	Burfjord	- 3,60			- 3,51		
13	Sörstraumen	-40,43			-40,45		
14	Eidselv bru	+41,78			+41,80		
15	Marvik	-34,09			-34,06		
16	Brudesløret	+15,16			+15,07		
17	Rottmund	-18,23			-17,89		
18	Hiet	- 3,97			- 4,12		
19	Kabelbukt	+ 0,12			+ 0,12		
20	Nordli	- 7,14			- 7,11		
21	Vollan bru	-14,39			-14,41		
22	Moen	-20,58			-20,49		
23	Veidele	+22,66			+22,71		
24	Bardufoss	-11,64			-11,70		
25	Åsvang	- 9,48			- 9,36		
26	Klubbfosshaugen	-41,42			-41,22		
27	Fossbakken	+19,87			+19,73		
28	Tverrelven	+ 7,07			+ 7,36		
29	Narvik	- 7,34			- 7,59		
30	Grindjord	+11,60			+11,64		
31	Ballangen	-22,37			-22,49		
32	Setrah	- 7,75			- 7,76		
33	Bognes	-22,27			-22,24		
34	Skilvassbakken	- 8,72			- 8,68		
35	Innhavet	-25,04			-25,03		
36	Sandnes	- 4,61			- 4,62		
37	Mörsvikbotn						

Linie: Hammerfest–Catania: Norwegischer Teil

Nr.	Ort	Instrument	Worden 172	Worden 142
		Zeit Institut Beob. Lit.	Norges geogr. oppm. 1956 Sömod (18) S. 14f.	Dän. Geod. Institut 1956 Soxov
37	Mörsvikbotn		- 3,92	- 3,98
38	Bonåsjöen		+ 1,05	+ 0,88
39	Rösvik		-20,49	-20,54
40	Djupvik		- 8,07	- 8,04
41	Fauske		+22,19	+22,26
42	Norvik		+14,82	+14,79
43	Hopen bru		+12,85	+12,57
44	Bodö			
	Hammerfest		-244,76	-244,72
44	Bodö		-12,55	-12,59
43	Hopen bru		-22,19	-22,29
42	Nordvik		-22,19	-22,29
41	Fauske		-12,92	-12,95
45	Setså		- 4,80	- 4,84
46	Rognan		-36,66	-36,72
47	Leirjordfall		-26,52	-26,56
48	Storjord		-44,52	-44,60
49	Viskiskoia		-33,19	-33,27
50	Lönsdal		+37,38	+37,64
51	Randalsvollen		+31,21	+31,13
52	Krokstrand		+38,67	+38,74
53	Messingslett		+20,86	+20,97
54	Storforshei		+15,27	+15,34
55	Mo i Rana		-10,24	-10,31
56	Forneset		- 7,48	- 7,51
57	Korgen bru		-19,57	-19,63
58	Steinmoen		+ 8,62	+ 8,59
59	Sovarnes		+13,21	+13,25
60	Mosjöen		-38,12	-38,13
61	Ravassenden		- 0,86	- 0,81
62	Fellingfors		-30,18	-30,13
63	Svenningstjern		-19,87	-19,84
64	Majavann		+ 0,47	+ 0,42
65	Smålåsen		- 5,67	- 6,07
66	Veiskille		- 0,62	- 0,26
67	Langhaugen		+10,24	+10,42
68	Myrmo		- 5,46	- 5,43
69	Medjå bru			

Linie: Hammerfest-Catania: Norwegischer Teil

	Nr.	Instrument Institut Zeit Beob. Lit.	Worden 172 Norges geogr. oppm. 1956 Sömod (18) S. 14f.			Worden 142 Dän. Geod. Institut 1956 Saxov		
			$\Delta g$ [mgal]			$\Delta g$		
69	Medjå bru		-22,88			-22,79		
70	Formofoss		- 3,75			- 4,00		
71	Langness		+ 2,84			+ 3,09		
72	Åsveg		+ 8,54			+ 8,77		
73	Sunnan St.		-13,59			-13,75		
74	Mære St.		- 4,64			- 4,58		
75	Levanger		- 6,48			- 6,39		
76	Skogn St.		-24,40			-24,65		
77	Värnes		+12,62			+12,64		
78	Hommelvik		- 3,75			- 3,58		
79	Trondheim NTH		- 6,47			- 6,50		
80	Leinstrand		-15,56			-15,57		
81	Myralökka		- 6,76			- 6,42		
82	Stören		-51,38			-51,71		
83	Soknedal		-35,30			-35,37		
84	Öyang		-23,06			-23,11		
85	Lundheim		-57,70			-57,53		
86	Opdal		-66,37			-66,86		
87	Hestehagen		-38,91			-38,72		
88	Hjerkinn		-11,23			-11,38		
89	Steintjönn		+54,13			P. II +56,76		
90	Dombås		- 1,88			- 4,48		
91	Brennhaug		+16,39			+16,59		
92	Kringen		+ 2,57			+ 2,34		
93	Vinstra		+ 6,16			Moen + 6,04		
94	Våla bruk		-10,97			-10,89		
95	Rogndalsveen av 1933		- 0,91			- 0,83		
96	Lillehammer		+ 6,40			+ 6,42		
97	Haugen		+ 8,28					
98	Hamar		- 9,57					
99	Steinsrud		+ 6,67					
100	Morskogen		- 9,19			+ 7,27		
101	Berg		- 8,47					
102	Jessheim I		- 3,97					
103	Böler		+23,49					
104	Oslo							
	Bodø		-459,41			-459,44		
	Oslo, Tøyen, P.S.							

Linie: Hammerfest-Catania: Schwedischer Teil

6	Instrument Institut Zeit Beob. Lit.			Nörgaard 1469* Rikets allm. kartv. 1958 Johansson (25)			Worden 172* Rikets allm. kartv. 1958 Johansson (25)			Worden 544* Rikets allm. kartv. 1960 Pettersson (25)			Worden 362* Rikets allm. kartv. 1960 Pettersson (25)		
	Nr.	Ort		$\Delta g$ [mgal]			$\Delta g$ [mgal]			$\Delta g$ [mgal]			$\Delta g$ [mgal]		
	Oslo, Tøyen, PS			- 75,06			- 75,00			- 75,04			- 74,92		
	Svinesund			- 109,89			- 110,33			- 110,74			- 110,67		
	Uddevalla			- 32,33			- 32,27			- 32,33			- 32,20		
	Kristine kyrka			- 85,19			- 85,62			- 85,28			- 85,44		
	Apelvikåsen									- 32,70			- 32,72		
	St. Maria kyrka									- 16,42			- 16,49		
	Helsingør			- 67,50			- 67,64			- 18,10			- 18,16		
	Nybo														
	Buddinge (Gravimeterstat.)														
	Oslo, Tøyen, P.S.			-369,97			-370,86			-370,61			-370,60		
	Buddinge (Gravimeterstat.)														

\* Anm.: Wird in die Ausgleichung nicht einbezogen, wird aber zur Festlegung der Unterabschnitte benutzt.

Ergebnisse der Gravimettermessungen

29

Linie: Hammerfest-Catania: Dänischer Teil

7	Instrument Institut Zeit Beob. Lit.			Worden 50 Oss. Geof. Triest 1954 Pisani (2) S. 6		Worden 52 Oss. Geof. Triest 1954 Pisani (2) S. 6		NAG 140 DGFI Abt. II 1959 Brein (24)	
	Nr.	Ort		$\Delta g$ [mgal]		$\Delta g$		$\Delta g$	
	Helsingør							-16,378	
	Nybo							-18,100	
	Buddinge A.P.							+ 1,484	
	Roskilde							-19,734	
	Ringsted							+ 8,188	
	Vemmeler			+21,622				+ 6,830	
	Hjulby							+14,123	
	Ejby							+10,774	
	Middelfart							- 4,815	
	Christiansfeld							- 8,808	
	Hoptrup			-73,686				-36,032	
	Soegård							-24,460	
	Kruså							- 4,476	
1122 PS	Flensburg			- 4,841					
1122 A	Flensburg					- 4,839			
	Buddinge							-56,926	
1122 PS	Flensburg			-56,905					
						-56,924			

Linie: Hammerfest-Catania: Deutscher Teil

8 und 9	Instrument Institut Zeit Beob. Lit.	Worden 50 Oss. Geof. Triest 1956 Pisani (2) S. 7			Worden XP 1 Oss. Geof. Triest 1956 Pisani (2) S. 7			Ask. Gs. 12 Nr. 85 TH Aachen 1956 Riemann (15)			NAG 140 DGFI Abt. II 1955 Brein (15)			NAG 140 DGFI Abt. II 1956 Brein (15)			NAG 140 DGFI Abt. II 1959 Brein (24)		
		Nr.	Ort	$\Delta g$ [mgal]		$\Delta g$		$\Delta g$		$\Delta g$		$\Delta g$		$\Delta g$		$\Delta g$		$\Delta g$	
1122A	Flensburg							- 6,67		- 6,63		- 6,62		- 6,706					
1322A	Poppholz			-42,293			-42,297			- 12,75		- 12,81		- 12,83		- 12,786			
1523A	Jagel							- 22,79		- 22,76		- 22,72		- 22,788					
1624A	Rendsburg							- 15,22		- 15,30		- 15,34		- 15,317					
1724A	Brammer							- 14,24		- 14,27				- 14,287					
1925A	Neumünster-Nord							+ 6,54		+ 6,58				+ 6,573					
1927A	Rikling							- 18,29		- 18,30		- 18,36		- 18,310					
2028A	Geschendorf-Steinb.			-79,588			-79,565			- 0,25		- 0,25		- 0,24		- 0,247			
2129A	Stockelsd.-Fackenburg							- 17,72		- 16,67				- 17,784					
2228A	Rethwischdorf-Mühle							2228B		- 8,86		- 9,90		2228B		- 8,861			
2327A	Schmalenbeck							- 0,22				- 0,25		- 0,24		- 0,225			
2426A	Hamburg-Horn														- 167,664				
	Buddinge-Hamburg-Horn			(-121,881)*			(-121,862)*												
2426A	Hamburg-Horn							- 11,18		- 11,12		- 11,15		- 11,061					
2525A	Hamburg-Harburg							- 19,99		- 19,96		- 20,01		- 20,004					
2625A	Steinbeck			-60,803			-60,755			- 21,63		- 21,71		- 21,70		- 21,714			
2825A	Barrl							- 19,04		- 19,12		- 19,10		- 19,117					
3025A	Soltau							- 15,06		- 15,06		- 14,99		- 15,084					
3125A	Bergen			-27,787			-27,781			+ 3,04		+ 3,12		+ 3,09		+ 3,086			
3326A	Celle							- 15,73		- 15,76		- 15,82							
3525A	Schillerslage							- 2,75		- 2,72		- 2,74		- 18,584					

Ergebnisse der Gravimettermessungen

31

3524 A	Hannover-Langenh.								3524
	Hamburg-Horn	(-88,590)**		(-88,536)**		-102,34		-102,33	
	Hannover-Langenh.							-102,42	
									-102,478
3524 A	Hannover-Langenh.	v. Schillerslage		v. Schillerslage		-14,67		-14,72	
3625 A	Lehrte	-23,318		-23,342		-4,91 3627 B - 0,97		5,77 3627 B - 0,18	
3627 A	Peine							4,96 3627 B - 0,89	
3728 B	Braunschweig-NW					-14,75		-14,62	
3829 A	Wolfenbüttel	-37,517		-37,427		-22,66		-22,80	
3929 A	Schladen					-48,76		-48,84	
4129 A	Bad Harzburg	-48,802		-48,809				-48,82	
	Hannover-Langenh.								
	Bad Harzburg	(-109,637)***		(-109,578)***		-106,72		-106,93	
								-106,87	
									-106,820
4129 A	Bad Harzburg	-84,518		-84,528		-84,33		-84,30	
4129 B	Torfhaus	+43,531		+43,560		+ 43,48		+ 43,40	
4229 A	Braunlage					+ 32,74		+ 32,81	
4328 B	Odertal					+ 11,73		+ 11,77	
4328 A	Herzberg	+17,433		+17,385		+ 1,23		+ 1,17	
4426 A	Wollbrandhausen					- 6,97		- 6,92	
4425 B	Göttingen-Ost					4425 A - 4,76		4425 A - 4,78	
4624 A	Hedemünden	+11,763		+11,778		- 4,91		- 4,91	
4623 A	Kassel-Ost					- 53,15		- 53,25	
4822 A	Melsungen-Beuern					- 13,88		- 14,00	
5023 A	Aua	-49,154		-49,120		+ 18,01		+ 18,04	
5124 A	Bad Hersfeld					- 18,27		- 18,37	
5224 B	Neukirchen					- 16,83		- 16,85	
5324 A	Hünfeld	-42,431		-42,448		- 7,26		- 7,24	
5425 B	Fulda							- 7,29	

\* Anm.: von 1122 A Flensburg - 2425 A Hamburg-Harburg

\*\* Anm.: von 2525 A Hamburg-Harburg - 3525 A Schillerslage

\*\*\* Anm.: v. 3525 A n. 4129 A

## Linie: Hammerfest–Catania: Deutscher Teil

9a	Instrument Institut Zeit Beob.	Worden 53 Politecnico di Milano 1958 Inghilleri (30)	Worden 116 Politecnico di Milano 1958 Inghilleri (30)	Western 48 Politecnico di Milano 1958 Inghilleri (30)	Worden 50 Oss. Geof. Triest 1958/59 Pisani (1) S.32f.	Worden 52 Oss. Geof. Triest 1958/59 Pisani (1) S.32f.	Worden XP 1 Oss. Geof. Triest 1958/59 Pisani (1) S.32f.
Nr.	Ort	$\Delta g$ [mgal]	$\Delta g$				
3524 A	Hannover-Langenh.						
3625 A	Lehrte						
3627 A	Peine						
3728 B	Braunschweig-NW						
3829 A	Wolfenbüttel						
3929 A	Schladen						
4129 A	Bad Harzburg						
4129 B	Torfhaus	-40,998	-41,063	-40,998	-84,501	-84,584	-84,455
4229 A	Braunlage	+32,809	+32,834	+32,801	+43,483	+43,572	+43,487
4328 B	Odertal	+12,966	+12,965	+12,976	+32,830	+32,835	+32,782
4328 A	Herzberg	- 6,905	- 6,888	- 6,950	+12,957	+12,980	+13,015
4426 A	Wollbrandhausen	4425 A	4425 A	4425 A	-28,383	-28,423	-28,388
4425 B	Göttingen-Ost	- 9,706	- 9,683	- 9,692	+11,790	+11,805	+11,744
4624 A	Hedemünden	-53,186	-53,151	-53,253	-53,239	-53,201	-53,234
4623 A	Kassel-Ost	+ 4,029	+ 4,035	+ 4,080	+ 4,104	+ 4,071	+ 4,064
4822 A	Melsungen-Beuern	-18,329	-18,265	-18,349	-18,307	-18,307	-18,331
5023 A	Aua	-24,116	-24,091	-24,134	-24,112	-24,109	-24,129
5124 A	Bad Hersfeld						
5224 B	Neukirchen						
5324 A	Hünfeld						
5424 B	Fulda						

Ergebnisse der Gravimetermessungen

33

Linie: Hammerfest-Catania: Deutscher Teil

5 München Ak.-Abh. math.-nat. 1963 (Knießl)

Nr.	Ort	Worden 50 Oss. Geof. Triest 1956 Pisani (2) S. 7		Worden XP 1 Oss. Geof. Triest 1956 Pisani (2) S. 7		Ask. Gs 12 Nr. 85 TH Aachen 1956 Riemann (15)		NAG 140 DGFI Abt. II 1955 Brein (15)		NAG 140 DGFI Abt. II 1956 Brein (15)		NAG 140 DGFI Abt. II 1959 Brein (24)		Worden 500 Österr. BA. Wien 1961 Senftl (36)	
		Δg [mgal]		Δg		Δg		Δg		Δg		Δg		Δg	
5424 B	Fulda					- 35,06		- 35,00		- 34,95		- 35,061			
5524 B	Schmalnau-Bhf.	-30,288		-30,270		- 34,65		- 34,73		- 34,76		-34,739			
5526 A	Bischofsheim					+ 39,43		+ 39,48		+ 39,42		+39,471			
5627 A	Bad Neustadt					- 1,65		- 1,67		- 1,64		- 1,610			
5628 C	Saal a. d. Saale	-36,835		-36,822		- 28,48		- 28,57		- 28,60		-28,611			
5729 A	Sulzdorf a. d. Lederh.					- 6,56		- 6,53		- 6,52		- 6,488			
5830 B	Pfarrweisach	- 4,602		- 4,595		- 4,63		- 4,60		- 4,62		- 4,662			
5930 A	Reckendorf	- 4,178		- 4,216		- 4,13		- 4,18		- 4,18		- 4,143			
6131 E	Bamberg-Süd					- 19,65		- 19,66		- 19,702		-19,730			
6232 B	Neuses	-61,755		-61,704				- 24,58		- 24,58		-24,580		-42,110	
6432 A	Erlangen-Süd							- 17,47		- 17,50		-17,440			
6532 D	Nürnberg-Nord							- 26,52		- 26,49		-26,536		-26,644	
6633 C	Nürnberg-Süd	-60,571		-60,583				- 18,58		- 18,61		-18,574			
6733 A	Allersberg							- 15,38		- 15,35		-15,418		-34,016	
6934 A	Greding							- 20,16		- 20,14		-20,136		-20,198	
7034 A	Denkendorf	- 6,321		- 6,300				+ 13,81		+ 13,82		+13,830		-21,843	
7234 B	Ingolstadt	-35,702		-35,650				- 35,66		- 35,67		-35,659			
7335 A	Langenbruck							- 43,56		- 43,64		-43,576		-43,684	
7435 B	Schweitenkirchen	-67,058		-66,985				- 23,39		- 23,44		-23,480		-23,485	
7735 B	Eching							- 23,52		- 23,44		-23,502		-23,552	
7835 G	Mü.-Freimann	-25,812		-25,825				- 2,27		- 2,29		- 2,310		(-18,847)*	
7835 A	Mü.-Nymphenburg														
	Bad Harzburg	-436,498		-436,323				-436,16		-436,42		-436,446			
	Mü.-Nymphenburg														

Anm.: \* v. Mü.-Freimann nach Mü.-Ramersdorf.

Linie: Hammerfest-Catania: Deutscher Teil

10a Nr.	Instrument Institut Zeit Beob. Lit. Ort	Worden 53 Politecnico Milano 1958 Inghilleri (30)		Worden 116 Politecnico Milano 1958 Inghilleri (30)		Western 48 Politecnico Milano 1958 Inghilleri (30)		Worden 50 Oss. Geof. Triest 1958/59 Pisani (1) S.32f		Worden 52 Oss. Geof. Triest 1958/59 Pisani (1) S.32f		Worden XP 1 Oss. Geof. Triest 1958/59 Pisani (1) S.32f	
		$\Delta g$ [mgal]		$\Delta g$		$\Delta g$		$\Delta g$		$\Delta g$		$\Delta g$	
5424B	Fulda	-35,011		-35,039		-35,064		-35,062		-35,115		-35,104	
5524B	Schmalnau-Bhf.	+ 4,719		+ 4,656		+ 4,730		+ 4,744		+ 4,729		+ 4,768	
5526A	Bischofsheim	- 1,592		- 1,630		- 1,586		- 1,614		- 1,585		- 1,610	
5627A	Bad Neustadt	-28,660		-28,669		-28,606		-28,637		-28,643		-28,664	
5628C	Saal a. d. Saale	- 6,529		- 6,440		- 6,508		-15,311		-15,260		-15,298	
5729A	Sulzdorf a. d. Lederh.	- 8,802		- 8,760		- 8,787		-19,675		-19,660		-19,665	
5830B	Pfarrweisach	-19,682		-19,643		-19,654		-42,064		-42,099		-42,057	
5930A	Reckendorf	-42,086		-42,001		-42,022		-26,556		-26,528		-26,566	
6131E	Bamberg-Süd	-26,559		-26,596		-26,566		-34,018		-33,981		-33,967	
6232B	Neuses	-18,605		-18,617		-18,568		-21,797		-21,842		-21,833	
6432A	Erlangen-Süd	-21,685		-21,713		-21,704		-43,682		-43,623		-43,578	
6532D	Nürnberg-Nord	-35,668		-35,670		-35,684		-20,125		-20,160		-20,169	
6633C	Nürnberg-Süd	-43,578		-43,591		-43,589		-23,448		-23,499		-23,455	
6733A	Allersberg	-23,411		-23,449		-23,447		-25,819		-25,825		-25,837	
6934A	Greding	-25,843		-25,809		-25,819		-436,428		-436,278		-436,393	
7034A	Denkendorf	-25,843		-25,809		-25,819		-436,448		-436,442		-436,480	
7234B	Ingolstadt	-25,843		-25,809		-25,819		-436,448		-436,442		-436,480	
7335A	Langenbruck	-25,843		-25,809		-25,819		-436,448		-436,442		-436,480	
7435B	Schweitenkirchen	-25,843		-25,809		-25,819		-436,448		-436,442		-436,480	
7735B	Eching	-25,843		-25,809		-25,819		-436,448		-436,442		-436,480	
7835G	Mü.-Freimann	-25,843		-25,809		-25,819		-436,448		-436,442		-436,480	
7835A	Mü.-Nymphenburg	-25,843		-25,809		-25,819		-436,448		-436,442		-436,480	

\* Linie: Hammerfest-Catania: Deutscher Teil

II	Instrument Institut Zeit Beob. Lit.	Ask. Gs. 12 Nr. 130 TH Hannover 1959 Bettac (28)		Ask. Gs. 12 Nr. 85 DGFI Abt. I 1959 Böck (23)		NAG 140 DGFI Abt. II 1955 Brein (15)		NAG 140 DGFI Abt. II 1956 Brein (15)		NAG 140 DGFI Abt. II 1959 Brein (24)		Worden 500 Österr. BA, Wien 1961 Senftl (36)
		Nr.	Ort	$\Delta g$ [mgal]		$\Delta g$		$\Delta g$		$\Delta g$		$\Delta g$
7835 A	Mü.-Nymphenburg											
7835 K	Mü.-Ramersdorf			- 65,63		- 65,54		- 65,59		- 65,53		- 65,572
8136 B	Föching			- 29,27		- 29,14		- 29,19		- 29,27		- 29,025
8137 A	Irschenberg							+ 50,61		+ 50,69		+ 35,657
8138 A	Pfraundorf			+ 34,53		+ 34,55		- 16,01		- 16,04		8238 C - 1,082
8339 A	Niederaudorf											+ 34,768
23479 G	Kufstein			- 15,22		- 15,18						- 15,304

Linie: Hammerfest-Catania: Österreichischer Teil

23479 G	Kufstein			- 28,00		- 27,85					- 27,998		- 27,983
18048 G	Wörgl			- 23,71		- 23,71					- 23,716		- 23,737
18077 G	Straß			- 21,93		- 21,90					- 21,902		- 21,903
20294 G	Kolsaß			- 8,77		- 8,74					- 8,706		- 8,777
20344 G	Innsbruck										- 25,547		- 25,458
21583 G	Mutters			- 44,21		- 44,20					- 18,802		- 18,863
21589 G	Schönberg-Sillw.										- 37,414		- 37,452
21595 G	Schönberg-Alte Post			- 62,50		- 62,43					- 25,114		- 25,080
21605 G	Matrei										- 35,620		- 35,597
21617 G	Steinach										- 30,676		
21624 G	Gries			- 94,86		- 94,65					- 28,581		- 3,308
21629 G	Brenner										+ 56,110		
i	Colle Isarco			+ 56,04		+ 55,96							

## Linie: Hammerfest–Catania: Deutscher Teil

rra	Instrument Institut Zeit		Worden 53 Politecnico Milano 1958 Inghilleri (30)		Worden 116 Politecnico Milano 1958 Inghilleri (30)		Western 48 Politecnico Milano 1958 Inghilleri (30)		Worden 50 Oss. Geof. Triest 1958/59 Pisani (1) S.32f		Worden 52 Oss. Geof. Triest 1958/59 Pisani (1) S.32f		Worden XP 1 Oss. Geof. Triest 1958/59 Pisani (1) S.32f	
	Beob.	Lit.	$\Delta g$ [mgal]		$\Delta g$		$\Delta g$		$\Delta g$		$\Delta g$		$\Delta g$	
7835 A	Mü.-Nymphenburg		-16,571		-16,563		-16,546		-16,572		-16,522		-16,554	
7835 K	Mü.-Ramersdorf				-16,563		-16,546		-16,572		-16,522		-16,554	
8136 B	Föching						-44,166		-44,198		-44,188		-44,159	
8137 A	Irschenberg		-44,146		-44,118		-44,166		-44,198		-44,188		-44,159	
8138 A	Pfraundorf						-16,070		-16,035		-16,077		-16,030	
8339 A	Niederaudorf		-16,073		-16,042		-16,070		-16,035		-16,077		-16,030	
23479	Kufstein		-15,224		-15,265		-15,242		-15,277		-15,248		-15,275	

Linie: Hammerfest-Catania; Österreichischer Teil

Linie: Hammerfest-Catania: Italienischer Teil

12	Instrument Institut Zeit Beob. Lit.			Ask. Gs. 12 Nr. 130 TH Hannover 1959 Bettac (28)			Ask. Gs. 12 Nr. 130 DGFI Abt. I 1959 Böck (23)			NAG 140 DGFI Abt. II 1959 Brein (24)			Worden 500 Österr. BA., Wien 1961 Senftl (36)		
	Nr.	Ort		$\Delta g$ [mgal]			$\Delta g$			$\Delta g$			$\Delta g$		
1	Colle Isarco			+ 29,13			+ 28,98			+29,004			+29,079		
2	Campo di Trens			+ 28,76			+ 28,76			+29,013			+28,890		
3	Fortezza									+28,333			+28,567		
4	Varna			+ 58,32			+ 58,16			+29,777			+29,884		
5	Chiusa			+ 30,99			+ 30,98			+31,071			+31,037		
6	Laives			+ 26,99			+ 27,01			+27,060			+27,119		
7	Gardolo			+ 31,14			+ 31,06			+31,092			+31,115		
8	Rovereto						+ 32,98			+32,996			+33,116		
9	Peri			+ 4,52			- 28,40			-28,525			-28,530		
10	Câ Brusâ									-29,362			-29,354		
11	Azienda Prestinari			- 89,27				- 89,21		-30,777			-30,813		
12	Mantova									-29,189			-29,253		
13	Corte Morellina									-31,998			-31,907		
14	Luzzara			- 61,83				- 61,67		-29,892			-29,959		
15	S. Crose di Boretto			- 30,34				- 30,32		-30,392			-30,404		
16	Pedrignano									-30,124			-30,251		
17	Ricô			- 60,68				- 60,54		-30,626			-30,542		
18	Piantonia			- 0,95				- 0,92		- 0,917			- 1,034		
19	Valpiano									+33,134			+33,133		
20	Deposito ANAS									+28,796			+28,868		
21	Mignegno			+130,36				+130,07		+32,817			+32,897		
22	Migliarina														

Ergebnisse der Gravimetermessungen

## **Linie: Hammerfest–Catania: Italienischer Teil**

Linie: Hammerfest-Catania: Italienischer Teil

13	Instrument Zeit Institut Beob. Lit.	Ask. Gs. 12 Nr. 130 TH Hannover 1959 Bettac (28)			Ask. Gs. 12 Nr. 85 DGFI Abt. I 1959 Böck (23)			NAG 140 DGFI Abt. II 1959 Brein (24)			Worden 500 Österr. BA., Wien 1961 Senftl (36)		
		$\Delta g$ [mgal]			$\Delta g$			$\Delta g$			$\Delta g$		
Nr.	Ort												
22	Migliarina	v. Valpiano			v. Valpiano			+35,624			+35,713		
23	Piastra							-223,089			-206,365		
	Mü.-Nymphenburg	(-206,39)*			(-205,89)*								
	Piastra												
23	Piastra	+ 29,53			+ 29,62			+29,545			+29,643		
24	Querceta							-31,325					
	Pineta	- 29,83			- 29,84			+ 1,530			-29,877		
25	Castiglioncello	- 31,32			- 31,26			-31,296			-31,336		
26	Casaccia	- 22,32			- 22,30			-22,420			-22,393		
27	Podere Spineta	- 28,90			- 28,88			-28,938			-28,915		
28	Pedere S. Giuseppe	- 21,53			- 21,52			-21,540			-21,612		
29	Cascinale Valiarda	- 23,09			- 23,00			-23,162			-23,143		
30	Casale Vaccina	- 30,74			- 30,78			-30,707			-30,826		
31	Roma Sud												
	Piastra	-158,20			-157,96			-158,313			-158,459		
	Roma Sud												
31	Roma Sud	- 26,02			- 25,92			-26,050					
32	Bivio Cisterna	+ 10,76			+ 10,74			+10,662					
33	Terracina	- 33,71			- 33,60			P. 33' -33,612					
34	Minturno	- 26,28			- 26,22			-33,588					
35	Licola	- 7,21			- 7,25								
36	Angri	- 23,38			- 23,28			-23,346					
37	Pontecagnano	- 3,21			- 3,30			- 3,220					
38	Bivio Giungano												

Anm.: \* Mü.-Ramersdorf-Piastra



Linie: Hammerfest-Catania: Italienischer Teil

13b	Instrument Institut Zeit Beob. Lit.			W 50 Oss. Geof. Triest 1960 Pisani [31]			WP 74 Oss. Geof. Triest 1960 Pisani [31]			WE 485 Oss. Geof. Triest 1960 Pisani [31]		
	Nr.	Ort	$\Delta g$				$\Delta g$			$\Delta g$		
12	Mantova		-29,230				-29,174			-29,215		
13	C. Morellina		-31,871				-31,874			-31,894		
14	Luzzara		-29,920				-29,898			-29,930		
15	S. C. Boretto		-30,295				-30,334			-30,351		
16	Medrignana		-30,245				-30,219			-30,267		
17	Ricò		-30,502				-30,507			-30,505		
18	Piantonia		+32,078				+32,023			+32,034		
19	Valpiano		+28,836				+28,852			+28,850		
20	Dep. A.N.A.S.		+32,827				+32,851			+32,833		
21	Mignego		+35,675				+35,654			+35,639		
22	Magliarina		+29,565				+29,576			+29,537		
23	Piastra		-29,831				-29,794			-29,846		
24	Querceta		-31,310				-31,277			-31,319		
25	Castiglioncello		-22,381				-22,372			-22,399		
26	Pod. Casaccia		-28,856				-28,841			-28,836		
27	Pod. Spineta		-21,573				-21,590			-21,599		
28	Pod. S. Giuseppe		-23,110				-23,096			-23,086		
29	C. Valiarda		-30,787				-30,794			-30,814		
30	C. Vaccina (R.F.I.)											
31	Roma Sud											

Linie: Hammerfest-Catania: Italienischer Teil

Nr.	Zeit Instrument Institut Beob. Lit.	Ort	W 50 1960 Oss. Geof. Triest Pisani [31]		WP 74 1960 Oss. Geof. Triest Pisani [31]		WE 485 1960 Oss. Geof. Triest Pisani [31]	
			$\Delta g$	$\Delta g$	$\Delta g$	$\Delta g$	$\Delta g$	$\Delta g$
23	Piastra		-158,283		-158,188		-158,362	
31	Roma Sud							
31	Roma Sud		-25,998		-26,003		-25,989	
32	Bivio Cisterna		+10,579		+10,629		+10,631	
33	bis				-33,527		-33,521	
34	Minturno		-26,356		-26,347		-26,326	
35	Licola		-7,096		-7,112		-7,139	
36	bis							
37	Pontecagnano			-26,717	-26,703		-26,690	
38	Bivio Giungano							
39	Vallo Scalo		-14,566		-14,570		-14,572	
40	P. te F. Farcone		-52,222		-52,269		-52,203	
41	Sapri		+28,609		+28,657		+28,598	
42	Praia mare		+ 6,652		+ 6,641		+ 6,648	
43	Diamante		+ 8,466		+ 8,491		+ 8,443	
44	Cetraro		- 4,563		- 4,596		- 4,572	
45	S. Lucido		-26,333		-26,347		-26,368	
46	Falerno Marina		-30,640		-30,622		-30,617	
47	Pizzo Calabro		-23,100		-23,107		-23,142	
48	Contr. Baraccone		-25,456		-25,428		-25,428	
49	Contrada Cist.		-18,656		-18,649		-18,668	
50	Baghera						+ 4,068	
51	Villa S. Giovanni		+ 4,050		+ 4,095		+ 4,095	

\* Linie: Hammerfest-Catania: Italienischer Teil

Ergebnisse der Gravimetermessungen

43

Nr.	Ort	Ask. Gs. r2 Nr. 130 TH Hannover 1959 Bettac (28)		Ask. Gs. r2 Nr. 85 DGFI Abt. I 1959 Böck (23)		NAG 140 DGFI Abt. II 1959 Brein (24)	
		Zeit	Institut Beob. Lit.	$\Delta g$ [mgal]	$\Delta g$	$\Delta g$	$\Delta g$
38	Bivio Giungano			- 14,58		- 14,54	
39	Vallo Scafo			- 52,23		- 52,12	
40	Ponte Sul Torrente Farraone			+ 28,59		+ 28,45	
41	Sapri			+ 6,63		+ 6,65	
42	Praia a Mare			+ 8,51		+ 8,42	
43	Diamante			- 4,59		- 4,56	
44	Cetraro			- 26,27		- 26,28	
45	S. Lucido			- 30,64		- 30,58	
46	Falerno Marina			- 23,12		- 23,06	
47	Pizo Calabro			- 25,33		- 25,46	
48	Contrada Bavaccone			- 10,87		- 10,76	
49	Contrada Cisterne			{ - 3,74 }	{ - 3,80 }	{ - 3,80 }	{ - 18,638 }
50	Bagnara			{ - 1,94 }	{ - 2,03 }	{ - 2,03 }	{ + 4,106 }
51	Villa S. Giovanni			{ - 60,27 }	{ - 60,20 }	{ - 60,20 }	{ - 1,942 }
52	Messina						- 24,470
53	Galati Marina						- 35,860
54	Ali' Terme			- 37,38		- 37,32	- 37,448
55	Fiume freddo			+ 39,69	+ 39,60	+ 39,60	+ 39,638
56	Catania						
	Roma-Sud			- 316,64		- 316,42	
	Catania						- 316,718

## Linie: Hammerfest–Catania: Italienischer Teil

Linie: Hammerfest-Catania: Italienischer Teil

14b	Instrument Institut Zeit Beob. Lit.	W 50 Oss. Geof. Triest 1960 Pisani [31]			WP 74 Oss. Geof. Triest 1960 Pisani [31]			WE 485 Oss. Geof. Triest 1960 Pisani [31]		
		$\Delta g$			$\Delta g$			$\Delta g$		
Nr.	Ort									
51	Villa S. Giovanni		-1,981			-1,999			-1,992	
52	Messina		-24,500			-24,474			-24,474	
53	Galati Marina		-35,784			-35,804			-35,807	
54	Ali Terme		-37,449			-37,447			-37,462	
55	Fiume freddo		+39,726			+39,710			+39,692	
56	Catania (R.F.I.)									
31	Roma Sud		-316,862			-316,775			-316,863	
56	Catania (R.F.I.)		-32,789			-32,828			-32,805	
57	Contr. Cibali		-31,408			-31,449			-31,407	
58	S. Giov. Galermo		-34,542			-34,609			-34,559	
59	Mascalucia		-28,895			-28,898			-28,892	
60	Massa Annunz.		-30,526			-30,553			-30,561	
61	Nicolosi		-28,664			-28,723			-28,693	
62	km 11 - km 12		-39,962			-40,015			-40,005	
63	km 15 - km 16		-35,631			-35,643			-35,601	
64	km 18,090		-33,754			-33,799			-33,759	
65	km 20,200		-24,322			-24,359			-24,348	
66	Villa S. Paolo		-45,432			-45,421			-45,470	
67	km 24,500		-48,280			-48,305			-48,261	
68	Oss. Meteorolog.									

Ergebnisse der Gravimettermessungen

Linie: Hammerfest-Catania: Italienischer Teil

15	Instrument Institut Zeit Beob. Lit.			Ask. Gs. 12 Nr. 130 TH Hannover 1959 Bettac (28)		Ask. Gs. 12 Nr. 85 DGFI Abt. I 1959 Böck (23)		NAG 140 DGFI Abt. II 1959 Brein (24)		*
	Nr.	Ort		$\Delta g$ [mgal]		$\Delta g$		$\Delta g$		
56	Catania									-32,746
57	Contrada Cibali									-31,333
58	S. Giovanni di Galermo									-34,628
59	Mascalucia			-186,87			-186,58			-59,469
60	Massa Annunziata									-28,760
61	Nicolosi									-39,977
62	Fra il km 11 e il km 12 e della Via Etnae									-69,392
63	Fra il km 15 e il km 16 e della Via Etnae									-24,364
64	Al km 18,090 della Via Etnae									-45,382
65	Al km 20,200 della Via Etnae			-227,50			-227,01			-48,378
66	Villa S. Paolo									
67	Al km 24,500 della Via Etnae									
68	Oss. Meteorologico									

\* Anm.: Ab P. 56 entfiel die Rückmessung.

Ergebnisse der Gravimetermessungen

Linie: Hammerfest-Catania: Italienischer Teil

15a	Instrument Institut Zeit Beob.	Lit.	Worden 53 Politecnico Milano 1958 Inghilleri (30)		Worden 116 Politecnico Milano 1958 Inghilleri (30)		Western 48 Politecnico Milano 1958 Inghilleri (30)		Worden 50 Oss. Geof. Triest 1958/59 Pisani (1) S. 32 f		Worden 52 Oss. Geof. Triest 1958/59 Pisani (1) S. 32f		Worden XP 1 Oss. Geof. Triest 1958/59 Pisani (1) S. 32f		Worden 203 Oss. Geof. Triest 1958/59 Pisani (1) S. 32f	
			$\Delta g$ [mgal]		$\Delta g$		$\Delta g$		$\Delta g$		$\Delta g$		$\Delta g$		$\Delta g$	
Nr.	Ort															
56	Catania		-32,824		-32,855		-32,779		-32,767		-32,808		-32,789		-32,798	
57	Contrada Cibali		-31,414		-31,437		-31,436		-31,406		-31,437		-31,407		-31,426	
58	S. Giovannidi Galermo		-34,574		-34,568		-34,529		-34,604		-34,594		-34,577		-34,570	
59	Mascalucia		-28,877		-28,880		-28,876		-28,830		-28,843		-28,835		-28,860	
60	Massa Annunziata		-30,556		-30,561		-30,535		-30,588		-30,561		-30,597		-30,559	
61	Nicolosi		-28,667		-28,661		-28,611		-28,660		-28,629		-28,650		-28,666	
62	Fra il km 11 e il km 12 e della Via Etnae		-39,934		-39,919		-39,955		-39,953		-39,954		-39,957		-39,967	
63	Fra il km 15 e il km 16 e della Via Etnae		-35,647		-35,616		-35,612		-35,581		-35,642		-35,656		-35,666	
64	Al km 18,090 della Via Etnae		-33,785		-33,813		-33,790		-33,765		-33,772		-33,757		-33,786	
65	Al km 20,200 della Via Etnae		-24,320		-24,386		-24,336		-24,323		-24,335		-24,320		-24,323	
66	Villa S. Paolo		-45,387		-45,400		-45,413		-45,389		-45,379		-45,385		-45,359	
67	Al km 24,500 della Via Etnae		-48,195		-48,279		-48,215									
68	Oss. Meteorologico															

Linie: Marseille-Genf 63

16	Instrument Institut Zeit Beob. Lit.	Worden 50 Oss. Geof. Triest 1953 Pisani (3) Tab. 5			Worden 52 Oss. Geof. Triest 1953 Pisani (3) Tab. 5		
		$\Delta g$ [mgal]			$\Delta g$		
Nr.	Ort						
	Marseille-Marignane biv.	+63,238			+63,196		
	Pont St. Esprit	+19,242			+19,232		
	Romans	+13,351			+13,363		
	Aoste	-23,697			-23,719		
	L'Elviset	+25,024			+25,044		
	Grenze: Frankreich-Schweiz	+10,774			+10,769		
	Genf, Obs. A.P.	+ 1,099			+ 1,108		
	Genf, Obs. pend.						
	Marseille-Marignane biv.	+109,031			+108,993		
	Genf, Obs. pend.						

Anm.: mit kl. Meßschraube

Linie: Genf-Zürich 62

17	Instrument Institut Zeit Beob. Lit.	Worden 50 Oss. Geof. Triest 1953 Pisani (3) Tab. 5			Worden 52 Oss. Geof. Triest 1953 Pisani (3) Tab. 5		
		$\Delta g$ [mgal]			$\Delta g$		
Nr.	Ort						
	Genf, Obs. A.P.	+21,576			+21,582		
	Versoix	+25,618			+25,626		
	Payerne A.P.	+ 2,941			+ 2,980		
	Hindelbank	+89,401			+89,383		
	Gebensdorf						
	Genf, Obs. A.P.	+139,536			+139,571		
	Gebensdorf						
	Genf, Obs. A.P.	+ 1,099			+ 1,108		
	Genf, Obs. Pendel						
	Worden 50 Inst. Geof. Triest 1953 Pisani (3) Tab. 3			Worden 52 Inst. Geof. Triest 1953 Pisani (3) Tab. 3			
	Gebensdorf	-52,562			-52,549		
	Zürich, Polit. Pil.	+20,013			+20,053		
	Zürich, aer. Kloten						
	Gebensdorf	-32,549			-32,496		
	Zürich-Kloten, aer.						

Anm.: mit kl. Meßschraube

Ergebnisse der Gravimetermessungen

49

Linie: Piastra-Marseille 65

18	Instrument Institut Zeit Beob. Lit.	Worden 50 Oss. Geof. Triest 1959 Pisani (3) Tab. 13			Worden XP 1 Oss. Geof. Triest 1959 Pisani (3) Tab. 13		
		$\Delta g$ [mgal]			$\Delta g$		
Nr.	Ort						
	Piastra 23 LTE	+48,984			+48,975		
	La Spezia RFI	+ 9,734			+ 9,731		
	Sestri Levante	- 1,084			- 1,221		
	Genova	+ 1,932			+ 1,977		
	Savona RFI						
	Piastra 23 LTE	+59,566			+59,462		
	Savona RFI						
		Worden 50 Oss. Geof. Triest 1953 Pisani (3) Tab. 5			Worden 52 Oss. Geof. Triest 1953 Pisani (3) Tab. 5		
	Savona RFI	-50,714			-50,716		
	Conf.: Ital.-Française	-13,827			-13,844		
	Monte Carlo	- 8,250			- 8,223		
	Fréjus	-35,734			-35,760		
	Marseille-Marignane biv.	+16,450			+16,435		
	Marseille aer Marignane						
	Savona RFI	-92,075			-92,108		
	Marseille aer. Marignane						

Anm.: mit kl. Meßschraube

Linie: Marseille-Toulouse 64

19	Instrument Institut Zeit Beob. Lit.	Worden 50 Oss. Geof. Triest 1953 Pisani (3) Tab. 5			Worden 52 Oss. Geof. Triest 1953 Pisani (3) Tab. 5		
		$\Delta g$ [mgal]			$\Delta g$		
Nr.	Ort						
	Marseille-Marignane biv.	+34,070			+34,105		
	Montpellier	-40,445			-40,452		
	Narbonne	-37,527			-37,486		
	Conilhac	-22,682			-22,685		
	Carcassone	+37,900			+37,905		
	Toulouse, Obs. A. P.	- 0,594			- 0,617		
	Toulouse, Obs. Pfeiler						
	Marseille-Marignane biv.	-29,278			-29,230		
	Toulouse, Obs. Pfeiler						

Anm.: mit kl. Meßschraube

## Linie: Toulouse–Bagnères de Bigorre 45

20	Instrument Institut Zeit	Beob. Lit.	Worden 50 Oss. Geof. Triest 1953 Pisani (3) Tab. 5			Worden 52 Oss. Geof. Triest 1953 Pisani (3) Tab. 5		
	Nr.	Ort	$\Delta g$ [mgal]			$\Delta g$		
	Toulouse, Obs. A.P.		-1,892			-1,907		
	Muret		-61,520			-61,500		
	km 47		-36,034			-36,027		
	St. Gaudens Kirche		-56,503			-56,525		
	Bagnères de Bigorre (nouvelle cave)							
	Toulouse, Obs. A.P.		-155,949			-155,959		
	Bagnères de Bigorre (nouvelle cave)							
			Worden 50 Oss. Geof. Triest 1959 Sancin (3) Tab. 17			Worden XP 1 Oss. Geof. Triest 1959 Sancin (3) Tab. 17		
	Toulouse, Obs. Pfeiler		-39,698			-39,683		
	Capauns hangar		-59,152			-59,220		
	St. Gaudens Kirche		-56,536			-56,533		
	Bagnères de Bigorre (nouvelle cave)							
	Toulouse, Obs. Pfeiler		-155,386			-155,436		
	Bagnères de Bigorre (nouvelle cave)							

Anm.: mit kl. Meßschraube

## Linie: München–Frankfurt 42

21	Instrument Institut Zeit	Beob. Lit.	Worden 50 Oss. Geof. Triest 1956 Pisani (3) Tab. 9			Worden XP 1 Oss. Geof. Triest 1956 Pisani (3) Tab. 9		
	Nr.	Ort	$\Delta g$ [mgal]			$\Delta g$		
AP	Mü.-Nymphenburg		+44,664			+44,565		
	Zusmarshausen		+57,875			+57,817		
	Echterdingen		+18,658			+18,621		
	Heimsheim		+91,399			+91,308		
	Karlsruhe AP		+13,946			+13,912		
	Karlsruhe AP		+72,819			+72,774		
	Seckenheim		+14,441			+14,431		
	Darmstadt							
AP	Frankfurt aer A.P. Niederrad							
	München-Nymphenburg		+313,802			+313,428		
	Frankfurt aer Niederrad A.P.							

Anm.: mit kl. Meßschraube

Linie: Paris-Toulouse 37

22	Instrument Institut Zeit Beob.	Lit.	Worden 50 Oss. Geof. Triest 1959 Sancin (3) Tab. 17			Worden XP 1 Oss. Geof. Triest 1959 Sancin (3) Tab. 17		
			$\Delta g$ [mgal]			$\Delta g$		
Nr.	Ort							
	Paris, Sèvres Pf. A.		-54,364			-54,401		
	Chartres Cathédr.		-53,035			-53,030		
	Chateau renault		-51,474			-51,467		
	Chatellerault		-48,969			-48,932		
	Poitiers		-70,426			-70,428		
	Angoulême		-43,175			-43,194		
	Montignac le Coq		-36,003			-36,021		
	Bergerac église		-49,177			-49,120		
	Agen		-27,828			-27,868		
	Mantauban		-63,790			-63,784		
	Toulouse, Obs. Pfeiler							
	Paris, Sèvres Pf. A.							
	Toulouse, Obs. Pfeiler		-498,241			-498,245		

Anm.: mit kl. Meßschraube

Linie: München-Mailand 40

23	Instrument Institut Zeit      Beob.      Lit.			Worden 50 Oss. Geof. Triest Pisani (3) Tab. 15			Worden 52 Oss. Geof. Triest Pisani (2) Tab. 5			Worden X P1 Oss. Geof. Triest Pisani (3) Tab. 15		
	Nr.	Ort	$\Delta g$ [mgal]				$\Delta g$			$\Delta g$		
1956	München-Riem Treviso aer. int.		-75,389							-75,323		
1952	Padua RFI Padua, Oss. Astr. Vicenza Verona Brescia Mailand RFI		-0,10 (Mittelwert) +23,070 -16,785 -43,473 -57,131			+23,070 -16,779 -43,463 -57,103						
	Padua RFI Mailand RFI		-94,419			-94,375						
1956	Padua RFI Verona Brescia Mailand RFI		+ 6,244 -43,502 -57,038							+ 6,164*		
	Padua RFI Mailand RFI		-94,296							-94,395		
1956	Treviso aer. est Padua RFI		+ 4,881							+ 4,901		
1959	Treviso aer. int. Treviso aer. est.		+ 0,611			+ 0,640				+ 0,606*		
1959	Treviso aer. est Padua RFI		+ 4,895			+ 4,822						

Anm.: mit kl. Meßschraube

\* Lit.: (2) Tab. 6; 1959

Linie: Frankfurt–Brüssel 60

24	Instrument Institut Zeit Beob. Lit.			Worden 50 Oss. Geof. Triest Pisani (3) Tab. 9			Worden XP 1 Oss. Geof. Triest Pisani (3) Tab. 9		
	Nr.	Ort	$\Delta g$ [mgal]				$\Delta g$		
1956	Frankfurt aer A.P. Niederrad		+49,667				+49,624		
	Dillheim		+12,633				+12,688		
	Weidenau A.P.								
	Frankfurt aer. Niederr. Weidenau A.P.		+62,300				+62,312		
1958	Weidenau A.P. Bad Wildungen Pend.		+14,608*				+14,659*		
	Bad Wildungen Pend. Weidenau Pend. Euskirchen Pend. Uccle, Obs. pil. aer. Melsbroek cant.		Worden 50 Oss. Geof. Triest 1951 Morelli (3) Tab. 1			Worden 52 Oss. Geof. Triest 1951 Morelli (3) Tab. 1			
			-14,384				-14,369		
			-16,852				-16,768		
			+28,817				+28,898		
			+29,610						
	Bad Wildungen pend. aer. Melsbroek cant.		+27,191						

Anm.: mit kl. Meßschraube

\* Lit.: (3) Tab. 12

## Großraumgravimetrierung

25	Instrument Institut Zeit Beob. Lit.			Worden 50 Oss. Geof. Triest 1954 Morelli-Pisani (3) Tab. 6			Worden 52 Oss. Geof. Triest 1954 Morelli-Pisani (3) Tab. 6		
	Nr.	Ort	$\Delta g$ [mgal]				$\Delta g$		
	Hannover-Langenh. F.P.		- 5,881				- 5,889		
	Berlin-Tempelhof F.P.								
	Kopenhagen-Kastrup aer.		+20,651				+20,542		
	Glasgow: Prestwick aer.			Worden 50a Oss. Geof. Triest 1953 Pisani-Vasselli (3) Tab. 4			Worden 52b Oss. Geof. Triest 1953 Pisani-Vasselli (3) Tab. 4		
	München-Riem aer. int.		-41,907				-41,983		
	Zürich-Kloten aer.								
	München-Riem aer. int.		+15,412				+15,404		
	München-Nymphenburg pend.								

Anm.: mit kl. Meßschraube

26	Instrument Institut Zeit Beob. Lit.	Worden 50 Oss. Geof. Triest 1951 Morelli-Pisani (3) Tab. 18-19			Worden 52 Oss. Geof. Triest 1951 Morelli-Pisani (3) Tab. 18-19		
		Ort	$\Delta g$ [mgal]			$\Delta g$	
1951	Melsbroek, cant.	+ 35,00			+ 35,02		
	Teddington, N.P.L.						
	Melsbroek, cant.	-217,68			-217,81		
	Paris, pt. C.						
	Melsbroek, cant.	+126,52			+126,61		
	Amsterdam aer. Schiphol						
	Melsbroek, cant.	+396,03			+395,98		
	Kopenhagen, pil. 1						
	Mailand, Pol. int.	-202,78			-202,84		
	Rom, Fac. Ing. int.						
	Rom, Fac. Ing. int.	-315,18			-315,14		
	Catania, Oss. int.						
	Rom, Fac. Ing. int.	-83,51			-83,41		
	Sassari aer. Alghero	-169,71			-169,83		
	Cagliari, Univ.	+455,98			+455,92		
	Mailand, Pol. int.						
	Rom, Fac. Ing. int.	+202,76			+202,68		
	Mailand, Pol. int.						

Anm.: Messungen unt. Benutzung d. gr. Meßschraube

27	Instrument Institut Zeit Beob. Lit.	Worden 52 Oss. Geof. Triest 1953 Morelli-Pisani (3) Tab. 20			Worden 50 Oss. Geof. Triest 1953 Morelli-Pisani (3) Tab. 20		
		Ort	$\Delta g$ [mgal]			$\Delta g$	
1953	Paris aer. Le Bourget	-263,05			-263,40		
	Zürich aer. Kloten						
	Zürich aer. Kloten	-128,65			-128,40		
	Mailand aer. Malpensa						
	Mailand aer. Malpensa	+357,32			+357,09		
	Paris aer. Orly I						
	Paris aer. Le Bourget	-461,67			-461,52		
	Marseille aer. Marignane						
	Marseille aer. Marignane	+427,17					
	Paris aer. Orly I						

Anm.: Messungen unt. Benutzung d. gr. Meßschraube

## Großraumgravimetrierungen

28 Zeit	Instrument Institut Beob.	Lit.	Western 42 Expd. Pol. Franç. (Martin) 1949/50 (12) S 10f
	Nr.	Ort	$\Delta g$ [mgal]
1949	Paris, Le Bourget DD		+210,20
	Melsbroek, Zoll		+ 1,11
	Melsbroek, Keller		
	Paris		+211,31
	Melsbroek, Keller		
1950	Melsbroek, Keller		+126,36
	Amsterdam-Schiphol		
	Amsterdam-Schiphol		+269,02
	Kopenhagen-Kastrup		
	Kopenhagen-Kastrup		+287,75
	Stockholm-Bromma		+ 0,71
1949	Stockholm RAK 2		
	Kopenhagen-Kastrup		+288,46
	Stockholm RAK 2		
1949	Paris, Obs. Pt. C		-377,90
	Mailand		

## Großraumgravimetrierungen

29	Instrument Institut Zeit Beob. Lit.	Western 47 Expéd. Pol. Françaises 1952 Stahl (19) S. 208					
		$\Delta g$ [mgal]			$\Delta g$		
Nr.	Ort						
	Paris, Le Bourget Stockholm-Bromma Saal 5	+894,48					
		Western 42 EQ Expéd. Pol. Françaises 1952/53 Stahl (19) S. 178			Western 42 EQ Expéd. Pol. Françaises 1954 Stahl (19) S. 178		
	Paris, Obs. Pt. C Rom, Ciampino Est. rest.	-594,20			-593,96		
		Expéd. Pol. Franç. (Martin) (4) S. 13f.					
	Marignane aer. Paris C	+454,88					
	Marignane aer. Toulouse Obs. pil.	- 45,76					
	Paris C	+500,64*					
		Expéd. Pol. Françaises (13) S. 94					
	Toulouse Obs. pil. Bagnères de B. (nouv. cave)	-155,33**					

Anm.: \* Mittelwert aus 8 Messungen.

Anm.: \*\* Mittelwert aus 28 Messungen.

30	Instrument Institut Zeit Beob. Lit.	Western 42 Expéd. Pol. Françaises 1948 Martin (14) 27f		
Nr.	Ort	$A_g$		
Hin	Paris Obs. Pt. A			
	Leith Shed C	+669,67		
	Edinburg R. Obs.	-28,88		
Rück	Paris Pt. A	+640,79		
	Edinburg			
	Edinburg R. Obs.	-639,85		
Hin	Paris Obs. Pt. C			
	Bourget D.D.			
	Heathrow	+251,42		
	Heathrow			
Rück	Bourget D.D.	-251,46		
	Bourget D.D.			
	Ringway	+409,49		
	Prestwick	+217,73		
Hin	Bourget	+627,22		
	Prestwick			
	Prestwick	-217,77		
	Ringway	-409,90		
Rück	Bourget D.D.			
	Prestwick	-627,67		
	Bourget			
31	Instrument Institut Zeit Beob. Lit.	Western 42 Expéd. Pol. Françaises 1950 Munck/Josef (14) S. 35		
Nr.	Ort	$A_g$		
Rück	Prestwick			
	Glasgow St. Enoch	+ 20,42		
	Paris Obs. pt. C	-654,24		
Hin	Prestwick			
	Paris	-633,82		
Rück	Orly			
	Heathrow	+285,87		
	Heathrow			
	Orly	-285,73		

Großraumgravimetrierungen der Technischen Hochschule  
Hannover 1958-1960  
(mit graphischer Gangermittlung)

Nr.	von-nach		allg. Mittel 1958-1960 $\Delta g$ [mgal]	Gewicht P	Nr.	von-nach		allg. Mittel 1958-1960 $\Delta g$ [mgal]	Gewicht P
1	Bodö	-Vaernes	-235,18	5	23	Düsseldorf	-Paris	-283,46	2,5
2	Vaernes	-Oslo	-221,78	2,5	24	Frankfurt	-Paris	-141,40	5
3	Oslo	-Kopenhagen	-373,34	12,5	25	München	-Paris	+186,92	5
4	Oslo	-Stockholm	-85,17	0,5	26	Paris	-Rom	-568,62	5
5	Stockholm	-Kopenhagen	-288,18	0,5	27	Frankfurt	-Brüssel	+ 98,93	1
6	Oslo	-Glasgow (Prestwick)	-352,56	2,5	28	Frankfurt	-Düsseldorf	+142,06	1,2
7	Prestwick	-Kopenhagen	- 20,78	5	29	Düsseldorf	-Bremen	+135,89	1,2
8	London	-Prestwick	+377,64	5	30	Düsseldorf	-Hannover	+ 88,09	1,2
9	Oslo	-London	-730,20	5	31	Frankfurt	-Berlin	+224,30	4,5
10	Kopenhagen-London		-356,85	1	32	Frankfurt	-München	-328,32	10,5
11	Kopenhagen-Hamburg		-163,11	15,5	33	Frankfurt	-Rom	-710,02	1
12	Kopenhagen-Frankfurt		-500,28	0,5	34	Frankfurt	-Stuttgart	-209,50	0,5
13	Kopenhagen-Rom		-1210,30	1	35	Stuttgart	-Zürich	-160,68	1
14	Bremen	-Hannover	- 47,80	3,8	36	München	-Berlin	+552,58	1
15	Hamburg	-Bremen	- 59,22	2,5	37	München	-Rom	-381,71	5
16	Hamburg	-Düsseldorf	-195,11	1,2	38	München	-Milano	-170,12	5
17	Hamburg	-Frankfurt	-337,17	11,2	39	Rom	-Milano	+211,56	2,5
18	Hamburg	-Berlin	-112,86	2	40	Rom	-Catania	-297,76	2,5
19	Hamburg	-Amsterdam	-106,22	1	41	Frankfurt	-Hannover	+230,16	8,7
20	Amsterdam	-London	- 87,52	1	42	Hamburg	-Prestwick	+183,89	2,5
21	Frankfurt	-London	+143,42	5	43	Hannover	-Bad Harzburg	-107,08	-
22	London	-Paris	-284,82	5					

Die angegebenen Werte beziehen sich auf die jeweiligen Flughafenpunkte.

### ANLAGE III

#### ZUSAMMENSTELLUNG DER GRAVIMETERMESSUNGEN ZWISCHEN DEN KNOTENPUNKTEN

Anm.: G = Großraumgravimetrierungen

L = Liniengravimetrierungen

P = Gewicht für die Messungen der TH Hannover (eingef. v. Prof. Großmann)

GS = Messungen mit Worden-Grav. unt. Benutzung d. gr. Meßschraube

Zusammenstellung der Gravimetermessungen

61

Station	Instrument	Zeit	Institut/Beobachter	Punkt $P_i$	Nr.	$\Delta g$ [mgal]	$\Delta g$ Mittel [mgal]	Bem.	Lit.
<b>A. 1. Hammerfest (Pendelst.)</b>	Worden 172	1956	Norges geogr. oppm. Beob.: Sömod	Hammerfest Pendelst.) Bodö (Pendelst.) Eichkorrektion $-244,76 \cdot 10 \cdot 10^{-4}$ $g_B - g_A$		-244,76	-244,76	L	(18)
<b>B. 2. Bodö (Pendelst.)</b>	Worden 142	1956	Dän. Geod. Institut Beob.: Saxov	Hammerfest (Pendelst.) Bodö (Pendelst.) Eichkorrektion $-244,72 \cdot 10 \cdot 10^{-4}$ $g_B - g_A$		-244,72	-244,72	L	Anlage II
<b>A. 2. Bodö (Pendelst.)</b>	Worden 172	1956	Norges geogr. oppm. Beob.: Sömod	Bodö (Pendelst.) Oslo, Toyen (Pendelst.) Eichkorrektion $-459,41 \cdot 10 \cdot 10^{-4}$ $g_B - g_A$		-459,41	-459,41	L	(18) S. 21
<b>B. 3. Oslo (Pendelst.)</b>	Worden 142	1956	Dän. Geod. Institut Beob.: Saxov	Bodö (Pendelst.) Oslo, Toyen (Pendelst.) Eichkorrektion $-459,44 \cdot 10 \cdot 10^{-4}$ $g_B - g_A$		-459,44	-459,44	L	s. Anl. II
	Ask. Gs 12 Nr. 130	1958-60	TH Hannover Beob.: Bettac	Bodö (Pendelst.) Bodö (Flugplatz) (44 b) Trondheim, Vaernes, 77 Oslo, Fornebu II, 104 b Oslo, Toyen (Pendelst.) $g_B - g_A$		+ 0,29  -235,18 -221,78 - 3,49  -460,16	G, p = 5 G, p = 2,5	s. Anl. IV (18) S. 21	(29) (29) (18) S. 21
<b>A. 3. Oslo, Toyen (Pendelst.)</b>	Ask. Gs 12 Nr. 130	1958-60	TH Hannover Beob.: Bettac	Oslo, Toyen (Pendelst.) Oslo, Fornebu II, 104 b Kopenhagen, Kastrup I Buddinge (Gravimeterst.) Buddinge (Pendelst., Boden) $g_B - g_A$		+ 3,49  -373,34 - 0,22 + 0,62  -369,45	G, p = 12,5	(18) S. 21 (26) s. Anl. IV	(29)

Station	Instrument	Zeit	Institut/Beobachter	Punkt $P_i$	Nr.	$\Delta g$ [mgal]	$\Delta g$ Mittel [mgal]	Bem.	Lit.
<b>A. 5. Kopenhagen, Buddinge (Pendelst.)</b>	Ask. Gs. 12 Nr. 130	1958-60	TH Hannover Beob.: Bettac	Buddinge (Pendelst., Boden) Buddinge (Gravimeterst.)		- 0,62 + 0,22		s. Anl. IV (26)	
<b>B. 15. Hamburg-Horn 2426 A</b>				Kopenhagen, Kastrup I Hamburg Flugh. (Pkt. Bettac) Hamburg, Flugh. 2326/8 FP Hamburg-Horn 2426 A $\delta_B - \delta_A$		-163,11 - 0,60 - 3,93 -168,04	G,p=15,5	(29) (29) Anl. 8 Brief, IfAG	
	1. Worden 50 2. Worden 52 3. Worden 50 4. Worden XP 1	1954 1954 1956 1956	Oss. Geof. Triest Beob.: Pisani	Buddinge (Pendelst., Boden) Buddinge (Gravimeterst.) Flensburg 1122 PS Flensburg 1122 A Hamburg-Harburg 2525 A Hamburg-Horn 2426 A $\delta_B - \delta_A$	1. 2.	-56,905 -56,924	- 0,62 - 56,91 + 0,12	L L	(2) S. 6 (2) S. 6 (16) S. 35 (2) S. 7 (2) S. 7 (26)
<b>A. 5. Kopenhagen, Buddinge (Pendelst.)</b>	1. NAG 140	1959	DGFI Abt. II Beob.: Brein	Buddinge (Pendelst., Boden) Buddinge (Gravimeterst.) Hamburg-Horn 2426 A $\delta_B - \delta_A$		- 0,62 -167,664	- 0,62 -167,66		s. Anl. IV (24)
<b>B. 15. Hamburg-Horn 2426 A</b>				Hamburg-Horn 2426 A Hannover-Langenhagen 3524 A Hannover-Langenhagen 3524 A Hannover-Langenhagen 3524 A Hannover-Langenhagen 3524 A Hannover-Langenhagen 3524 A		-168,28 -102,33 -102,33 -102,42 -102,42 -102,48	-168,28 -102,33 -102,33 -102,42 -102,42 -102,48	L L L L L	(15) (15) (15) (24)
<b>A. 15. Hamburg-Horn 2426 A</b>	1. NAG 140	1955	DGFI, Abt. II						
<b>B. 18. Hannover-Langenhagen 3524 A</b>	2. NAG 140 3. NAG 140	1956 1959	Beob.: Brein						

Zusammenstellung der Gravimettermessungen

63

			1. Worden 50 2. Worden XP I	Oss. Geof. Triest Beob.: Pisani	Hamburg-Horn 2426 A Hamburg-Harburg 2525 A Schillerslage 3525 A Hannover-Langenhangen 3524 A $g_B - g_A$ Hamburg-Horn 2426 A Hannover-Langenhangen 3524 A Eichkorrektion $-102,34 \cdot 15 \cdot 10^{-4}$ $g_B - g_A$ Hannover-Langenhangen 3524 A Bad Harzburg 4129 A Bad Harzburg 4129 PS $g_B - g_A$ Hannover-Langenhangen 3524 A Bad Harzburg 4129 A Bad Harzburg 4129 PS $g_B - g_A$ Hannover-Langenhangen 3524 A Bad Harzburg 4129 A Bad Harzburg 4129 PS $g_B - g_A$ Eichkorrektion = $-106,72 \cdot 15 \cdot 10^{-4}$ $g_B - g_A$	I. 2.	- 88,590 - 88,536	- 11,16 - 88,56 - 2,76  <u>-102,48</u>  <u>-102,34</u>  <u>-102,34</u> - 0,15 <u>-102,49</u>  <u>-106,93</u>  <u>-106,87</u>  <u>-106,87</u>  <u>-106,82</u> - 0,05 <u>-106,92</u>  <u>-106,80</u>  <u>-106,87</u>  <u>-106,72</u>  <u>-106,77</u> - 0,16 <u>-106,93</u>	L L	(26)  (2) S. 7 (2) S. 7  (26)  (15)
A. 15. Hamburg-Horn 2426 A B. 18. Hannover-Langenhangen 3524 A	Ask. Gs. 12 Nr. 85	1956	TH Aachen Beob.: Riemann							
A. 18. Hannover-Langenhangen 3524 B. 7. Bad Harzburg 4129 PS	1. NAG 140 2. NAG 140 3. NAG 140	1955 1956 1959	DGFI, Abt. II Beob.: Brein							
	Ask. Gs. 12 Nr. 85	1956	TH Aachen Beob.: Riemann							

Station	Instrument	Zeit	Institut/Beobachter	Punkt $P_i$	Nr.	$\Delta g$ [mgal]	$\Delta g$ Mittel [mgal]	Bem.	Lit.
<b>A. 18. Hannover-Langenhangen 3524 A</b>	1. Worden 50 2. Worden XP 1	1956 1956	Oss. Geof. Triest Beob.: Pisani	Hannover-Langenhangen 3524 A Schillerslage 3525 A	1. 2.	-109,637 -109,578	+ 2,76 -109,61 - 0,05 <u>-106,90</u>	L L	(26) (2) S. 7 (2) S. 7
<b>B. 7. Bad Harzburg 4129 PS</b>				Bad Harzburg 4129 A					(16) S. 35
	Ask. Gs. 12 Nr. 130	1958	TH Hannover Beob.: Bettac	Bad Harzburg 4129 PS $\delta_B - \delta_A$ Hannover-Langenhangen 3524 A Hannover Flugh. 3524/1 FP		-107,08	-107,08 <u>-106,91</u>	L	(4) S. 25 (29) Anl. 7
<b>A. 7. Bad Harzburg 4129 PS</b>	1. Worden 50 2. Worden XP 1	1956	Oss. Geof. Triest	Bad Harzburg 4129 PS $\delta_B - \delta_A$ Bad Harzburg 4129 PS			+ 0,05		(16) S. 35
<b>B. 9. München-Nymphenburg 7835/16 PS</b>			Beob.: Pisani	Bad Harzburg 4129 A	1. 2.	-436,498 -436,323	-436,41 + 0,49 <u>-435,87</u>	L	(2) S. 7 (2) S. 7
	1. Worden 50 2. Worden 52 3. Worden XP 1	1958/59	Oss. Geof. Triest Beob.: Pisani	München-Nymphenburg 7835/1 A München-Nymphenburg 7835/16 PS $\delta_B - \delta_A$ Bad Harzburg 4129 PS Bad Harzburg 4129 A	1. 2. 3.	-436,448 -436,442 -436,480	-436,46 + 0,49 <u>-435,92</u>	L L L	(1) S. 32 ff. (1) S. 32 ff. (1) S. 32 ff.
	1. NAG 140 2. NAG 140 3. NAG 140	1955 1956 1959	DGFI, Abt. II Beob.: Brein	München-Nymphenburg 7835/1 A München-Nymphenburg 7835/16 PS $\delta_B - \delta_A$ Bad Harzburg 4129 PS Bad Harzburg 4129 A	1.	-436,16	-436,16 + 0,49 <u>-435,62</u>	L	(15) (4) S. 27

## Zusammenstellung der Gravimetermessungen

५

9 München Ak.-Abh. math.-nat. 1963 (Kleinß)									
A. 9. München-Nymphenburg 7835/16 PS	1. Worden 53 2. Worden 116 3. Worden 48	1958	Politecnico Milano (Inghilleri)	Bad Harzburg 4129 PS Bad Harzburg 4129 A München-Nymphenburg 7835/1 A München-Nymphenburg 7835/16 PS $\mathcal{E}_B - \mathcal{E}_A$ Bad Harzburg 4129 PS Bad Harzburg 4129 A München-Nymphenburg 7835/1 A München-Nymphenburg 7835/16 PS $\mathcal{E}_B - \mathcal{E}_A$ Bad Harzburg 4129 PS Bad Harzburg 4129 A München-Nymphenburg 7835/1 A München-Nymphenburg 7835/16 PS $\mathcal{E}_B - \mathcal{E}_A$ Bad Harzburg 4129 PS Bad Harzburg 4129 A	2. 3.	-436,42 -436,45 -436,45	+ 0,05 + 0,49 -435,88 + 0,05 + 0,49 -435,91 + 0,05 -436,428 -436,278 -436,393	L L L	(15) (16) S. 35 (24) (4) S. 27 (16) S. 35 (30) (30) (30) (4) S. 27
B. 27. Piastra LTE	1. Worden 50 2. Worden 52 3. Worden XP 1	1958/59 1958/59 1958/59	Oss. Geof. Triest Beob.: Pisani	München-Nymphenburg 7835/1 A München-Nymphenburg 7835/16 PS $\mathcal{E}_B - \mathcal{E}_A$ München-Nymphenburg 7835/16 PS München-Nymphenburg 7835/1 A 23. Piastra LTE $\mathcal{E}_B - \mathcal{E}_A$ München-Nymphenburg 7835/16 PS München-Nymphenburg 7835/1 A	1. 2. 3.	-222,924 -222,841 -222,866	- 0,49 -223,37 -222,88	L L L	(4) S. 27 (1) S. 32 f. (1) S. 32 f. (1) S. 32 f.
	1. Worden 53 2. Worden 116 3. Western 48	1958 1958 1958	Politecnico Milano (Inghilleri)	23. Piastra LTE $\mathcal{E}_B - \mathcal{E}_A$ München-Nymphenburg 7835/16 PS München-Nymphenburg 7835/1 A	1. 2. 3.	-222,819 -222,869 -222,884	- 0,49 -223,37 -222,86	L L L	(4) S. 27 (30) (30) (30)
Ask. Gs. 12 Nr. 130	TH Hannover	1959	Beob.: Bettac	23. Piastra LTE $\mathcal{E}_B - \mathcal{E}_A$ München-Nymphenburg 7835/16 PS München-Nymphenburg 7835/1 A München-Ramersdorf 7835/K		-206,39	- 0,49 - 16,56 -223,35 -223,44	L	(4) S. 27 (26) (28)

Station	Instrument	Zeit	Institut/Beobachter	Punkt $P_i$	Nr.	$\Delta g$ [mgal]	$\Delta g$ Mittel [mgal]	Bem.	Lit.
A. 9. München-Nymphenburg 7835/16 PS	Ask. Gs. 12 Nr. 85	1959	DGFI, Abt. I Beob.: Böck	München-Nymphenburg 7835/16 PS München-Nymphenburg 7835/1 A München-Ramersdorf 7835/K  23. Piastra LTE		- 0,49 - 16,56 - 205,89	(4) S. 27 (26) (23)		
B. 27. Piastra LTE				Eichkorrektion $-205,89 \cdot 15 \cdot 10^{-4}$ $g_B - g_A$ München-Nymphenburg 7835/16 PS München-Nymphenburg 7835/1 A 23. Piastra LTE $g_B - g_A$ München-Nymphenburg 7835/16 PS		-222,94 - 0,31 - 223,25  - 0,49 - 223,09 - 223,58  - 0,49	L	(4) S. 27 (24)	
	NAG 140	1959	DGFI, Abt. II Beob.: Brein	München-Nymphenburg 7835/1 A München-Nymphenburg 7835/1 A 23. Piastra LTE $g_B - g_A$ München-Nymphenburg 7835/16 PS		-223,089	L	(4) S. 27 (26)	
	Worden 500	1961	Österr. BA, Wien Beob.: Senftl	München-Nymphenburg 7835/1 A München-Ramersdorf 7835/K  23. Piastra LTE $g_B - g_A$ 23. Piastra LTE		-206,365 - 16,56 - 206,36 - 223,41	L	(4) S. 27	
A. 27. Piastra LTE	1. Worden 50 2. Worden 52 3. Worden 203 4. Worden XP 1	1958/59 1958/59 1958/59 1958/59	Oss. Geof. Triest Beob.: Pisani	23. Piastra LTE 31. Roma-Sud LTE	1. 2. 3. 4.	-158,246 -158,273 -158,375 -158,317	L L L L	(1) S. 32f. (1) S. 32f. (1) S. 32f. (1) S. 32f.	
B. 12. Rom ING				Rom ING 23. Piastra LTE		-158,30 + 1,31 - 156,99			(4) S. 29
	1. Worden 53 2. Worden 116 3. Western 48	1958 1958 1958	Politecnico Milano (Inghilleri)	31. Roma-Sud LTE	1. 2. 3.	-158,275 -158,284 -158,178	L L L	(30) (30) (30)	
	Ask. Gs 12 Nr. 130	1959	TH Hannover Beob.: Bettac	Rom ING 23. Piastra LTE 31. Roma-Sud LTE Rom ING $g_B - g_A$		-158,20 - 158,20 + 1,31 - 156,89	L	(28) (4) S. 29	

Zusammenstellung der Gravimettermessungen

67

<b>A. 27. Piastra LTE</b>	Ask. Gs. 12 Nr. 85	1959	DGFI Abt. I Beob.: Böck	<b>23. Piastra LTE</b>	-157,96	-157,96	L	(23)
<b>B. 12. Rom ING</b>				31. Roma-Sud LTE Rom ING	+ 1,31			(4) S. 29
				Eichkorrektion $-157,96 \cdot 15 \cdot 10^{-4}$ $\delta_B - \delta_A$	-156,65			
				23. Piastra LTE	-158,313	-158,31	L	(24)
	NAG 140	1959	DGFI Abt. II Beob.: Brein	31. Roma-Sud LTE Rom ING $\delta_B - \delta_A$	+ 0,24			(4) S. 29
				23. Piastra LTE	-158,459	-158,46	L	(4) S. 29
				31. Roma-Sud LTE Rom ING $\delta_B - \delta_A$	+ 1,31			
	Worden 500	1961	Österr. BA, Wien Beob.: Senftl	Piastra, LTE	-157,15			
<b>A. 27. Piastra LTE</b>	1. W 50 2. WP 74 3. WE 485	1960 1960 1960	Oss. Geof. Triest Beob.: Pisani	1.	-158,283	L	(31)	
<b>B. 12. Rom ING</b>				2.	-158,188	L	(31)	
				3.	-158,362	L	(31)	
				Roma-Sud LTE Rom ING $\delta_B - \delta_A$	-158,28			(4) S. 29
<b>A. 12. Rom ING</b>	Ask. Gs. 12 Nr. 130	1.1958-60 2.1959	TH Hannover Beob.: Bettac	1. Rom ING Rom Fac. Ing. int. Rom-Flugh. Ciampino-West Catania, Flugh. Sigonella Catania, Obs. (Pendelst.) $\delta_B - \delta_A$	+ 1,31			(4) S. 29
<b>B. 13. Catania, Obs. Pendelst.</b>				2. Rom ING 31. Roma-Sud LTE 56. Catania LTE Catania Obs. (Pendelst.) $\delta_B - \delta_A$	-156,97			(4) S. 29
						G, p = 2,5	(29)	
							(29)	
					-317,39			
					2. Rom ING 31. Roma-Sud LTE 56. Catania LTE Catania Obs. (Pendelst.) $\delta_B - \delta_A$	-1,31		(4) S. 29
					-316,64	-316,64	L 1959	(28)
					+ 0,73			(4) S. 24
					-317,22			

Station	Instrument	Zeit	Institut/Beobachter	Punkt $P_i$	Nr.	$\Delta g$ [mgal]	$\Delta g$ Mittel [mgal]	Bem.	Lit.
<b>A. 12. Rom ING</b>	1. Worden 53 2. Worden 116 3. Western 48	1958 1958 1958	Politecnico Milano (Inghilleri)	Rom ING 31. Roma-Sud LTE 56. Catania LTE Catania, Obs. (Pendelst.) $\delta_B - \delta_A$	1. 2. 3.	-316,802 -316,887 -316,859	-1,31		(4) S. 29 (30) (30) (30)
<b>B. 13. Catania Obs. Pendelst.</b>				Rom ING 31. Roma-Sud LTE 56. Catania LTE Catania, Obs. (Pendelst.) $\delta_B - \delta_A$		+ 0,73 <u>-317,43</u>		(4) S. 24	
	1. Worden 50 2. Worden 50 3. Worden 203 4. Worden XP 1	1958/59 1958/59 1958/59 1958/59	Oss. Geof. Triest Beob.: Pisani	Rom ING 31. Roma-Sud LTE 56. Catania LTE Catania, Obs. (Pendelst.) $\delta_B - \delta_A$	1. 2. 3. 4.	-316,595 -316,470 -316,586 -316,540	-1,31	L L L L	(4) S. 29 (1) S. 32 (1) S. 32 (1) S. 32 (1) S. 32
	Ask. Gs. 12 Nr. 85	1959	DGFI Abt. I Beob.: Böck	Rom ING 31. Roma-Sud LTE 56. Catania LTE Catania Obs. (Pendelst.) Eichkorrektion $-316,42 \cdot 15 \cdot 10^{-4}$ $\delta_B - \delta_A$		+ 0,73 <u>-317,13</u>			(4) S. 24
	NAG 140	1959	DGFI Abt. II Beob.: Brein	Rom ING 31. Roma-Sud LTE 56. Catania LTE Catania Obs. (Pendelst.) Eichkorrektion $-316,42 \cdot 15 \cdot 10^{-4}$ $\delta_B - \delta_A$		-316,42 -316,42 + 0,73 <u>-317,00</u> - 0,47 <u>-317,47</u>	-1,31	L	(4) S. 29 (23) (4) S. 24
	1. Worden 50 2. Worden 52	1951 1951	Oss. Geof. Triest Beob.: Pisani	Rom ING Rom Fac. Ing. int. Catania, Oss. int. $\delta_B - \delta_A$	1. 2.	-315,18 -315,14	-2,01 <u>-315,16</u> <u>-317,17</u>	GS GS	(4) S. 29 (3) Tab. 19 (3) Tab. 19

Zusammenstellung der Gravimetermessungen

69

<b>A. 12.</b> Rom ING <b>B. 13.</b> Catania, Obs. (Pendelst.)		1. W 50 2. WP 74 3. WE 485	1960 1960 1960	Oss. Geof. Triest Beob.: Pisani	Rom ING Roma-Sud LTE														(4) S. 29	
<b>A. 3.</b> Oslo, Toyen (Pendelst.) <b>B. 14.</b> Stockholm, Bromma, Punkt 2	Ask. Gs. 12 Nr. 130	1958-60	TH Hannover Beob.: Bettac	Catania LTE Catania Obs. (Pendelst.) $g_B - g_A$ Oslo, Toyen (Pendelst.) Oslo, Fornebu, II, (104 b) Stockholm, Bromma, Punkt 2 $g_B - g_A$ Oslo, Toyen (Pendelst.) Oslo, Fornebu, II, 104 b London, Airport, 478 Teddington NPL $g_B - g_A$ Oslo, Toyen (Pendelst.) Oslo, Fornebu, II, (104 b) Glasgow, Prestwick, S. 814 Edinburg, Royal Obs. (Pendelst.) $g_B - g_A$ Stockholm, Bromma, Punkt 2 Kopenhagen, Kastrup I Buddinge (Gravimeterst.) Buddinge (Pendelst., Boden) $g_B - g_A$ Stockholm, Bromma, Punkt 2 Stockholm, Bromma (Martin) Kopenhagen, Kastrup I Buddinge (Gravimeterst.) Buddinge (Pendelst., Boden) $g_B - g_A$ Eichkorrektion $-287,75 \cdot 10 \cdot 10^{-4}$ $g_B - g_A$	1. 2. 3.	-316,862 -316,775 -316,863	-316,83 + 0,73 <u>-317,41</u> + 3,49 - 85,17 <u>- 81,68</u> + 3,49 - 730,20 <u>- 730,89</u> + 3,49 - 352,56 <u>+ 5,56</u> <u>-343,51</u> -288,18 - 0,22 + 0,62 <u>-287,78</u> - 0,28 - 287,75 - 0,22 + 0,62 <u>-287,63</u> - 0,29 <u>-287,92</u>	- 1,31 L L L	(31) (31) (31)										(4) S. 24	
<b>A. 3.</b> Oslo, Toyen (Pendelst.) <b>B. 6.</b> Teddington NPL	Ask. Gs. 12 Nr. 130	1958-60	TH Hannover Beob.: Bettac	G, p = 0,5	(18) S. 21 (29)															
<b>A. 3.</b> Oslo, Toyen (Pendelst.) <b>B. 4.</b> Edinburg (Pendelst.)	Ask. Gs. 12 Nr. 130	1958-60	TH Hannover Beob.: Bettac	G, p = 5	(18) S. 21 (29)															
<b>A. 14.</b> Stockholm, Bromma Punkt 2 <b>B. 5.</b> Kopenhagen, Buddinge (Pendelst.)	Ask. Gs. 12 Nr. 130	1958-60	TH Hannover Beob.: Bettac	G, p = 2,5	(18) S. 21 (29)															
	Western 42	1949/50	Exp. Pol. Françaises (Martin)	+ 5,56 <u>-343,51</u> -288,18 - 0,22 + 0,62 <u>-287,78</u> - 0,28 - 287,75 - 0,22 + 0,62 <u>-287,63</u> - 0,29 <u>-287,92</u>	(29) (26) s. Anl. IV  (26) s. Anl. IV															

Station	Instrument	Zeit	Institut/Beobachter	Punkt $P_i$	Nr.	$\Delta g$ [mgal]	$\Delta g$ Mittel [mgal]	Bem.	Lit.
<b>A. 12. Rom ING</b>				Rom, ING					
<b>B. 5. Kopenhagen, Buddinge (Pendelst.)</b>	Ask. Gs. 12 Nr. 130	1958-60	TH Hannover Beob.: Bettac	Rom, Fac. Ing. int. Rom, Flugh. Ciampino-West Kopenhagen, Kastrup I Buddinge (Gravimeterst.) Buddinge (Pendelst., Boden) $g_B - g_A$		- 2,01 - 14,88 + 1210,30 - 0,22 + 0,62 + 1193,81	G,p=1	(4) S. 29 (4) S. 29 (29) (26)	s. Anl. IV
<b>A. 22. Frankfurt/M.-Flugh. 5917/59E, FP II</b>	Ask. Gs. 12 Nr. 130	1958-60	TH Hannover	Frankfurt, Flugh. 5917/59E, FP II		+ 500,28	G,p=0,5	(29)	
<b>B. 5. Kopenhagen, Buddinge (Pendelst.)</b>			Beob.: Bettac	Kopenhagen, Kastrup I Buddinge (Gravimeterst.) Buddinge (Pendelst., Boden) $g_B - g_A$		- 0,22 + 0,62 + 500,68		(26)	s. Anl. IV
<b>A. 21. Brüssel-Melsbroek (Flugh.)</b>	1. Worden 50	1951	Oss. Geof. Triest	Brüssel, Melsbroek (Transithalle)	1.	+ 5,36		(4) S. 30	
<b>B. 5. Kopenhagen, Buddinge (Pendelst.)</b>	2. Worden 52	1951	Beob.: Morelli-Pisani	Brüssel, Melsbroek (Keller) Kopenhagen, Buddinge Pf. 1 Kopenhagen, Buddinge (Pendelst., Boden) $g_B - g_A$	2.	+ 396,03 + 395,98 + 396,00 + 0,16 + 401,52	GS GS	(31) Tab. 18 (31) Tab. 18	s. Anl. IV
<b>A. 17. Amsterdam, Schiphol</b>	Western 42	1950	Exp. Pol. Françaises (Martin)	Amsterdam-Schiphol (Bettac)		- 0,05			Brief Prof. Bruins
<b>B. 5. Kopenhagen, Buddinge (Pendelst.)</b>				Amsterdam-Schiphol (Martin) Kopenhagen-Kastrup I Buddinge (Gravimeterst.) Buddinge (Pendelst., Boden) Eichkorrektion $+ 269,02 \cdot 10 \cdot 10^{-4}$ $g_B - g_A$		+ 269,02 + 269,02 - 0,22 + 0,62 + 269,37 + 0,27 + 269,64	G	(12) S. 14 (26)	s. Anl. IV

Zusammenstellung der Gravimettermessungen

71

<b>A. 6. Teddington NPL</b>	Ask. Gs. 12 Nr. 130	1958-60	TH Hannover	Teddington NPL		+ 4,18	Brief Dr. Bullerwell
<b>B. 5. Kopenhagen, Buddinge (Pendelst.)</b>			Beob.: Bettac	London, Airport 478 Kopenhagen, Kastrup I Buddinge (Gravimeterst.) Buddinge (Pendelst. Boden) $g_B - g_A$		+ 356,85 - 0,22 + 0,62 <u>+ 361,43</u>	G, p=1 (29) (26) s. Anl. IV
<b>A. 4. Edinburg (Pendelst.)</b>	Ask. Gs. 12 Nr. 130	1958-60	TH Hannover	Edinburg, Royal Obs. (Pendelst.) Glasgow, Prestwick S. 814		- 5,56	(29) Anl. 6
<b>B. 5. Kopenhagen, Buddinge</b>			Beob.: Bettac	Kopenhagen, Kastrup I Buddinge (Gravimeterst.) Buddinge (Pendelst., Boden) $g_B - g_A$		- 20,78 - 0,22 + 0,62 <u>- 25,94</u>	G, p=5 (29) (26) s. Anl. IV
	1. Worden 50b 2. Worden 52b	1954 1954	Osserv. Geof. Triest Beob.: Morelli-Pisani	Edinburg, Royal Obs. (Pendelst.) Glasgow, Prestwick S. 814	1. 2.	-20,651 -20,542	(29) Anl. 6 <u>(31) Tab. 6</u> <u>(31) Tab. 6</u> (26) s. Anl. IV
<b>A. 4. Edinburg (Pendelst.)</b>	Ask. Gs. 12 Nr. 130	1958-60	TH Hannover	Edinburg, Royal Obs. (Pendelst.) Glasgow, Prestwick S. 814		- 5,56	(29) Anl. 6
<b>B. 15. Hamburg-Horn 2426A</b>			Beob.: Bettac	Hamburg, Flugh. (Punkt Bettac) Hamburg-Flugh. 2326/8 FP Hamburg-Horn 2426 A $g_B - g_A$		-183,89 - 0,60 - 3,93 <u>-193,98</u>	G, p=2,5 (29) (29) Brief IfAG
<b>A. 4. Edinburg (Pendelst.)</b>	Ask. Gs. 12 Nr. 130	1958-60	TH Hannover	Edinburg, Royal Obs. (Pendelst.) Glasgow, Prestwick, S. 814		- 5,56	(29) Anl. 6
<b>B. 6. Teddington NPL</b>			Beob.: Bettac	London, Airport 478 Teddington NPL $g_B - g_A$		-377,64 - 4,18 <u>-387,38</u>	G, p=5 (29) Brief Dr. Bullerwell

Station	Instrument	Zeit	Institut/Beobachter	Punkt $P_i$	Nr.	$Ag$ [mgal]	$Ag$ Mittel [mgal]	Bem.	Lit.
<b>A. 8. Paris, Sèvres, BIPM</b>	Western 42	1948	Exp. Pol. Françaises Beob.: Martin/Taylor	Paris, Sèvres, BIPM (Pendelst.) Paris Obs. Point C Paris Point A Edinburg, Royal Obs. (Pendelst.) Eichkorrektion $+640,79 \cdot 10 \cdot 10^{-4}$ $g_B - g_A$ Paris, Sèvres BIPM (Pendelst.) Paris, Obs. Point C Edinburg, Royal Obs. (Pendelst.) Eichkorrektion $+639,85 \cdot 10 \cdot 10^{-4}$ $g_B - g_A$ I. $g_B - g_A$ (Mittel aus <sup>1</sup> und <sup>2</sup> )		+ 3,04 - 0,36 +640,79 +643,47 <sup>1</sup> + 0,64 +644,11	G	Brief Dr. Coron s. Anl. IV (14) S. 27	
<b>B. 4. Edinburg, Royal Obs.</b>				II. Paris, Sèvres, BIPM (Pendelst.) Paris, Le Bourget D.D. Glasgow, Prestwick Edinburg, Royal Obs. (Pendelst.) Eichkorrektion $+627,44 \cdot 10 \cdot 10^{-4}$ $g_B - g_A$	+639,85 +627,22 <sup>1</sup> +627,67 <sup>2</sup>	+ 3,04 +639,85 +642,89 <sup>2</sup> + 0,64 +643,53 +643,82	G	Brief Dr. Coron (14) S. 28	
	Western 42	1949	Exp. Pol. Françaises Beob.: Martin	III. Paris, Sèvres, BIPM Paris, Obs. Point C Glasgow, Prestwick Edinburg, Royal Obs. (Pendelst.) Eichkorrektion $+633,82 \cdot 10 \cdot 10^{-4}$ $g_B - g_A$	+633,82	+ 9,34 +627,44 + 5,56 +642,34 + 0,63 +642,97	G	s. Anl. IV (14) S. 29/30 (29) Anl. 6	
<b>A. 8. Paris, Sèvres, BIPM</b>	Western 42	1950	Exp. Pol. Françaises Beob.: F. Munck u. A. Joset			+ 3,04 +633,82 + 5,56 +642,42 + 0,63 +643,05	G	Brief Dr. Coron (14) S. 35 (29) Anl. 6	
<b>B. 4. Edinburg, Royal Obs.</b>									

<sup>1</sup> Hinweg<sup>2</sup> Rückweg

## Zusammenstellung der Gravimetermessungen

Station	Instrument	Zeit	Institut/Beobachter	Punkt $P_i$	Nr.	$\Delta g$ [mgal]	$\Delta g$ Mittel [mgal]	Bem.	Lit.
<b>A. 6. Teddington NPL</b>	Ask. Gs. 12	1958-60	TH Hannover	Teddington NPL		+ 4,18			
<b>B. 8. Paris, Sèvres BIPM</b>	Nr. 130		Beob.: Bettac	London, Airport 478		-284,82		G, p-5	Brief Dr. Bullerwell (29) s. Anlage IV
				Paris, Orly, Gare Nord		+ 24,96			
				Paris, Sèvres BIPM		$\delta_B - \delta_A$			
						-255,68			
<b>A. 8. Paris, Sèvres BIPM</b>	Western 47	1952	Exp. Pol. Françaises (Stahl)	Paris, Sèvres BIPM		+ 3,04			Brief Dr. Coron (4) S. 28
<b>B. 14. Stockholm-Bromma Punkt 2</b>				Paris, Obs. Point C		+ 6,30		G	(19) S. 208 (20) S. 5
				Paris, Le Bourget (Douane Départ)	+894,48	+894,48			
				Stockholm Bromma Saal 5		+ 0,28			
				Stockholm Bromma Punkt 2 (Bettac)		+904,10			
				Eichkorrektion		+ 0,89			
				$+894,48 \cdot 10 \cdot 10^{-4}$		+904,99			
				$\delta_B - \delta_A$					
<b>A. 8. Paris, Sèvres BIPM</b>	Western 42	1949/50	Exp. Pol. Françaises (Martin)	Paris, Sèvres BIPM		+ 3,04			Brief Dr. Coron (4) S. 28
<b>B. 21. Brüssel-Melsbroek (Transithalle)</b>				Paris, Obs. Point C		+ 6,30		G	(12) S. 12 (12) S. 12
				Paris, Le Bourget (Douane Départ)	+210,20	+210,20			
				Brüssel-Melsbroek (Douane)	+ 1,11	+ 1,11			
				Melsbroek (Cave)		- 5,36			
				Melsbroek (Transithalle)		+215,29			
				Eichkorrektion		+ 0,21			
				$+211,31 \cdot 10 \cdot 10^{-4}$		+215,50			
				$\delta_B - \delta_A$					
<b>A. 21. Brüssel, Melsbroek (Flugh.)</b>	1. Worden 50	1951	Oss. Geof. Triest	Brüssel, Melsbroek (Transithalle)		+ 5,36			(4) S. 30
<b>B. 8. Paris, Sèvres BIPM</b>	2. Worden 52	1951	Beob.: Morelli/Pisani	Brüssel, Melsbroek (Keller)	1.	-217,68		GS	(3) Tab. 18 (3) Tab. 18
				Paris, Obs. Point C	2.	-217,81	-217,74	GS	Brief Dr. Coron
				Paris, Sèvres BIPM		- 3,04			
				$\delta_B - \delta_A$		-215,42			

## Zusammenstellung der Gravimettermessungen

<b>A. 20.</b> Düsseldorf, Flugh. 4706/9 B, FP <b>B. 8.</b> Paris, Sèvres BIPM	Ask. Gs. 12 Nr. 130	1958-60	TH Hannover Beob.: Bettac	Düsseldorf, Flugh. 4706/9 B, FP Paris, Orly, Gare Nord Paris, Sèvres BIPM $g_B - g_A$		-283,46 + 24,96 <hr/> -258,50	G, p = 2,5	(29) s. Anl. IV
<b>A. 22.</b> Frankfurt/M.-Flugh. 5917/59 E FP II <b>B. 8.</b> Paris, Sèvres BIPM	Ask. Gs 12 Nr. 130	1958-60	TH Hannover Beob.: Bettac	Frankfurt, Flugh. 5917/59 E FP II Paris, Orly Gare Nord		-141,40 + 24,96 <hr/> -116,44	G, p = 5	(29) s. Anl. IV
<b>A. 8.</b> Paris, Sèvres BIPM <b>B. 9.</b> München-Nymphenburg	Ask. Gs. 12 Nr. 130	1958-60	TH Hannover Beob.: Bettac	Paris, Sèvres BIPM $g_B - g_A$ Paris, Sèvres BIPM Paris, Orly Gare-Nord München, Flugh. 7836/6 FP		- 24,96 -186,92 + 15,41 <hr/> -196,47	G, p = 5	s. Anl. 4 (29) (4) S. 27
<b>A. 8.</b> Paris, Sèvres BIPM <b>B. 23.</b> Zürich, Flugh. Kloten	1. Worden 52 2. Worden 50	1953 1953	Oss. Geof. Triest Beob.: Morelli/Pisani	Paris, Sèvres BIPM Paris, Obs. Point C Paris, Le Bourget Zürich, Flugh. Kloten $g_B - g_A$	1. 2.	-263,05 -263,40 <hr/> -253,88	GS GS	Brief Dr. Coron (4) S. 28 (3) Tab. 20 (3) Tab. 20
<b>A. 8.</b> Paris, Sèvres BIPM <b>B. 10.</b> Mailand (Pendelst.)	Western 42	1949/50	Exp. Pol. Françaises (Martin)	Paris, Sèvres BIPM Paris, Obs. Point C Mailand (Station Martin) Mailand (Pendelst.) Eichkorrektion $-377,90 \cdot 10^{-4}$ $g_B - g_A$		+ 3,04 + 6,30 <hr/> -377,90 - 0,00 -374,86 - 0,38 <hr/> -375,24	G	Brief Dr. Coron (12) S. 15 Brief Prof. Morelli
	1. Worden 52 2. Worden 50	1953 1953	Oss. Geof. Triest Beob.: Morelli	Paris, Sèvres BIPM Paris, Orly, Salle 1 Mailand, Flugh. Malpensa Mailand, Polit. RFI Mailand, Polit. (Pendelst.) $g_B - g_A$	1. 2.	- 24,96 <hr/> -357,32 -357,09 <hr/> + 6,52 + 0,41 <hr/> -375,23	GS GS	s. Anl. IV (3) Tab. 20 (3) Tab. 20 (4) S. 27 (4) S. 27

Station	Instrument	Zeit	Institut/Beobachter	Punkt $P_i$	Nr.	$\Delta g$ [mgal]	$\Delta g$ Mittel [mgal]	Bem.	Lit.
A. 8. Paris, Sèvres BIPM	Ask. Gs. 12	1958-60	TH Hannover	Paris, Sèvres BIPM		- 24,96			
B. 12. Rom ING	Nr. 130		Beob.: Bettac	Paris, Orly, Gare Nord		-568,62		G, p = 5	s. Anl. IV (41)
				Rom, Flugh. Ciampino West		+ 14,88			(4) S. 29
				Rom, Fac. Ing. int.		+ 2,01			(4) S. 29
				Rom ING		<u>-576,69</u>			
				$g_B - g_A$					
	1. Western 42 EQ	1952/53	Exp. Pol. Françaises (P. Stahl)	Paris, Sèvres BIPM		+ 3,04			
				Paris, Obs. Point C	-594,20	-594,20		G	Brief Dr. Coron (19) S. 179
				Rom, Ciampino, Est (restau- rant)		+ 12,93			(4) S. 29
				Rom, Fac. Ing. int.		+ 2,01			(4) S. 29
				Rom ING		<u>-576,22</u>			
				Eichkorrektion		- 0,59			
				$-594,20 \cdot 10 \cdot 10^{-4}$		<u>-576,81</u>			
				$g_B - g_A$					
	Western 42 EQ	1954	Exp. Pol. Françaises (P. Stahl)	Paris, Sèvres BIPM		+ 3,04			
				Paris, Obs. Point C	-593,96	-593,96		G	Brief Dr. Coron (19) S. 179
				Rom, Ciampino, Est (restaurant)		+ 12,93			(4) S. 29
				Rom, Fac. Ing. int.		+ 2,01			(4) S. 29
				Rom ING		<u>-575,98</u>			
				Eichkorrektion		- 0,59			
				$-593,96 \cdot 10 \cdot 10^{-4}$		<u>-576,57</u>			
				$g_B - g_A$					
A. 8. Paris, Sèvres BIPM			Exp. Pol. Françaises (Martin)	Paris, Sèvres BIPM		+ 3,04			
B. 26. Marseille, Marignane, Flugh.				Paris, Point C		-454,88			Brief Dr. Coron (4) S. 14
				Marseille, Marignane Flugh.		-454,88			
				Eichkorrektion		-451,84			
				$-454,88 \cdot 10 \cdot 10^{-4}$		- 0,45			
				$g_B - g_A$		<u>-452,29</u>			

		1. Worden 52 2. Worden 50	1953 1953	Oss. Geof. Triest Beob.: Morelli	1. Paris, Sèvres BIPM Paris, Obs. Point C Paris, Le Bourget Marseille, Marignane (Flugh.) $g_B - g_A$ 2. Paris, Sèvres BIPM Paris, Orly Salle 1 Marseille, Marignane (Flugh.) $g_B - g_A$ Paris, Sèvres BIPM Toulouse, Obs. (Pfeiler) $g_B - g_A$ Paris, Sèvres BIPM Paris, Obs. Point C Toulouse, Obs. (Pfeiler) Eichkorrektion $-500,64 \cdot 10 \cdot 10^{-4}$ $g_B - g_A$	1. 2.	-461,67 -461,52  -427,17  -498,241 -498,245  -497,60  -498,24  + 3,04 - 6,30 - 24,96 - 427,17 - 498,24  + 3,04 - 500,64 <sup>1</sup> - 497,60 - 0,50 - 498,10  + 3,04 - 500,64 <sup>1</sup> - 497,60 - 0,50 - 498,10  - 552,58 + 14,92 + 0,49 - 537,17  - 15,41 - 381,71 + 14,88 + 2,01 - 380,23	GS GS	Brief Dr. Coron s. Anl. IV  (3) Tab. 20 (3) Tab. 20  s. Anl. IV (3) Tab. 20  L L	(3) Tab. 20 (3) Tab. 20  (3) Tab. 17 (3) Tab. 17  Brief Dr. Coron (13) S. 94  (29) (4) S. 27 (4) S. 27  (4) S. 27 (4) S. 27  (4) S. 29 (4) S. 29  (4) S. 29		
<b>A. 8. Paris, Sèvres BIPM</b> <b>B. 25. Toulouse, Obs. (Pfeiler)</b>	1. Worden 50 2. Worden XP 1	1959 1959	Oss. Geof. Triest Beob.: Sancin	Exp. Pol. Françaises								
<b>A. 19. Berlin-Tempelhof</b> <b>B. 9. München-Nymphenburg</b>	Ask. Gs. 12 Nr. 130	1958-60	TH Hannover Beob.: Bettac		Berlin-Tempelhof München-Flugh. 7836/6 FP München-Nymphenburg 7835/1 A München-Nymphenburg 7835/16 PS $g_B - g_A$		-552,58 + 14,92 + 0,49 - 537,17	G, p=1	(29) (4) S. 27 (4) S. 27			
<b>A. 9. München-Nymphenburg 7836/16 PS</b> <b>B. 12. Rom ING</b>	Ask. Gs. 12 Nr. 130	1958-60	TH Hannover Beob.: Bettac		München-Nymphenburg 7835/16 PS München-Flugh. 7836/6 FP Rom, Flugh. Ciampino-West Rom. Fac. Ing. int. Rom ING $g_B - g_A$		-381,71 + 14,88 + 2,01 - 380,23	G, p=5	(4) S. 27 (4) S. 29 (4) S. 29 (4) S. 29			

<sup>1</sup> Mittel aus 8 Messungen

Station	Instrument	Zeit	Institut/Beobachter	Punkt $P_i$	Nr.	$\Delta g$ [mgal]	$\Delta g$ Mittel [mgal]	Bem.	Lit.
<b>A. 9. München-Nymphenburg</b> <i>7836/16 PS</i>	1. Worden 50	1952	Oss. Geof. Triest	München-Nymphenburg					
	2. Worden 52	1956		7836/16 PS			- 15,41		(4) S. 27
<b>B. 10. Mailand, Polit.</b> <i>(Pendelst.)</i>	3. Worden XP 1	1959	Beob.: Pisani	München-Flughafen 7836/6 FP	1.	-75,389		G	(3) Tab. 15
	4. Worden 203			Treviso, Flughafen (innen)	3.	-75,323	- 75,36	G	(3) Tab. 15
					1.	+ 0,611		1959	(3) Tab. 15
					4.	+ 0,640		1959	(3) Tab. 15
					3.	+ 0,606	+ 0,62	1959	(3) Tab. 15
				Treviso, Flugh. (außen)	1.	+ 4,881		L	(3) Tab. 15
					1.	+ 4,895		L	(3) Tab. 15
					4.	+ 4,822		L	(3) Tab. 15
					3.	+ 4,901	+ 4,87	L	(3) Tab. 15
				Padua RFI	1.	-94,419		L	(3) Tab. 15
					2.	-94,375		L	(3) Tab. 15
					3.	-94,395		L	(3) Tab. 15
					1.	-94,296		L	(3) Tab. 15
				Mailand RFI			- 94,37		
				Mailand, Polit. (Pendelst.)			+ 0,41		
				$\mathcal{E}B - \mathcal{E}A$			-179,24		(4) S. 27
<b>A. 9. München-Nymphenburg</b> <i>7836/16 PS</i>	Ask. Gs. 12	1958-60	TH Hannover	München-Nymphenburg					
<b>B. 10. Mailand, Polit.</b> <i>(Pendelst.)</i>	Nr. 130		Beob.: Bettac	7835/16 PS			- 15,41		(4) S. 27
				München, Flugh. 7836/6 FP			-170,12	G, p=5	(29)
				Mailand-Malpensa (Bettac)			+ 0,10		Brief Prof. Inghilleri
				Mailand-Malpensa (airport)			+ 6,14		Brief Prof. Inghilleri
				Mailand Politecnico			-179,29		
				(Pendelst.)					
				$\mathcal{E}B - \mathcal{E}A$					
<b>A. 23. Zürich-Kloten, Flugh.</b>	1. Worden 50	1953	Oss. Geof. Triest	Zürich-Kloten, Flugh.	1.	+41,907		G	(3) Tab. 4
<b>B. 9. München-Nymphenburg</b> <i>7836/16 PS</i>	2. Worden 52	1953	Beob.: Pisani/Vasselli	München, Flugh. 7836/6 FP	2.	+41,983	+ 41,94	G	(3) Tab. 4
				München-Nymphenburg					
				7835/16 PS					
				$\mathcal{E}B - \mathcal{E}A$			+ 15,412		(3) Tab. 4
					1.	+15,404	+ 15,41		
					2.				
							+ 57,35		(3) Tab. 4

Zusammenstellung der Gravimettermessungen

79

<b>A. 22.</b> Frankfurt/M.-Flugh. 5917/59 E, FP II <b>B. 9.</b> München-Nymphenburg 7836/16 PS	Ask. Gs. 12 Nr. 130	1958-60	TH Hannover Beob.: Bettac	Frankfurt, Flugh. 5917/59 E, FP II München, Flugh. 7836/6 FP München, Nymphenburg 7835/16 PS $\delta_B - \delta_A$			-328,32 + 15,41 <u>-312,91</u>	G, p=10,5	(29) (47) S. 27
	1. Worden 50b 2. Worden XP 1	1956 1956	Oss. Geof. Triest Beob.: Pisani	Frankfurt, Flugh. 5917/59 E, FP II Frankfurt, Niederrad 5917/12 B FA München-Nymphenburg 7835/1 A München-Nymphenburg 7835/16 PS $\delta_B - \delta_A$	1. 2.	-313,802 -313,428	-313,62 + 0,49 <u>-312,77</u>	L L	Brief IfAG (3) Tab. 9 (3) Tab. 9 (4) S. 27
<b>A. 10.</b> Mailand, Polit. (Pendelst.) <b>B. 12.</b> Rom ING	Ask. Gs. 12 Nr. 130	1958-60	TH Hannover Beob.: Bettac	Mailand, Polit. (Pendelst.) Mailand-Malpensa (airport) Mailand-Malpensa (Bettac) Rom, Flugh. Ciampino West Rom, Fac. Ing. int. Rom, ING $\delta_B - \delta_A$			- 6,14 - 0,10 -211,56 + 14,88 + 2,01 <u>-200,91</u>	G, p=2,5	Brief Prof. Inghilleri Brief Prof. Inghilleri (29) (4) S. 29 (4) S. 29
<b>A. 10.</b> Mailand, Polit. (Pendelst.) <b>B. 12.</b> Rom ING	1. Worden 50 2. Worden 52	1951 1951	Oss. Geof. Triest Beob.: Pisani	Mailand, Polit. (Pendelst.) Rom, Fac. Ing. int. Rom ING $\delta_B - \delta_A$ Mailand, Polit. (Pendelst.) Rom Fac. Ing. int. Rom ING $\delta_B - \delta_A$	1. 2.	-202,78 -202,84	-202,81 + 2,01 <u>-200,80</u>	GS GS	(3) Tab. 19 (3) Tab. 19 (4) S. 29
				Mailand, Polit. (Pendelst.) Rom Fac. Ing. int. Rom ING $\delta_B - \delta_A$	1. 2.	-202,76 -202,68	-202,72 + 2,01 <u>-200,71</u>	GS GS	(3) Tab. 19 (3) Tab. 19 (4) S. 29
<b>A. 23.</b> Zürich, Flugh. Kloten <b>B. 10.</b> Mailand, Polit. (Pendelst.)	1. Worden 50 2. Worden 52	1953 1953	Oss. Geof. Triest	Zürich, Flugh. Kloten Mailand, Flugh. Malpensa Mailand, Polit. RFI Mailand, Polit. (Pendelst.) $\delta_B - \delta_A$	1. 2.	-128,65 -128,40	-128,52 + 6,52 + 0,41 <u>-121,59</u>	GS GS	(3) Tab. 20 (3) Tab. 20 (4) S. 27 (4) S. 27

Station	Instrument	Zeit	Institut/Beobachter	Punkt $P_i$	Nr.	$\Delta g$ [mgal]	$\Delta g$ Mittel [mgal]	Bem.	Lit.
<b>A. 25. Toulouse, Obs. (Pfeiler)</b> <b>B. 11. Bagnères (Nouvelle cave)</b>	1. Worden 50 2. Worden 52 3. Worden XP 1	1953 1953 1959	Oss. Geof. Triest Beob.: Pisani/Sancin	1) Toulouse, Obs. (Pfeiler) Toulouse, Obs. (Außenpunkt) Bagnères de Bigorre (nouvelle cave) $\delta_B - \delta_A$ 2) Toulouse, Obs. (Pfeiler) Bagnères (nouvelle cave) $\delta_B - \delta_A$ 1948-53 Expéd. Pol. Françaises (Martin)	1. 2. 1. 2. 1. 3.	+ 0,594 + 0,617 -155,949 -155,959 -155,386 -155,436	+ 0,61 -155,95 -155,34 -155,41 -155,41 -155,33* -155,33 - 0,16 -155,49	L L	(3) Tab. 5 (3) Tab. 5 (3) Tab. 5 (3) Tab. 5 (3) Tab. 17 (3) Tab. 17 (13) S. 94
<b>A. 22. Frankfurt/M. Flugh. 5917/59 E, FP II</b> <b>B. 12. Rom ING</b>	Ask. Gs. 12 Nr. 130	1958-60	TH Hannover Beob.: Bettac	Frankfurt, Flugh. 5917/59 E, FP II Rom, Flugh. Ciampino West Rom, Fac. Ing. int. Rom ING $\delta_B - \delta_A$		-710,02 + 14,88 + 2,01 -693,13	G, p=1		(29) (4) S. 29 (4) S. 29
<b>A. 19. Berlin-Tempelhof</b> <b>B. 15. Hamburg-Horn 2426 A</b>	Ask. Gs. 12 Nr. 130	1958-60	TH Hannover Beob.: Bettac	Berlin-Tempelhof Hamburg, Flughafen (Punkt Bettac) Hamburg, Flugh. 2326/8 FP Hamburg-Horn 2426 A $\delta_B - \delta_A$		+ 112,86 - 0,60 - 3,93 + 108,33	G, p=2		(28) (28) Anlage 8 Brief IfAG

\* Mittel aus 28 Messungen mit versch. Instrumenten

Zusammenstellung der Gravimettermessungen

81

II München Ak.-Abh. math.-nat. 1963 (Koeßl)	<b>A. 22.</b> Frankfurt/M.-Flugh. 5917/59E, FP II	Ask. Gs. 12 Nr. 130	1958-60	TH Hannover	Frankfurt/M.-Flughafen 5917/59E, FP II			+ 337,17	G, p=11,2	(29)
	<b>B. 15.</b> Hamburg-Horn 2426A			Beob.: Bettac	Hamburg-Flugh. (Bettac)			- 0,60		(29) Anlage 8
					Hamburg-Flugh. 2326/8FP			- 3,93		Brief IfAG
					Hamburg-Horn 2426A $\sigma_B - \sigma_A$			+ 332,64		
	<b>A. 20.</b> Düsseldorf, Flugh. 4706/9B FP	Ask. Gs. 12 Nr. 130	1958-60	TH Hannover	Düsseldorf, Flugh. 4706/9B, FP			+ 195,11	G, p=1,2	(29)
	<b>B. 15.</b> Hamburg-Horn 2426A			Beob.: Bettac	Hamburg, Flugh. (Bettac)			- 0,60		(29) Anlage 8
					Hamburg-Flugh. 2326/8FP			- 3,93		Brief IfAG
					Hamburg-Horn 2426A $\sigma_B - \sigma_A$			+ 190,58		
	<b>A. 17.</b> Amsterdam-Schiphol	Ask. Gs. 12 Nr. 130	1958-60	TH Hannover	Amsterdam, Schiphol (Bettac)			+ 106,22	G, p=1	(29)
	<b>B. 15.</b> Hamburg-Horn 2426A			Beob.: Bettac	Hamburg, Flugh. (Bettac)			- 0,60		(29) Anl. 8
					Hamburg, Flugh. 2326/8FP			- 3,93		Brief IfAG
					Hamburg-Horn 2426A $\sigma_B - \sigma_A$			+ 101,69		
	<b>A. 16.</b> Bremen, Flughafen	Ask. Gs. 12 Nr. 130	1958-60	TH Hannover	Bremen, Flughafen			+ 59,22	G, p=2,5	(29)
	<b>B. 15.</b> Hamburg-Horn 2426A			Beob.: Bettac	Hamburg, Flugh. (Punkt Bettac)			- 0,60		(29) Anlage 8
					Hamburg, Flugh. 2326/8FP			- 3,93		Brief IfAG
					Hamburg-Horn 2426A $\sigma_B - \sigma_A$			+ 54,69		
	<b>A. 16.</b> Bremen, Flughafen	Ask. Gs. 12 Nr. 130	1958-60	TH Hannover	Bremen, Flughafen			- 47,80	G, p=3,8	(29)
	<b>B. 18.</b> Hannover, Langenhagen 3524 A			Beob.: Bettac	Hannover, Flughafen 3524/1FP			- 0,17		(4) S. 25
					Hannover, Langenhagen 3524A $\sigma_B - \sigma_A$			- 47,97		
	<b>A. 16.</b> Bremen, Flughafen	Ask. Gs. 12 Nr. 130	1958-60	TH Hannover	Bremen, Flughafen			- 135,89	G, p=1,2	(29)
	<b>B. 20.</b> Düsseldorf, Flughafen 4706/9B			Beob.: Bettac	Düsseldorf, Flughafen 4706/9B, (FP) $\sigma_B - \sigma_A$			- 135,89		

Station	Instrument	Zeit	Institut/Beobachter	Punkt $P_i$	Nr.	$\Delta g$ [mgal]	$\Delta g$ Mittel [mgal]	Bem.	Lit.
<b>A. 17. Amsterdam-Schiphol</b>	Western 42	1949/50	Exp. Pol. Françaises (Martin)	Amsterdam-Schiphol (Bettac)			- 0,05		
<b>B. 21. Brüssel-Melsbroek(Halle)</b>				Amsterdam-Schiphol (Martin)		-126,36	-126,36	G	Brief Prof. Bruins (12) S. 14 (4) S. 30
				Brüssel-Melsbroek, Keller		- 5,36			
				Brüssel-Melsbroek (Transithalle)		-131,77			
				Eichkorrektion		- 0,13			
				$-126,36 \cdot 10 \cdot 10^{-4}$		-131,90			
				$g_B - g_A$					
<b>A. 21. Brüssel-Melsbroek, Flugh.</b>	1. Worden 50	1951	Oss. Geof. Triest	Brüssel-Melsbroek (Transithalle)	1.	+ 5,36			(4) S. 30
<b>B. 17. Amsterdam, Schiphol (Flugh.)</b>	2. Worden 52	1951	Beob.: Morelli/Pisani	Brüssel-Melsbroek (Keller)	2.	+126,52	+126,56	GS	(3) Tab. 18 (3) Tab. 18
				Amsterdam, Schiphol (Martin)		+ 0,05			
				Amsterdam, Schiphol (Bettac)		+131,97			
				$g_B - g_A$					
<b>A. 19. Berlin-Tempelhof</b>	1. Worden 50	1954	Oss. Geof. Triest	Berlin-Tempelhof	1.	+ 5,881			
<b>B. 18. Hannover-Langenhangen 3524 A</b>	2. Worden 52	1954	Beob.: Morelli/Pisani	Hannover, Flughafen 3524/1 FP	2.	+ 5,889	+ 5,88	G	(3) Tab. 6 (4) S. 25
				Hannover-Langenhangen 3524/2 A		- 0,17			
				$g_B - g_A$		+ 5,71			
<b>A. 22. Frankfurt/M. Flugh. 5917/59 E, FP II</b>	Ask. Gs. 12	1958-60	TH Hannover	Frankfurt, Flugh. 5917/59 E, FP II					
<b>B. 18. Hannover-Langenhangen 3524 A</b>	Nr. 130		Beob.: Bettac	Hannover, Flugh. 3524/1 FP		+230,16	G, p = 8,7		(29) (4) S. 25
				Hannover-Langenhangen 3524/2 A		- 0,17			
				$g_B - g_A$		+229,99			
<b>A. 20. Düsseldorf, Flugh. 4706/9B FP</b>	Ask. Gs. 12	1958-60	TH Hannover	Düsseldorf, Flugh. 4706/9BFP					
<b>B. 18. Hannover-Langenhangen 3524 A</b>	Nr. 130		Beob.: Bettac	Hannover, Flugh. 3524/1 FP		+ 88,09	G, p = 1,2		(29) (4) S. 25
				Hannover-Langenhangen 3524 A		- 0,17			
				$g_B - g_A$		+ 87,92			
<b>B. 19. Berlin-Tempelhof</b>	Ask. Gs. 12	1958-60	TH Hannover	Berlin-Tempelhof					
<b>B. 22. Frankfurt/M.-Flugh. 5917/59 E, FP II</b>	Nr. 130		Beob.: Bettac	Frankfurt/M.-Flugh. 5917/59 E, FP II		-224,30	G, p = 4,5		(29)
				$g_B - g_A$		-224,30			

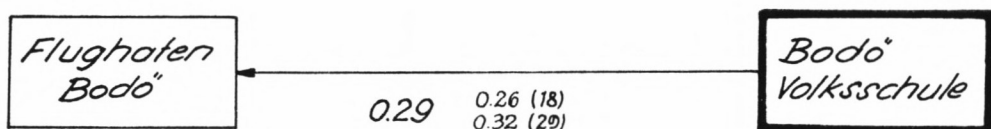
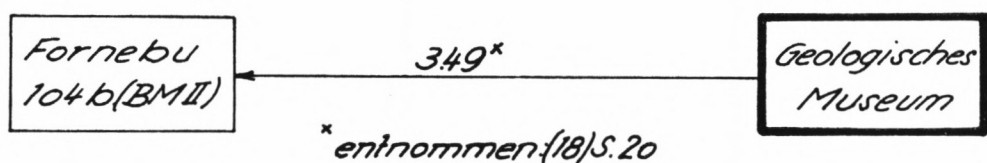
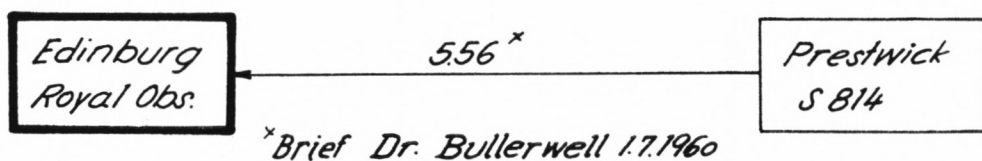
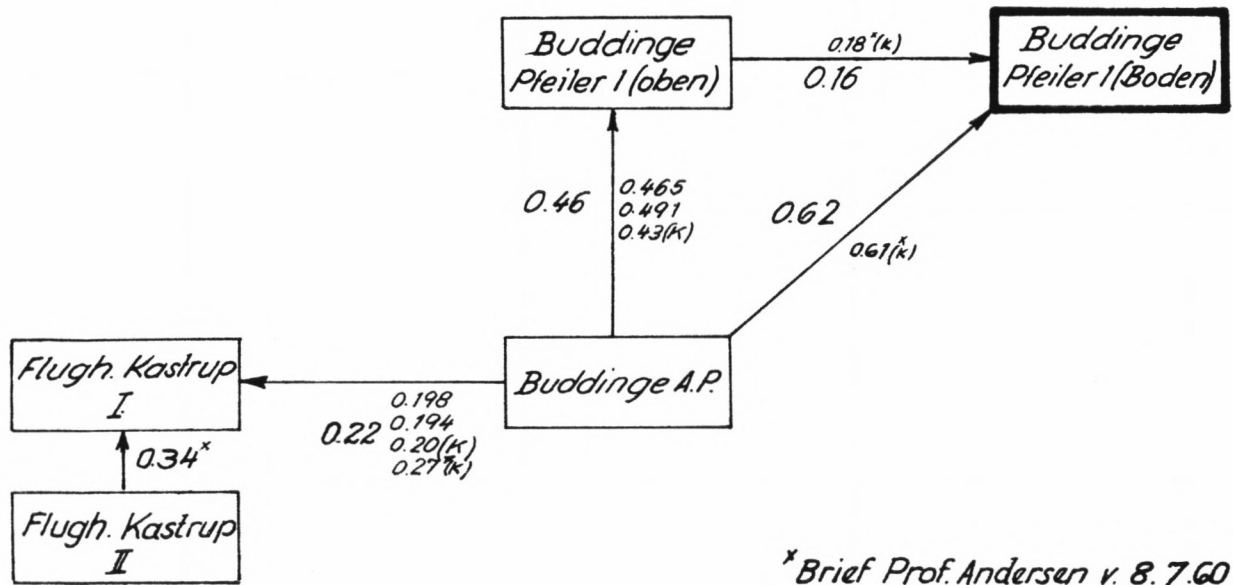
## Zusammenstellung der Gravimetermessungen

<b>A. 20.</b> Düsseldorf-Flugh. 4706/9 B, FP	Ask. Gs. 12 Nr. 130	1958-60	TH Hannover	Düsseldorf, Flugh. 4706/9 B, FP		-142,06	g, p = 1,2	(29)
<b>B. 22.</b> Frankf./M. Flugh. 5917/59 E FP II			Beob.: Bettac	Frankfurt/M. Flugh. 5917/59 E FP II		-142,06		
<b>A. 21.</b> Brüssel-Melsbroek (Transithalle)	Ask. Gs. 12 Nr. 130	1958-60	TH Hannover	Brüssel, Melsbroek, Transit- halle		- 98,93	G, p = 1	(29)
<b>B. 22.</b> Frankfurt, Flugh. 5917/59 E, FP II			Beob.: Bettac	Frankfurt/M.-Flugh. 5917/59 E FP II		- 98,93		
<b>A. 21.</b> Brüssel-Melsbroek (Transithalle)	1. Worden 50 2. Worden XP 1	1956, 58 1956, 58	Oss. Geof. Triest	Brüssel-Melsbroek, Transithalle		+ 5,36		(4) S. 30
<b>B. 22.</b> Frankfurt, Flugh. 5917/59 E, FP II			Beob.: Pisani	Brüssel-Melsbroek, cant.	1. - 27,191	- 27,19		(3) Tab. 1
				Bad Wildungen (Pendelst.)	1. - 14,608		L	(3) Tab. 12
				Weidenau, Außenpunkt	2. - 14,659	- 14,63	L	(3) Tab. 12
				Frankfurt, Niederrad A.P.	1. - 62,300		L	(3) Tab. 9
				Frankfurt, Flughafen 5917/59 E, FP II	2. - 62,312	- 62,31	L	(3) Tab. 9
				$\delta_B - \delta_A$		- 0,36		Brief IfAG
						- 99,13		
<b>A. 22.</b> Frankfurt/M.-Flugh. 5917/59 E, FP II	Ask. Gs. 12 Nr. 130	1958-60	TH Hannover	Frankfurt, Flugh. 5917/59 E, FP II		-209,50	G, p = 0,5	(29)
<b>B. 23.</b> Zürich-Kloten (Flugh.)			Beob.: Bettac	Stuttgart 4321 B		-160,68	G, p = 1	(29)
				Zürich-Kloten, Flugh. (Bettac)		0,00		
				Zürich-Kloten, Flugh. (Morelli)		-370,18		
				$\delta_B - \delta_A$				
<b>A. 24.</b> Genf, Obs. (Pendelpkt.)	1. Worden 50 2. Worden 52	1953 1953	Oss. Geof. Triest	Genf, Obs. (Pendelpunkt)	1. - 1,099			(3) Tab. 5
<b>B. 23.</b> Zürich-Kloten, Flugh.			Beob.: Pisani	Genf, Obs. (Außenpunkt)	2. - 1,108	- 1,10		(3) Tab. 5
				Gebensdorf	1. +139,536		L	(3) Tab. 5
				Zürich-Kloten, Flugh. (Morelli)	2. +139,571	+139,55	L	(3) Tab. 5
				$\delta_B - \delta_A$	1. - 32,549		L	(3) Tab. 3
				Zürich-Kloten, Flugh. (Morelli)	2. - 32,496	- 32,52	L	(3) Tab. 3
						+105,93		
<b>A. 26.</b> Marseille, Marignane, Flugh.	1. Worden 50 2. Worden 52	1953 1953	Oss. Geof. Triest	Marseille, Flugh. Marignane	1. - 16,450		L	(3) Tab. 5
<b>B. 24.</b> Genf, Obs. (Pendelpkt.)			Beob.: Pisani	Marseille, Marignane biv.	2. - 16,435	- 16,44	L	(3) Tab. 5
				Genf, Obs. (Pendelpkt.)	1. +109,031		L	(3) Tab. 5
				$\delta_B - \delta_A$	2. +108,993	+109,01	L	(3) Tab. 5
						+ 92,57		

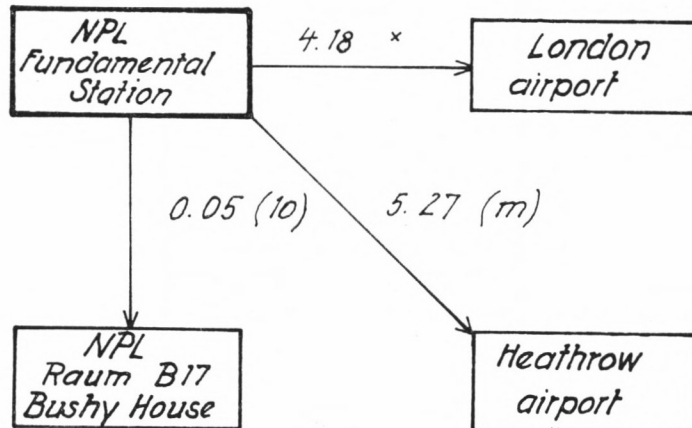
Station	Instrument	Zeit	Institut/Beobachter	Punkt $P_i$	Nr.	$\Delta g$ [mgal]	$\Delta g$ Mittel [mgal]	Bem.	Lit.
<b>A. 26. Marseille-Marignane, Flugh.</b>	1. Worden 50	1953	Oss. Geof. Triest	Marseille, Marignane, Flugh.	1.	- 16,450			
<b>B. 25. Toulouse, Obs. (Pfeiler)</b>	2. Worden 52	1933	Beob.: Pisani	Marseille, Marignane biv.	2.	- 16,435	- 16,44	L	(3) Tab. 5 (3) Tab. 5
				Toulouse, Obs. (Pfeiler) $g_B - g_A$	1.	- 29,278		L	(3) Tab. 5
					2.	- 29,230	- 29,25	L	(3) Tab. 5
							- 45,69		
				Marseille, Marignane, Flugh.			- 45,76		
				Toulouse, Obs. (Pfeiler)			- 45,76		(4) S. 14
				Eichkorrektion -45,76 · 10 · 10 <sup>-4</sup>			- 45,76		
				$g_B - g_A$			- 0,05		
							- 45,81		
<b>A. 27. Piastra LTE</b>	1. Worden 50	1953, 59	Oss. Geof. Triest	23. Piastra LTE	1.	+ 59,566			
<b>B. 26. Marseille, Flugh. Marignane</b>	2. Worden 52	1953	Beob.: Pisani	Savona RFI	3.	+ 59,462	+ 59,51	L	(3) Tab. 13 (3) Tab. 13
	3. Worden XP 1	1959		Marseille, Flugh. Marignane	1.	- 92,075		L	(3) Tab. 5
				$g_B - g_A$	2.	- 92,108	- 92,09	L	(3) Tab. 5
							- 32,58		

ANLAGE IV

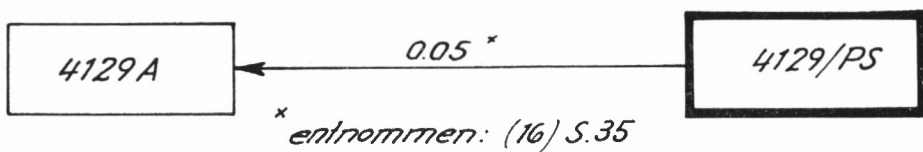
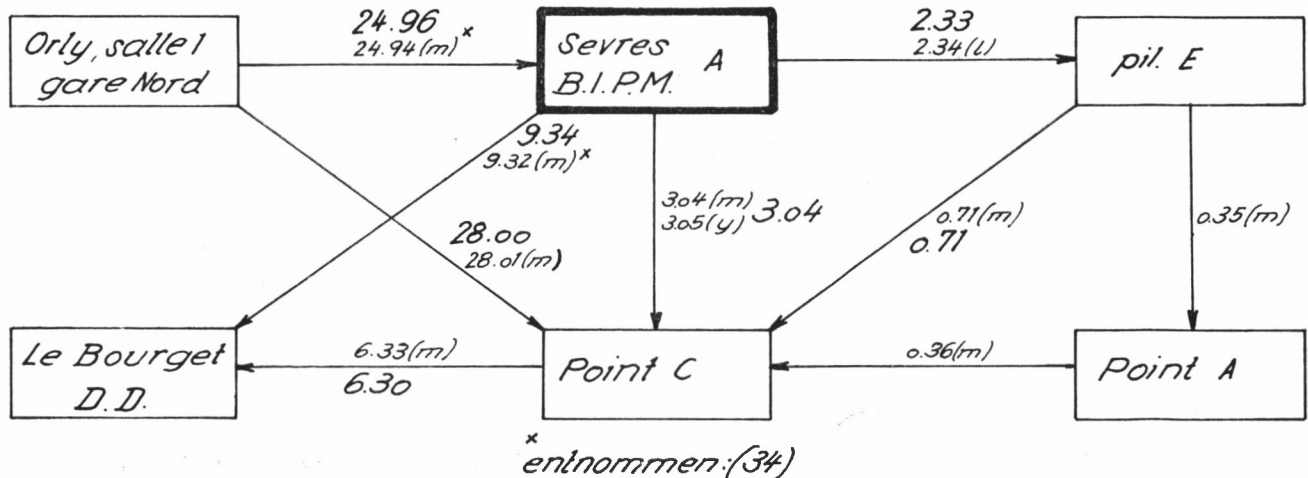
ÜBERTRAGUNGSMESSUNGEN FÜR DIE  
NEBENPUNKTE DER KNOTENPUNKTE  
(ZENTRIERELEMENTE)

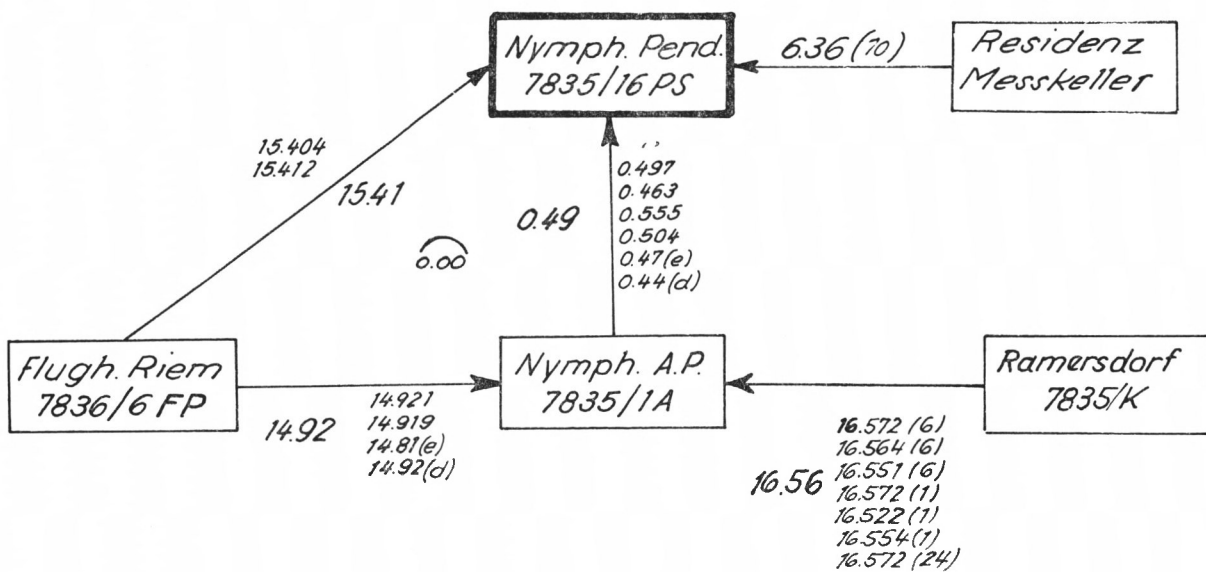
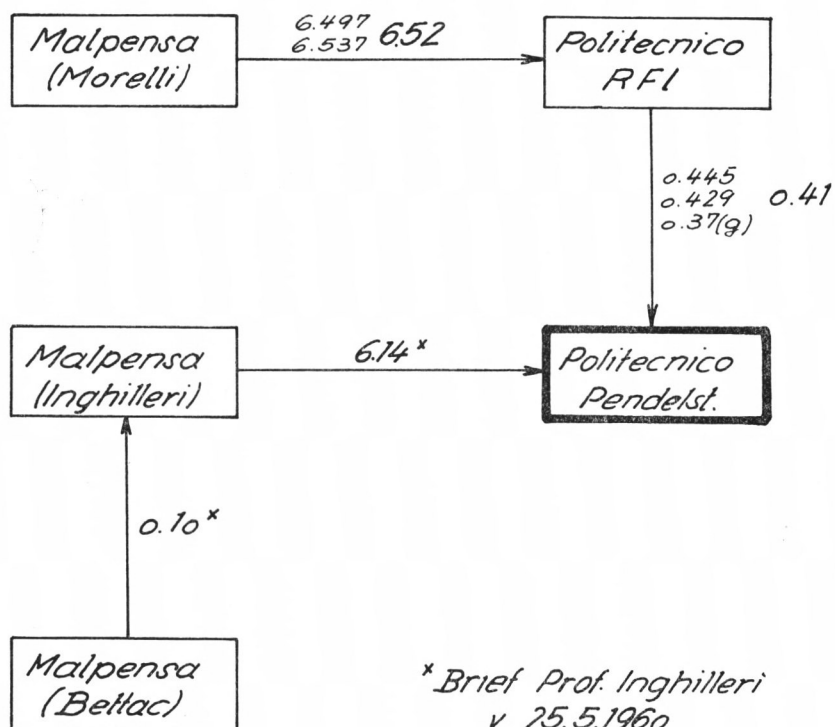
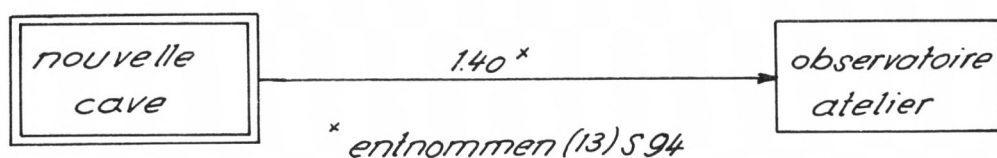
2. Bodö3. Oslo4. Edinburg5. Kopenhagen

## TAFEL II

6. London

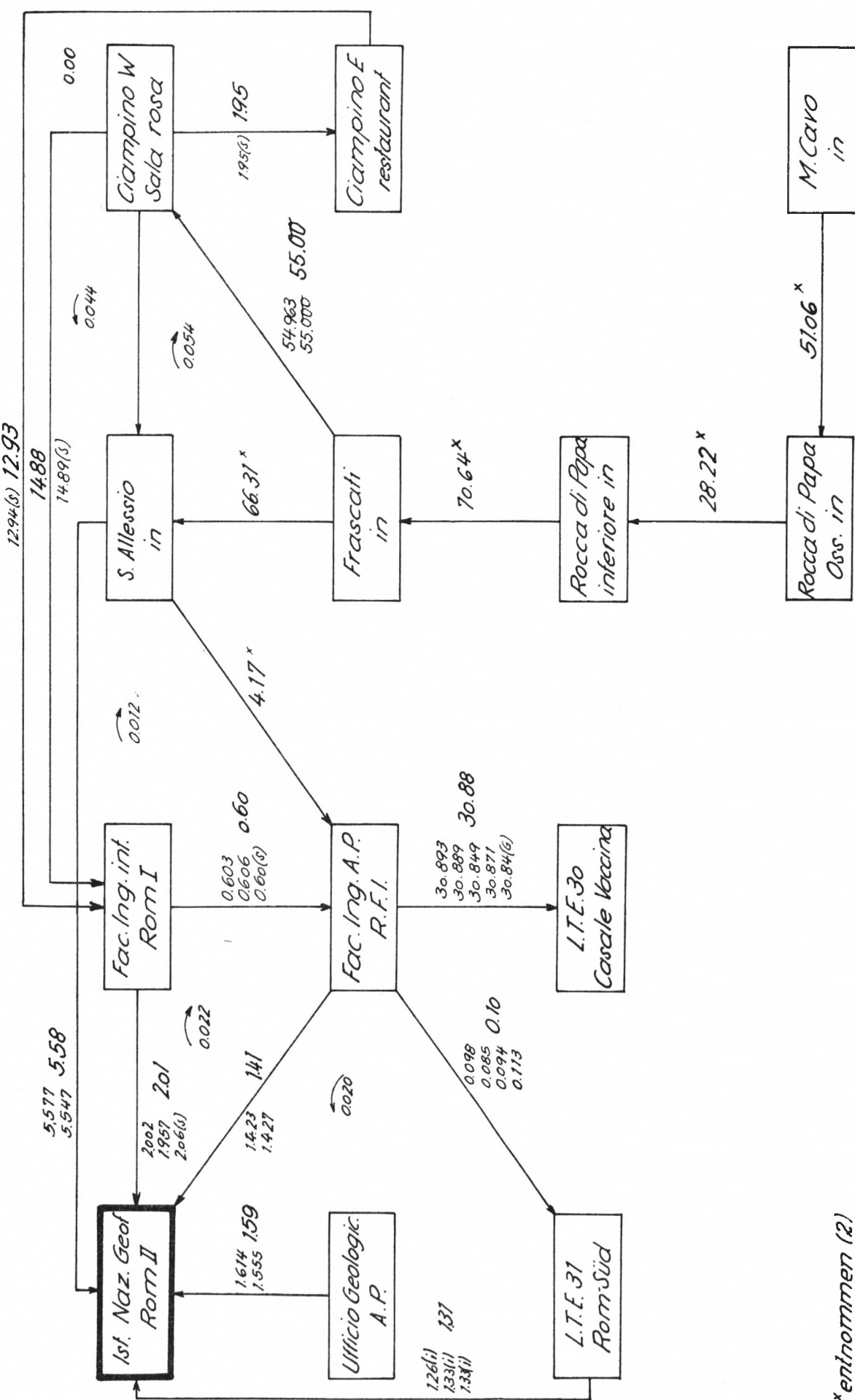
\* Brief Dr. Bullerwell 1.7.60

7. Bad Harzburg8. Paris

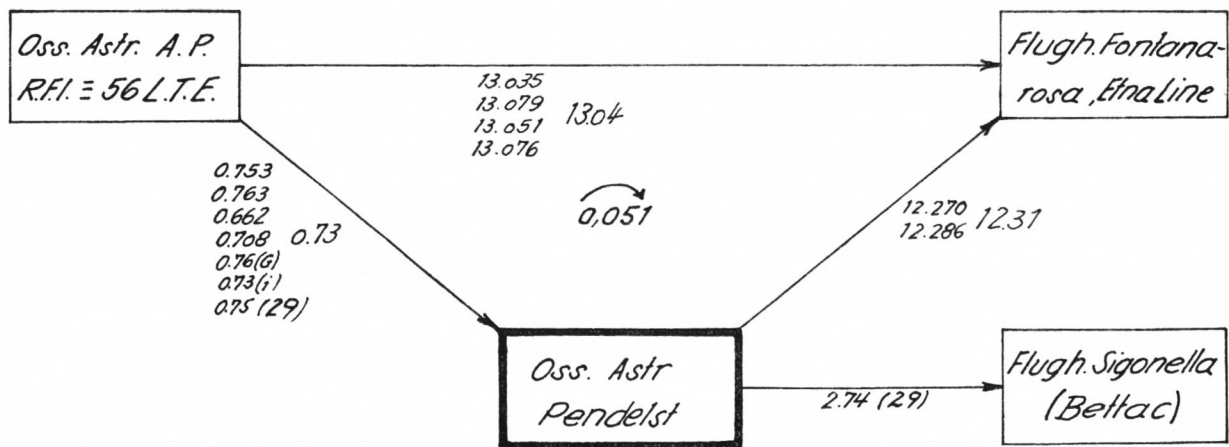
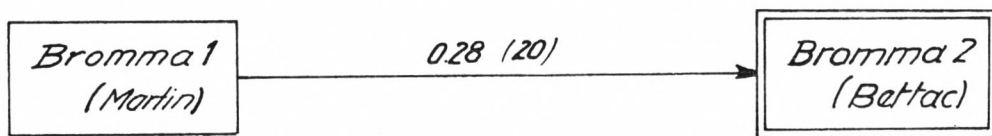
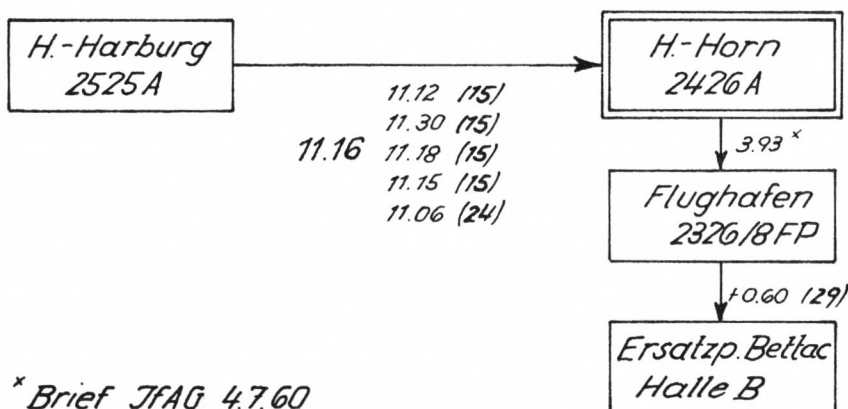
9. München10. Mailand11. Bagnères de Bigorre

## 12. Rom

TAFEL IV

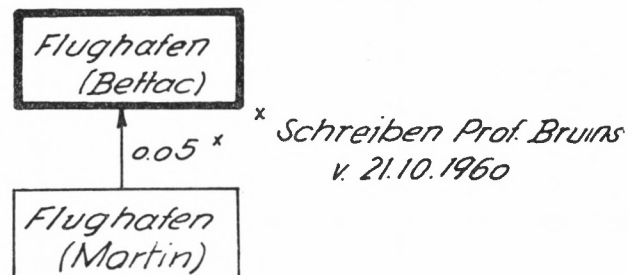
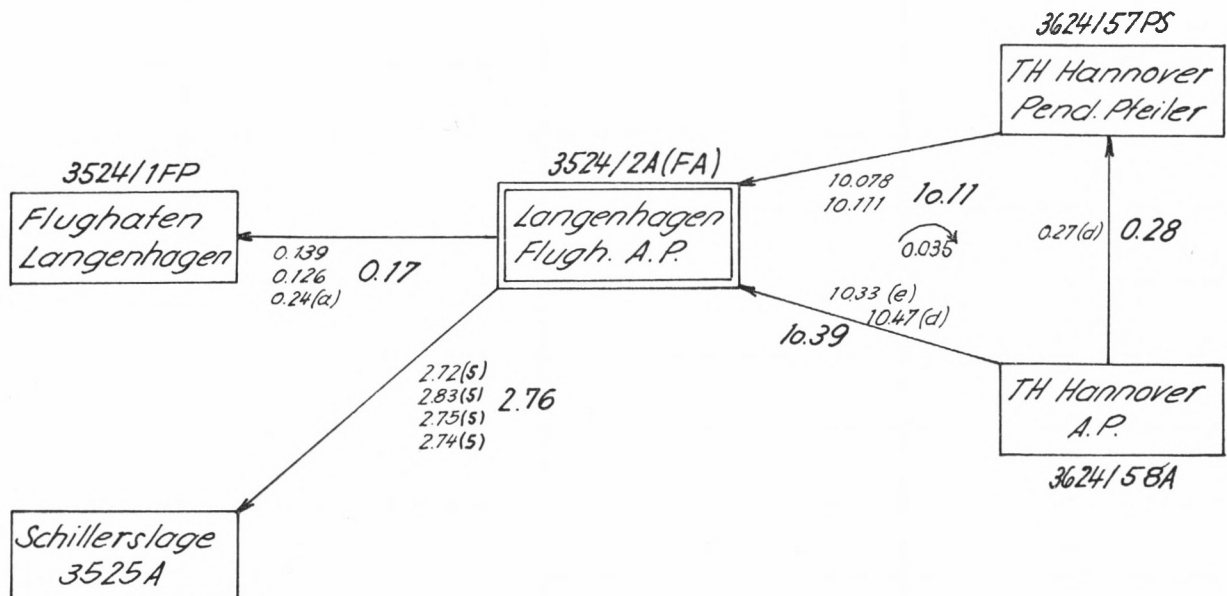
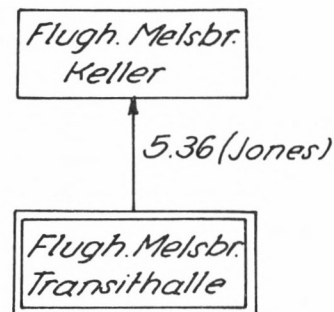


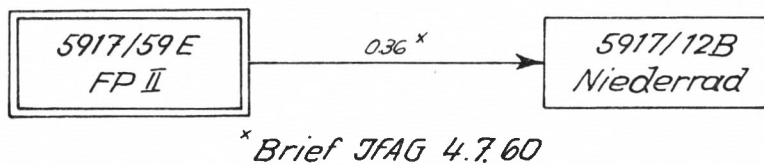
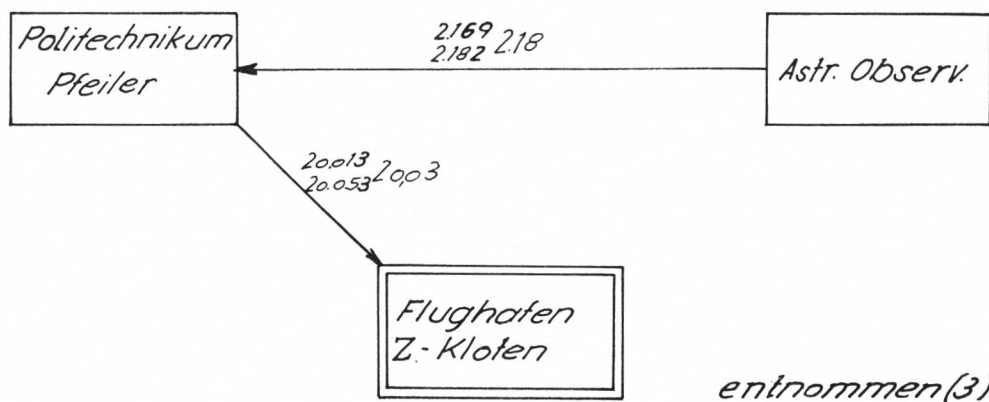
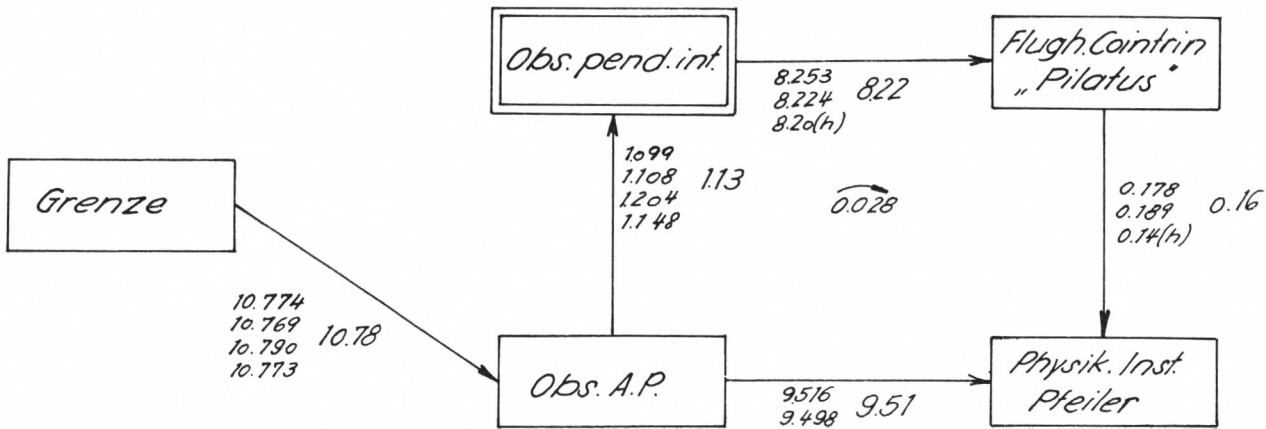
\* entnommen (2)

13. Catania14. Stockholm15. Hamburg

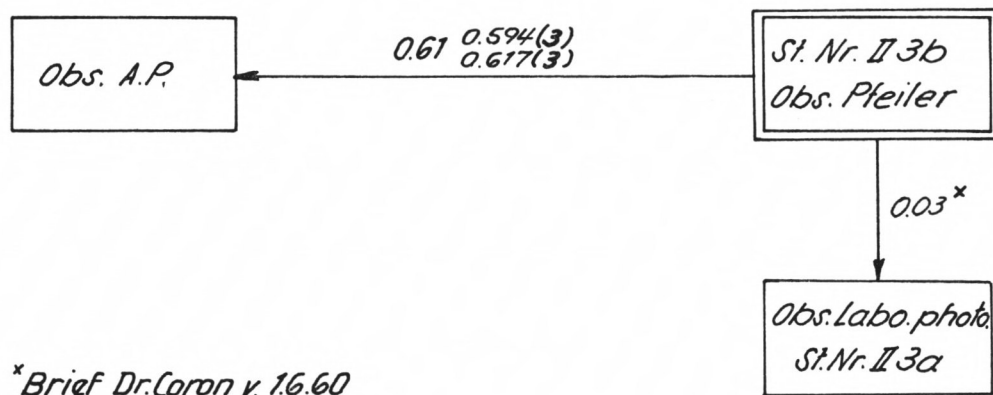
\* Brief JFAG 4.7.60

## TAFEL VI

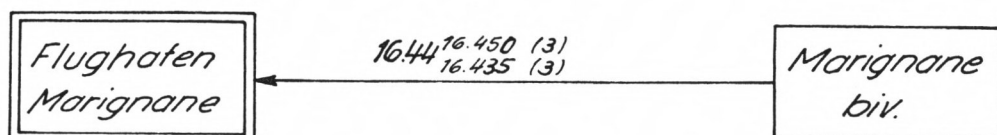
17. Amsterdam - Schiphol18. Hannover21. Brüssel-Uccle

22. Frankfurt/Main23. Zürich24. Genf

## TAFEL VIII

25. Toulouse

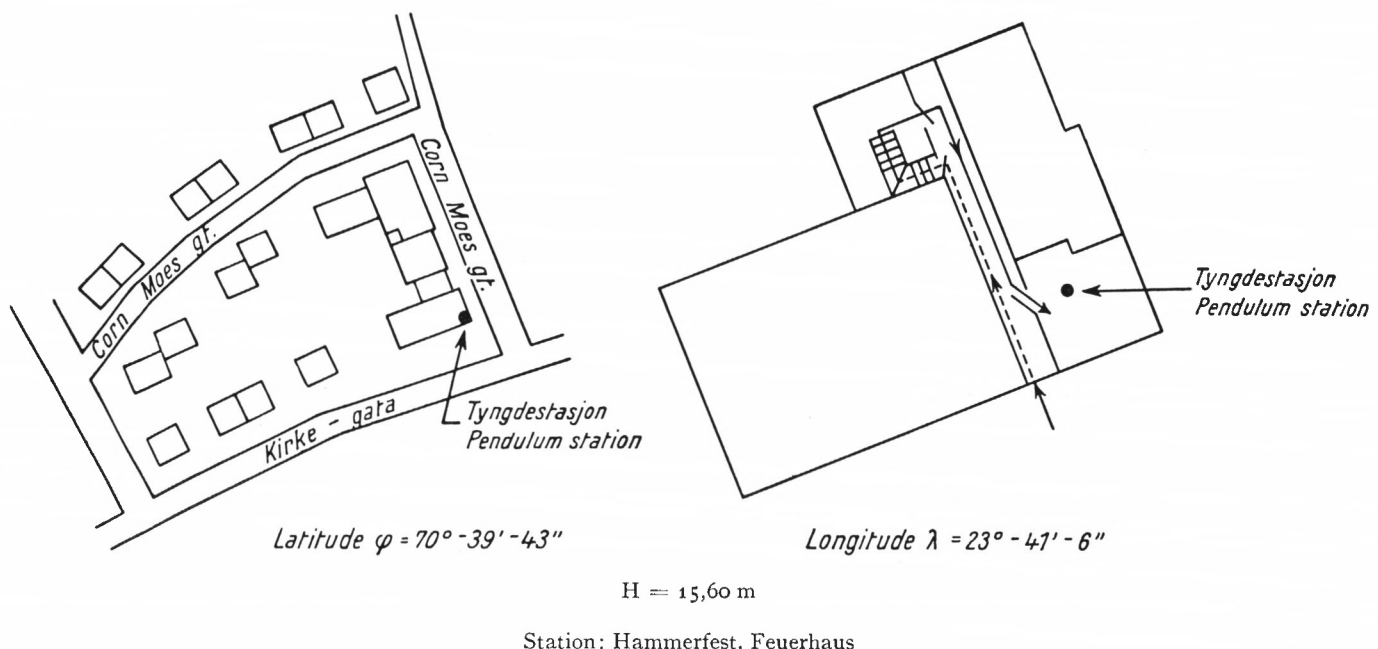
\*Brief Dr. Coron v. 16.60

26. Marseille

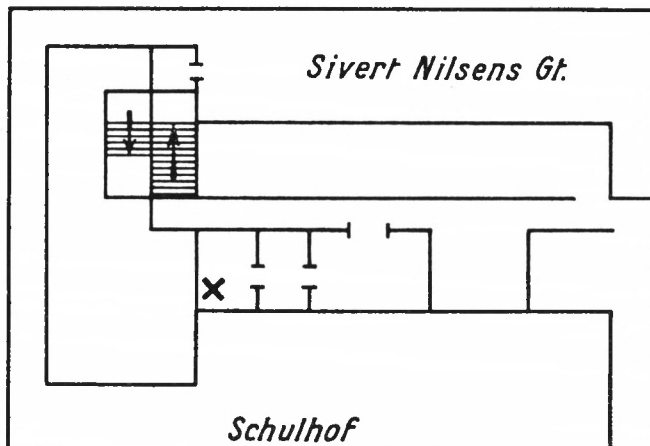
ANLAGE V

STATIONSBESCHREIBUNGEN FÜR DIE KNOTENPUNKTE  
UND PUNKTSKIZZEN

## 1. HAMMERFEST (PENDELSTATION)



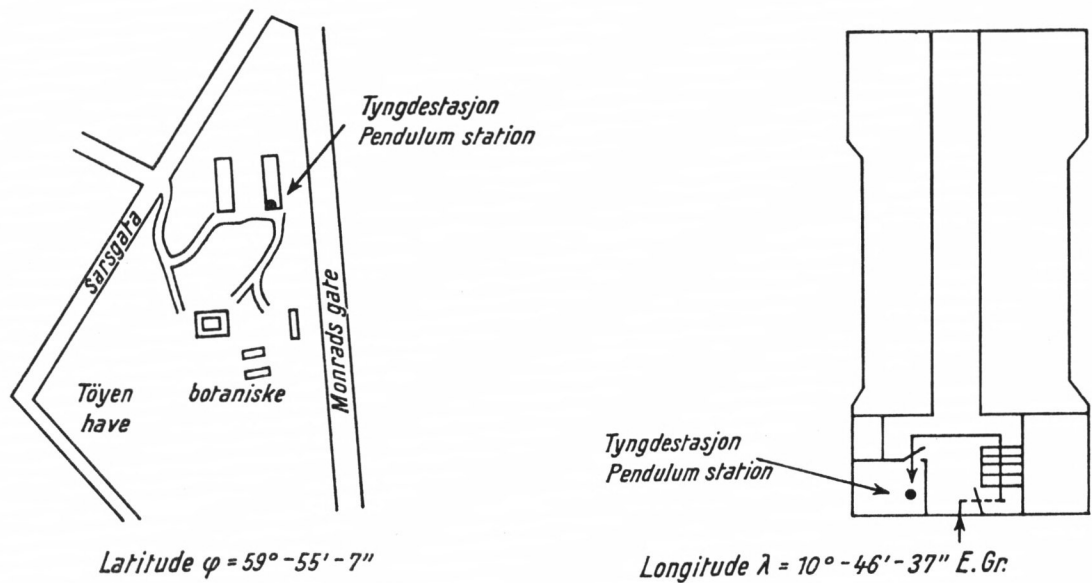
## 2. BODÖ (PENDELSTATION)



Station: Bodö, Volksschule

## TAFEL X

## 3. OSLO TOYEN (PENDELSTATION)



A cross-sectional diagram of a building foundation. An arrow points from the text 'Tyngdestasjon Pendulum station' to a specific point within the foundation. Below the foundation, the longitude is given as  $\lambda = 10^{\circ} - 46' - 37'' E. Gr.$

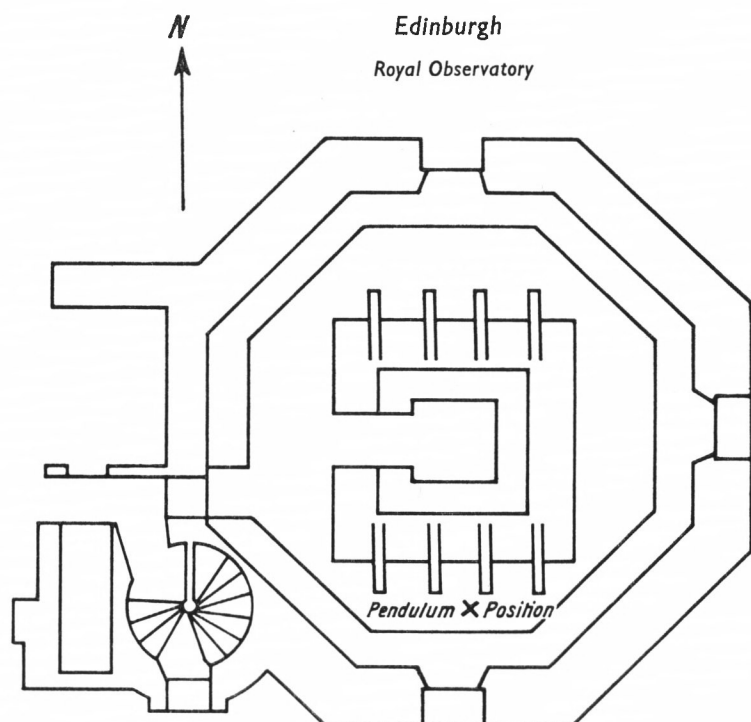
*Tyngdestasjon  
Pendulum station*

*Longitude  $\lambda = 10^{\circ} - 46' - 37'' E. Gr.$*

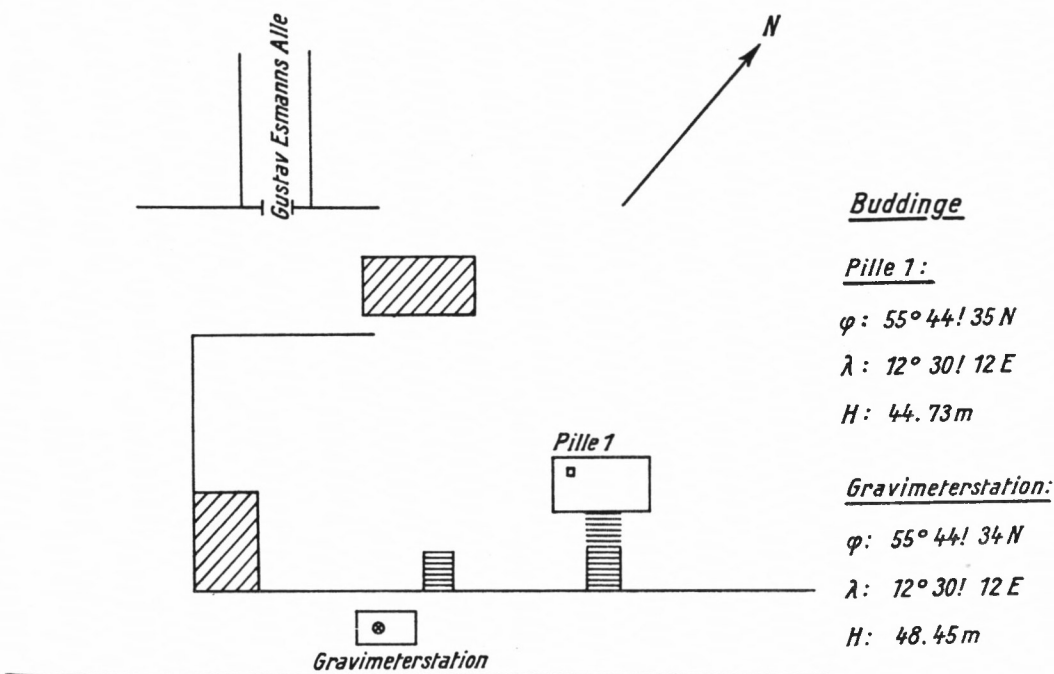
Station: Oslo, Geol. Museum

 $H = 30,9 \text{ m}$ 

## 4. EDINBURGH ROYAL OBSERVATORY

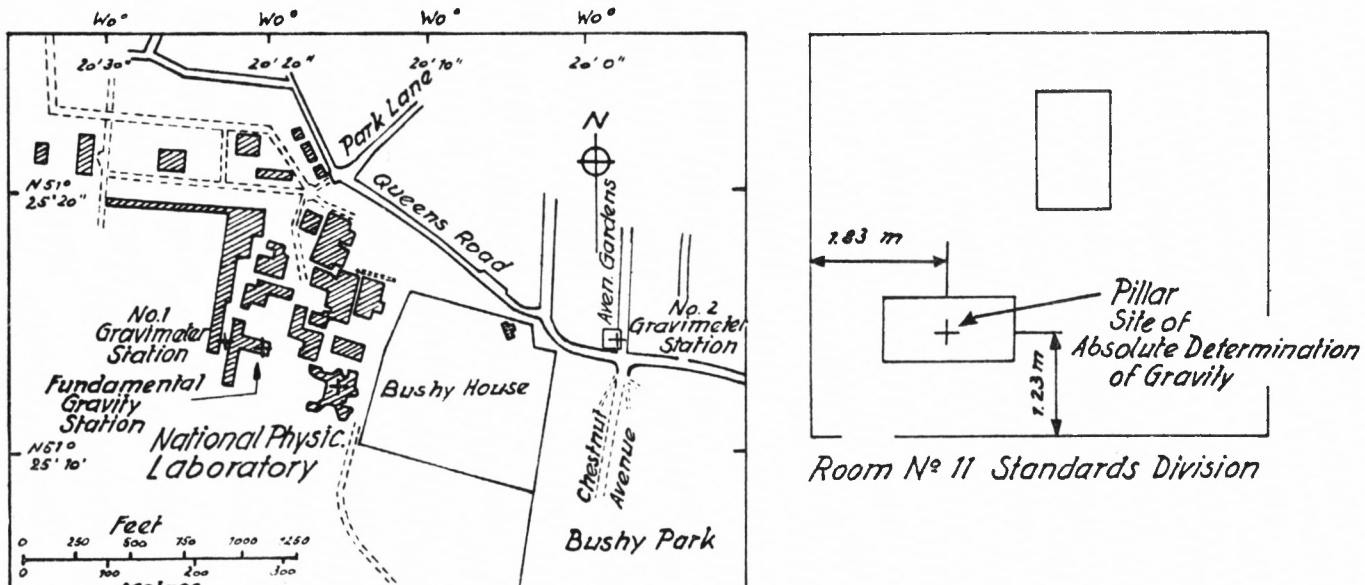


## 5. KOPENHAGEN (PENDELSTATION)



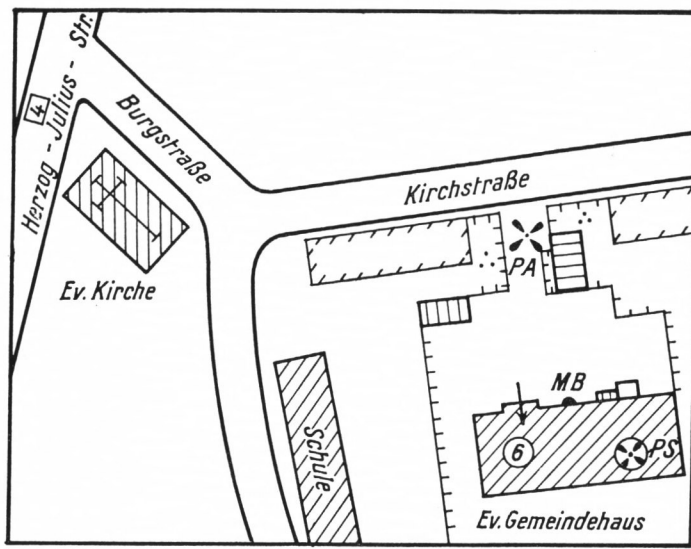
Die Dänische Fundamentalstation Kopenhagen, Buddinge

## 6. TEDDINGTON NPL

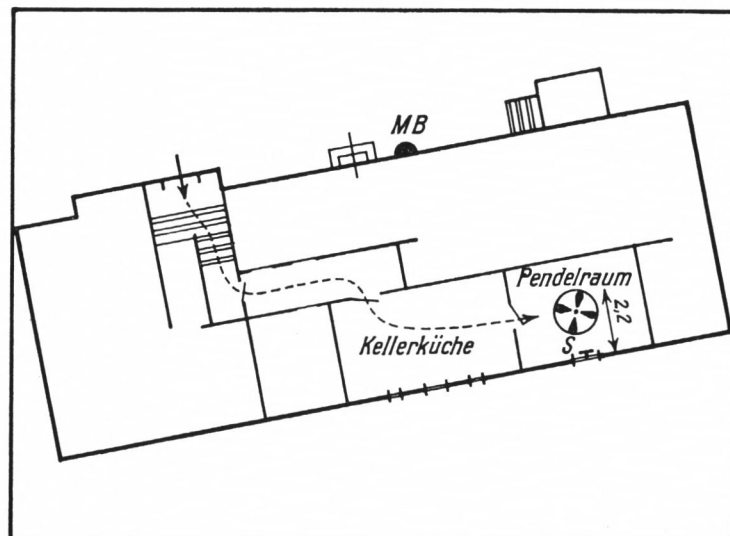


## TAFEL XII

7. BAD HARZBURG 4129 PS

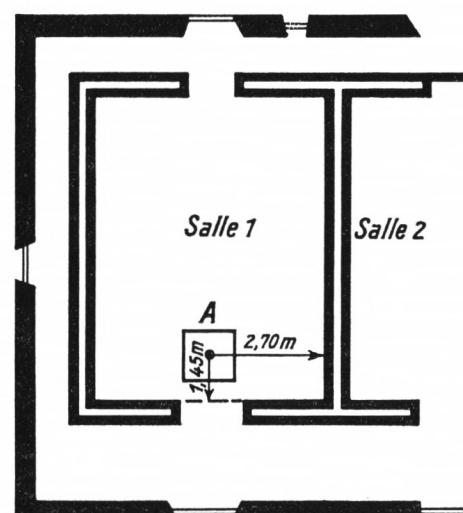
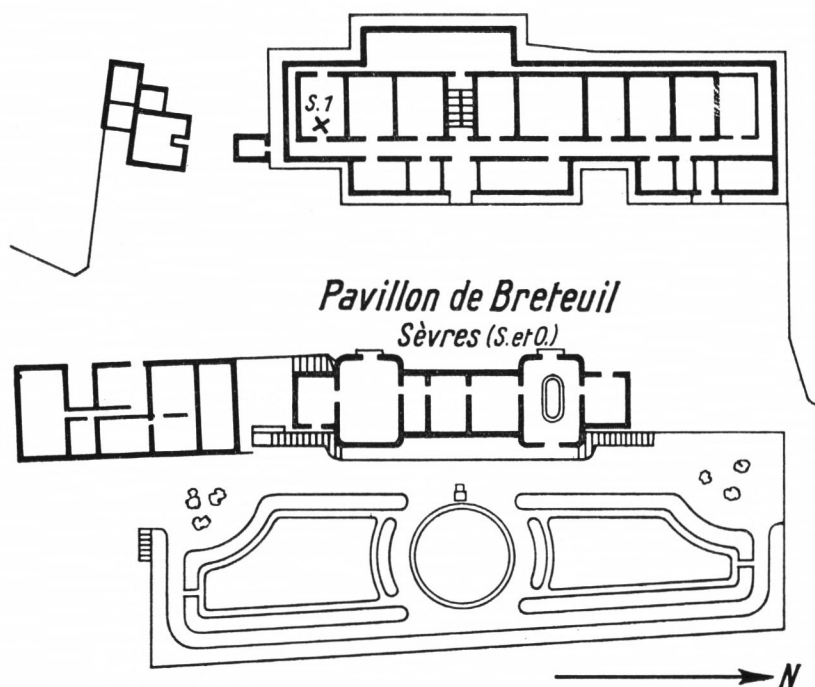


Bad-Harzburg. ⊗ Pendelpunkt    × Gravimeterpunkt



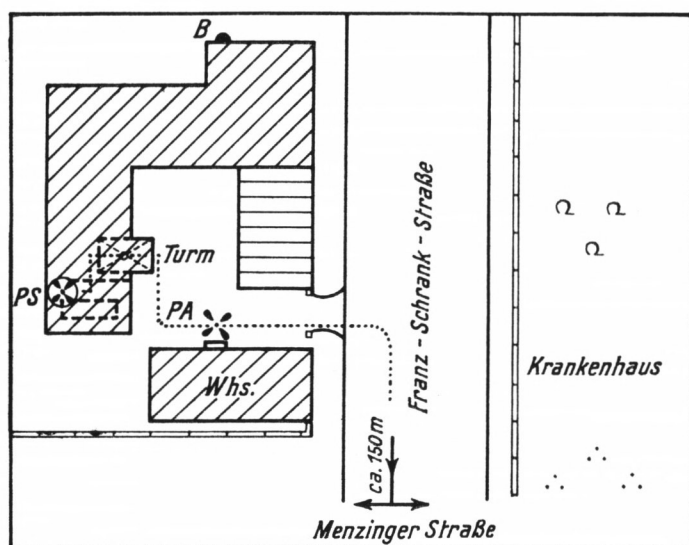
Punktskizze

## 8. PARIS-SÈVRES BIPM PTA

*Observatoire*

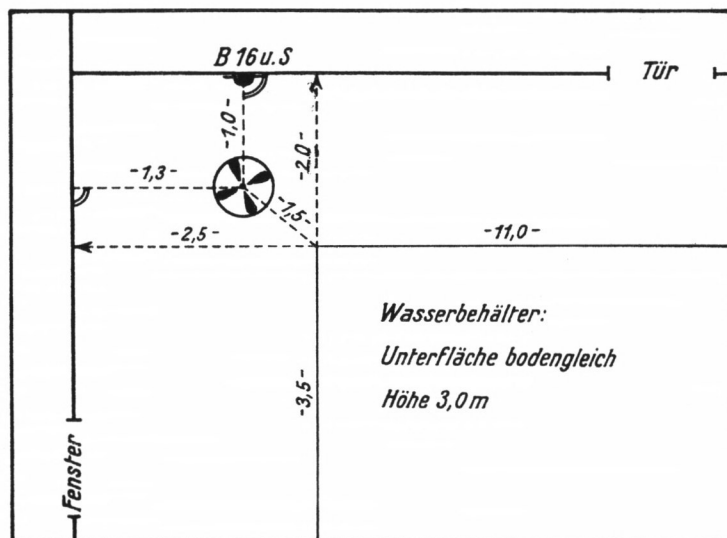
## TAFEL XIV

9. MÜNCHEN-NYMPHENBURG 7835/16 PS



Hauptpendelstation München-Nymphenburg. Lageskizze

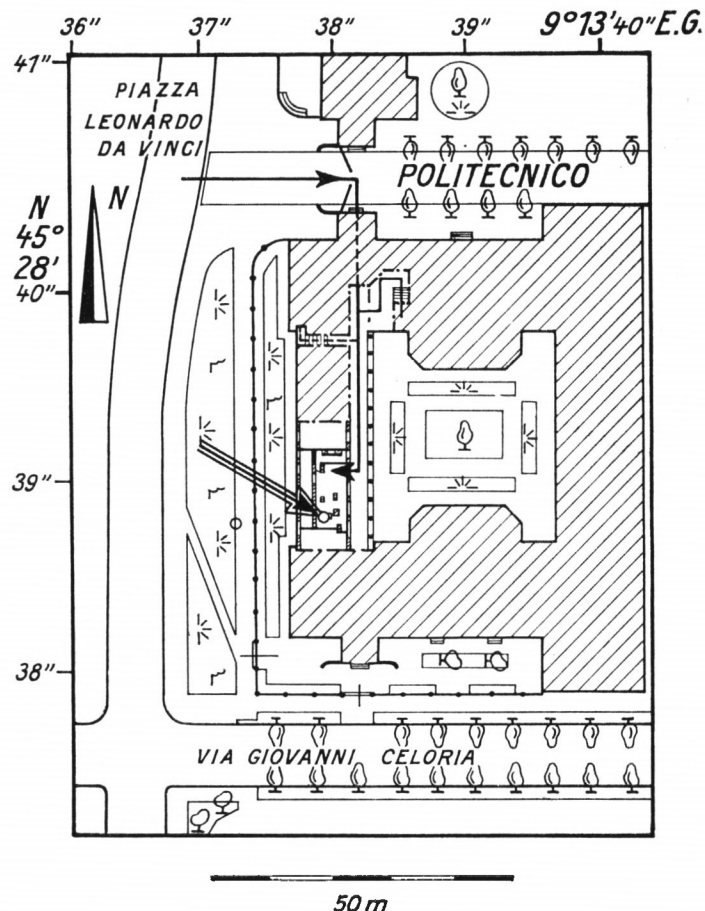
⊗ Pendelpunkt    × Gravimeterpunkt



Anmessungsskizze

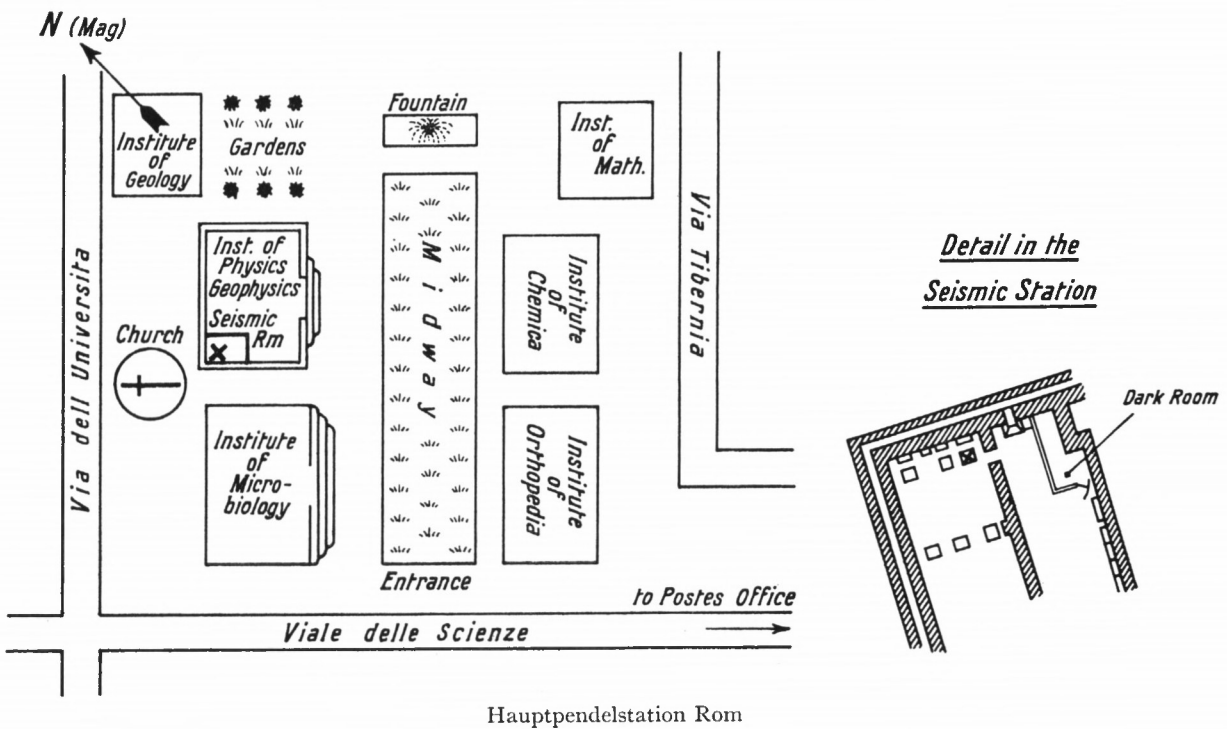
⊗ Pendelpunkt

## 10. MAILAND POLITECNICO (PENDELST.)



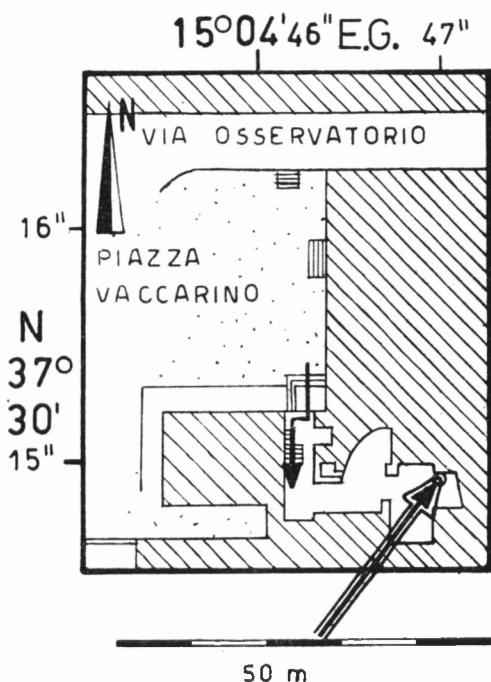
## TAFEL XVI

12. ROM ING



Hauptpendelstation Rom

## 13. CATANIA OSSERV. ASTROF. (PENDELSTATION)



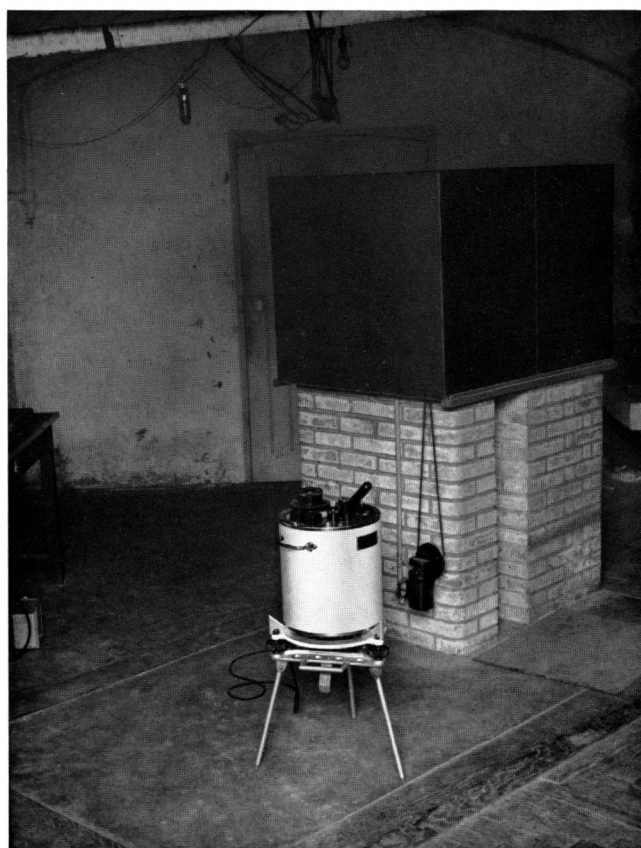
11. BAGNÈRES DE BIGORRE (NOUVELLE CAVE)



Station nouvelle cave no. 128

La photographie représente l'extérieur de la Nouvelle Cave séismique et gravimétrique de l'observatoire de Bagnères. La station se trouve à l'intérieur de la cave gravimétrique, contre le mur du fond.

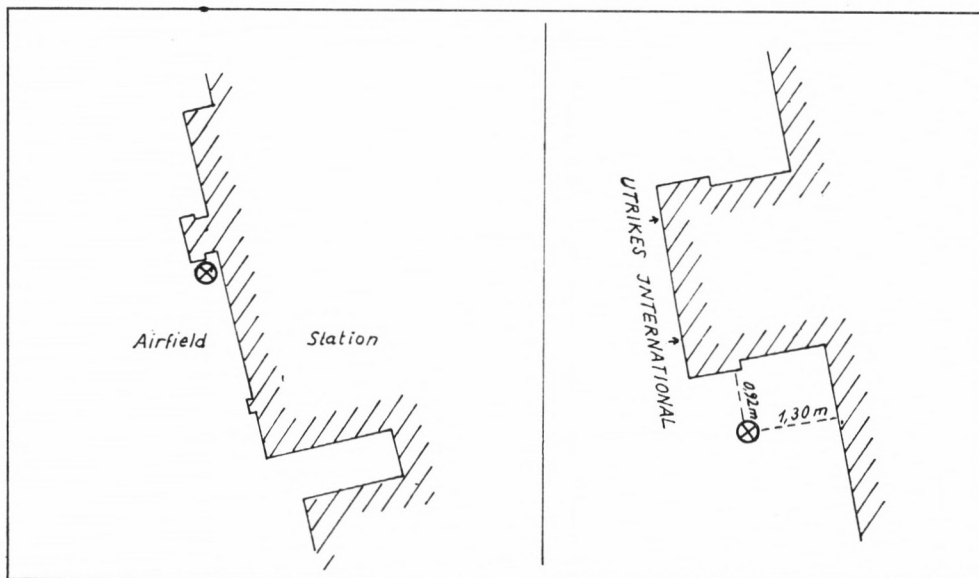
25. TOULOUSE-OBSERVATOIRE (PF.)



PILIER

## TAFEL XVII

## 14. STOCKHOLM PUNKT 2

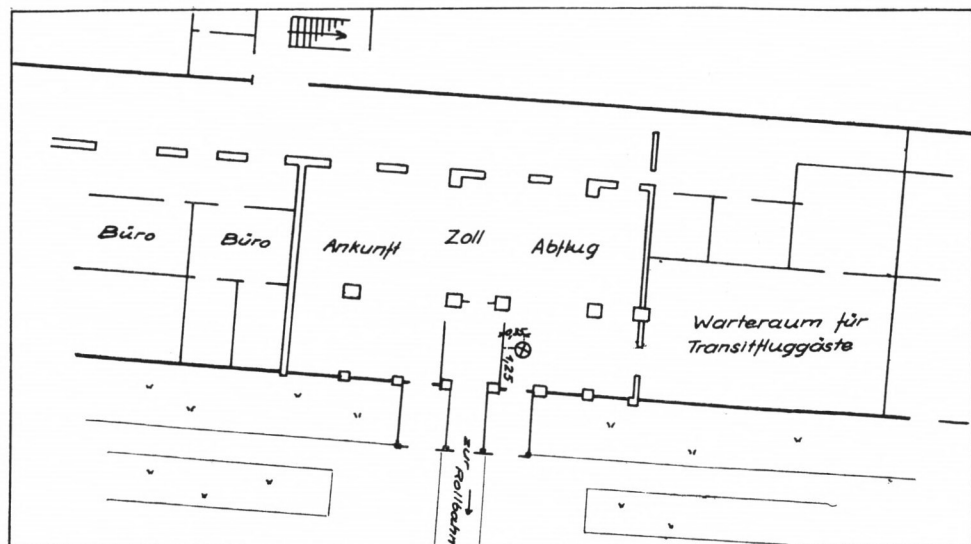


## 15. HAMBURG-HORN 2426/7 A

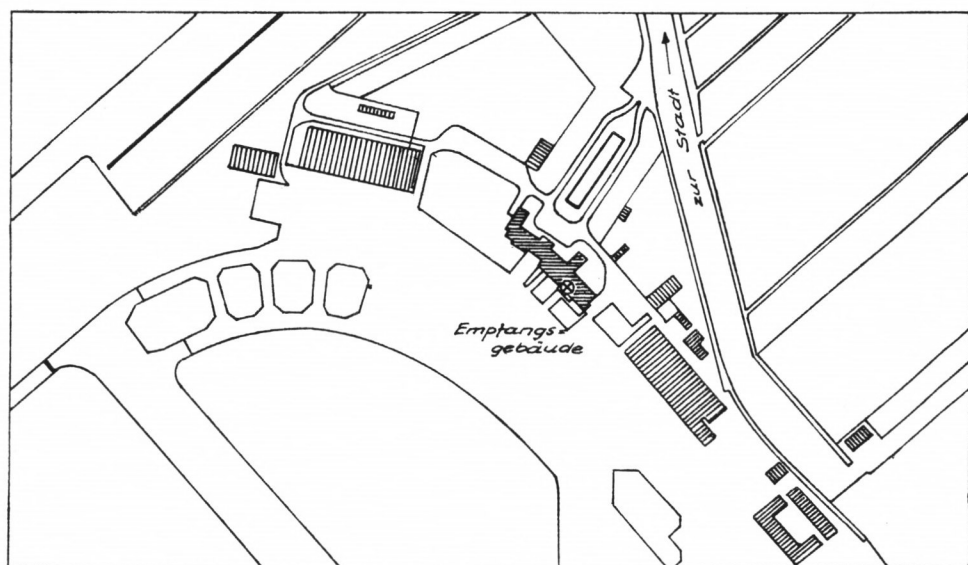
Europ. Eichlinie: Lübeck - Hamburg		Topograph. Karte 1: 25 000	Nr. 2426
Grundnetzlinie: --			
Verdichtungsnetz: .		<u>Schwerepunkt Nr.: 2426/ 7 A</u>	
Schweremessungen	Jahr	Beobachter	Instrument
	1 1955	Waterm. DGFI	Ask. Grav. 79
	2 1955	Brein, IfAG	N.A. Grav. 140
	3 1955	Bungenst. AfB	Ask. Grav. 94
	4		
	5		
	6		
	7		
	8		
Schwerewerte	Bezugspkt. Nr.		$\Delta \bar{g} = \bar{g} - g^{\circ}$ (gemessen)
	1	2327/ 7 A	- 0,24 ± mGal
	2	"	- 0,24 ± mGal
	3	"	- 0,24 ± mGal
	4		± mGal
	5		± mGal
	6		± mGal
	7		± mGal
	8		± mGal
Normalschwere $\bar{g}_0$ =		mGal	
gemessen $g$ =		mGal	
ausgeglichen $g$ =		mGal	
Bemerkungen: Verkehrsruhe, abends messen !			
<p><u>Beschreibung: Hamburg - Horn</u>          1,5 km südostw. Ende der Autobahn          Lübeck-Hamburg; Zufahrt über Sieveking          allee (Richtg. Bergedorf)-Rennbahnstr.  <math>\varphi = 53^{\circ} 33' 22''</math> Höhe ü. NN.: 13,19 m  <math>\lambda = 10^{\circ} 05' 10''</math> ö. Gr. Dichte:  <u>Höhenanschlußpunkt:</u>          MB</p> <p><math>H_G - H_N = - 1,24</math> m</p> <p><u>Lageskizze nach Norden orientiert.</u></p> <p>Vermarkung: S = Verm. Schildchen</p>			

## TAFEL XVIII

## 16. BREMEN FLUGHAFEN



## 16. BREMEN FLUGHAFEN (ÜBERSICHTSSKIZZE)



## TAFEL XIX

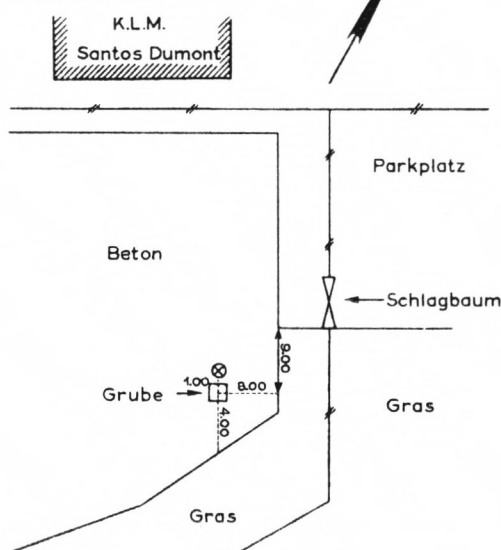
## 17. AMSTERDAM-SCHIPHOL

Gravimetermesspunkt  
Flughafen Schiphol  
(Amsterdam)

$$\varphi = 52^{\circ} 18' 43'' \text{ N.B.}$$

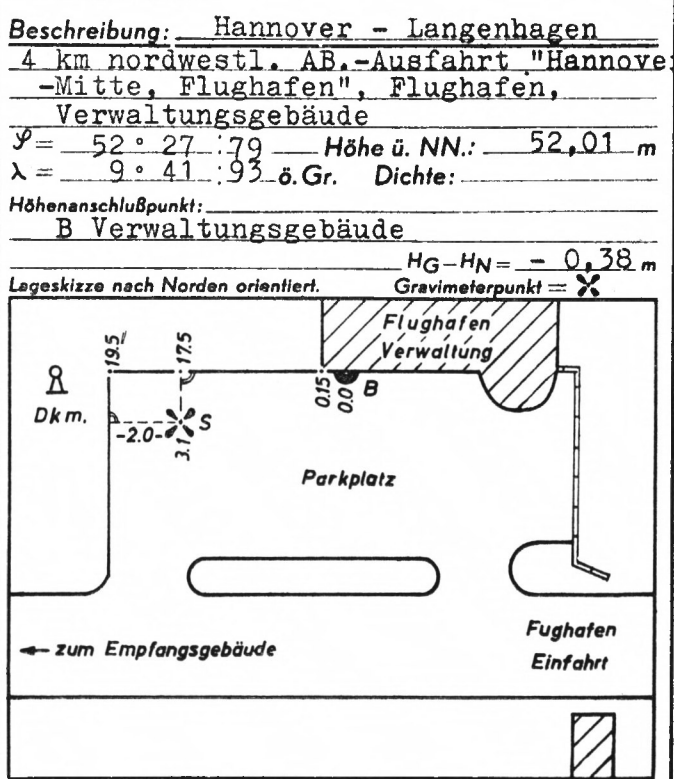
$$\lambda = 4^{\circ} 48' 48'' \text{ O.L.}$$

$$H = -4.30 \text{ (unter N.N.)}$$



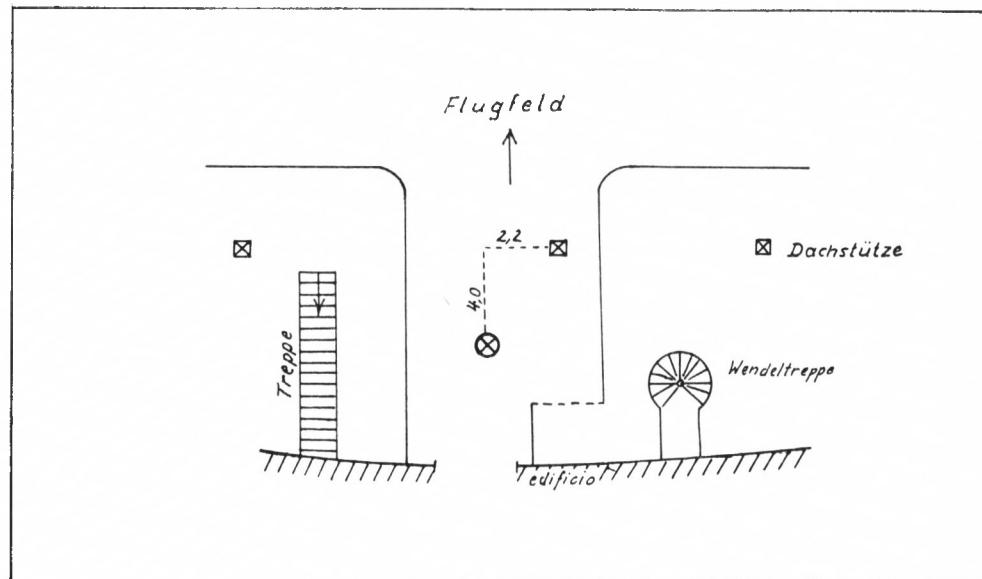
## 18. HANNOVER-LANGENHAGEN 3524 A

Europ. Eichlinie: Hannover - Bad Harzburg			Topograph. Karte 1: 25 000	Nr. 3524	
Grundnetzlinie: WO. 3: Minden - Braunschweig			Schwerepunkt Nr.: 3524/ 2 A (FA)		
Verdichtungsnetz:					
Schweremessungen	Jahr	Beobachter	Instrument		
	1	1953	Morelli/ Ital.	Worden 50/52	
	2	1955	Bungenst. AfB	Ask. Grav. 94	
	3	1955	Brein, DGFI	N.A. Grav. 140	
	4	1955	Waterm. DGFI	Ask. Grav. 79	
	5	1955	Bungenst. AfB	Ask. Grav. 94	
	6				
	7				
	8				
Schwerewerte	Bezugspkt. Nr.	$\Delta \bar{g} = \bar{g} - g^{\circ}$ (gemessen)			
	1	3524/ 1 FP	$+ 0,13 \pm 0,00 \text{ mGal}$		
	2	3524/ 1 FP	$- 0,24 \pm 0,00 \text{ mGal}$		
	3	3525/ 15 A	$- 2,72 \pm \text{ mGal}$		
	4	"	$- 2,83 \pm \text{ mGal}$		
	5	"	$- 2,82 \pm \text{ mGal}$		
	6		$+ \text{ mGal}$		
	7		$+ \text{ mGal}$		
	8		$+ \text{ mGal}$		
Normalschwere $\bar{g}_0 =$			mGal		
gemessen $\bar{g} =$			mGal		
ausgeglichen $g =$			mGal		
Bemerkungen: Außenpkt. für 3524/ 1 FP					
Vermarkung: S = Verm. Schildchen					

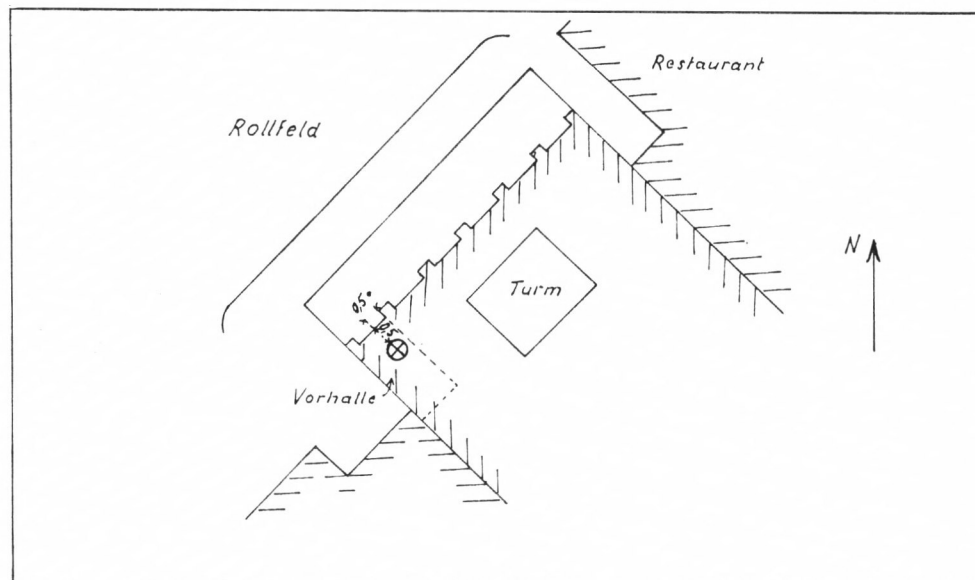


## TAFEL XX

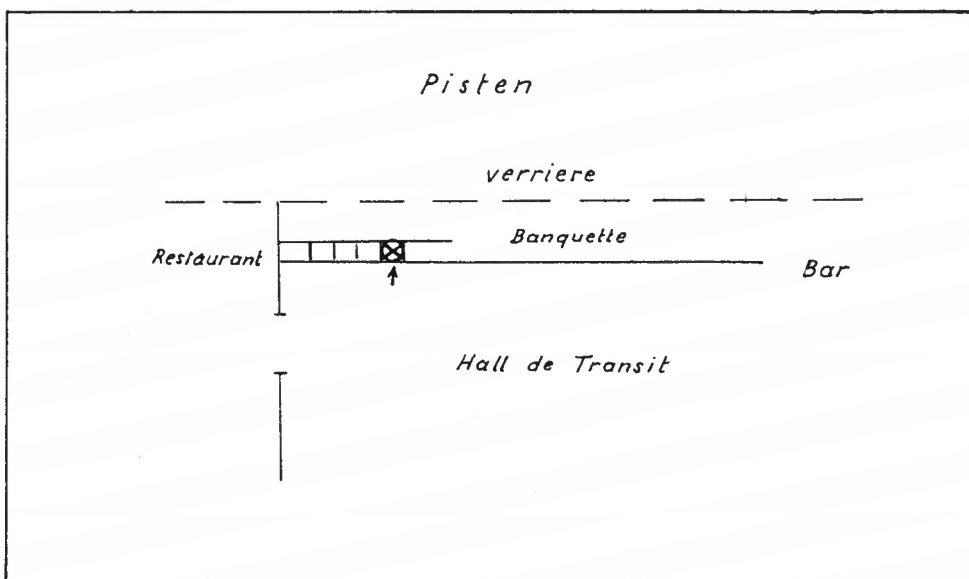
19. BERLIN TEMPELHOF



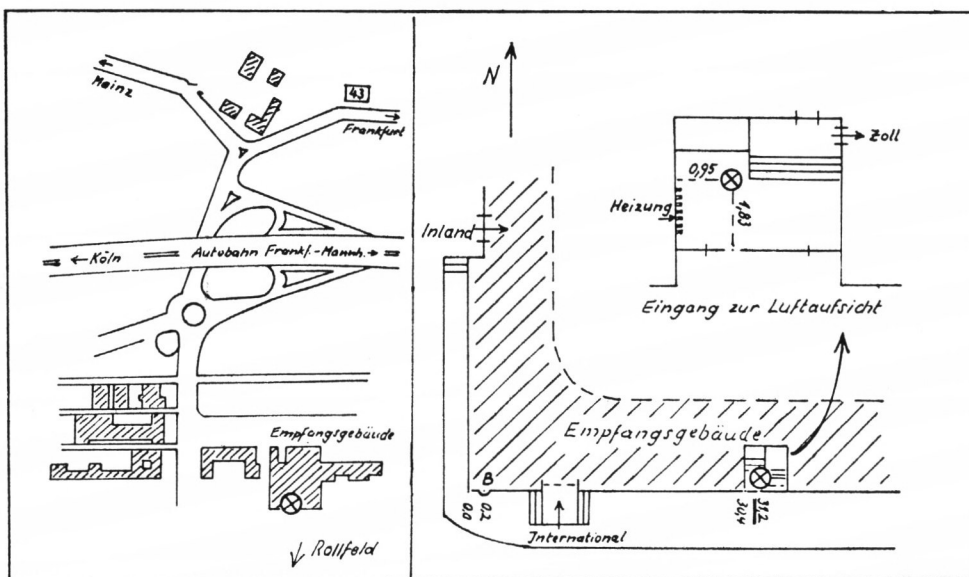
20. DÜSSELDORF FLUGH. 4706/9 B (FP)



## 21. BRÜSSEL-MELSBROEK (HALLE)

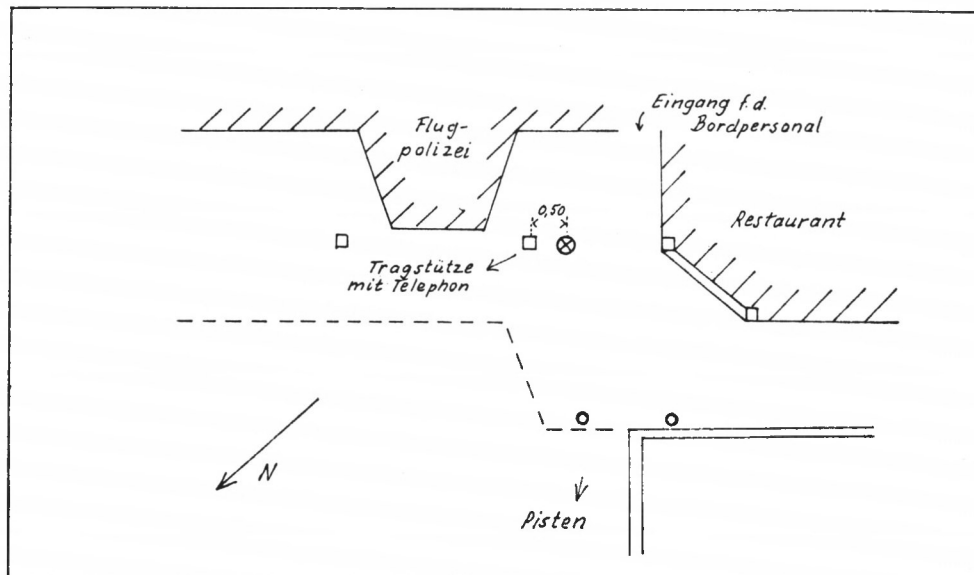


## 22. FRANKFURT 5917/59 E (FP II)

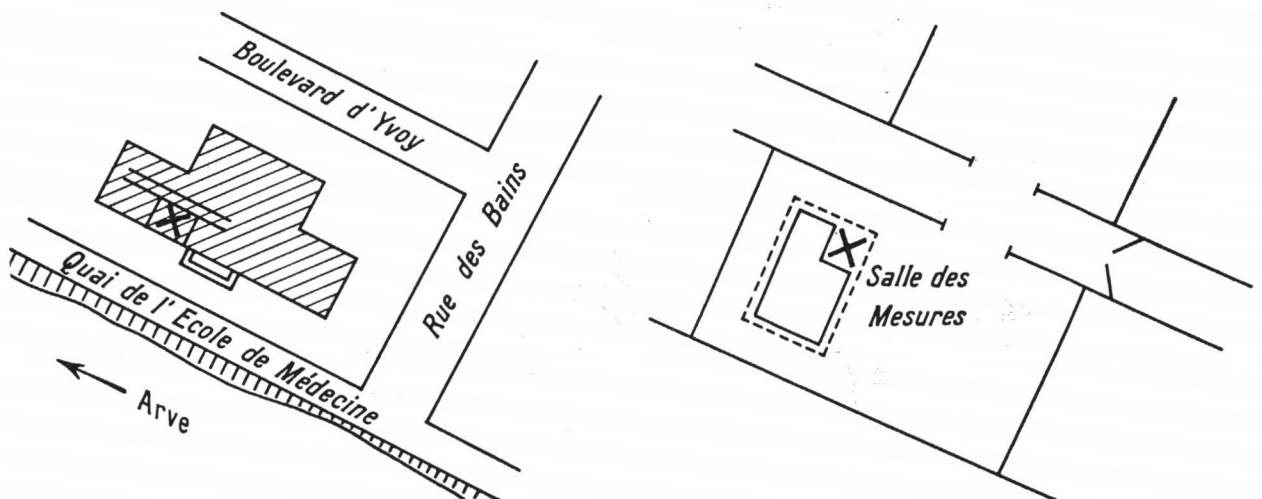


## TAFEL XXII

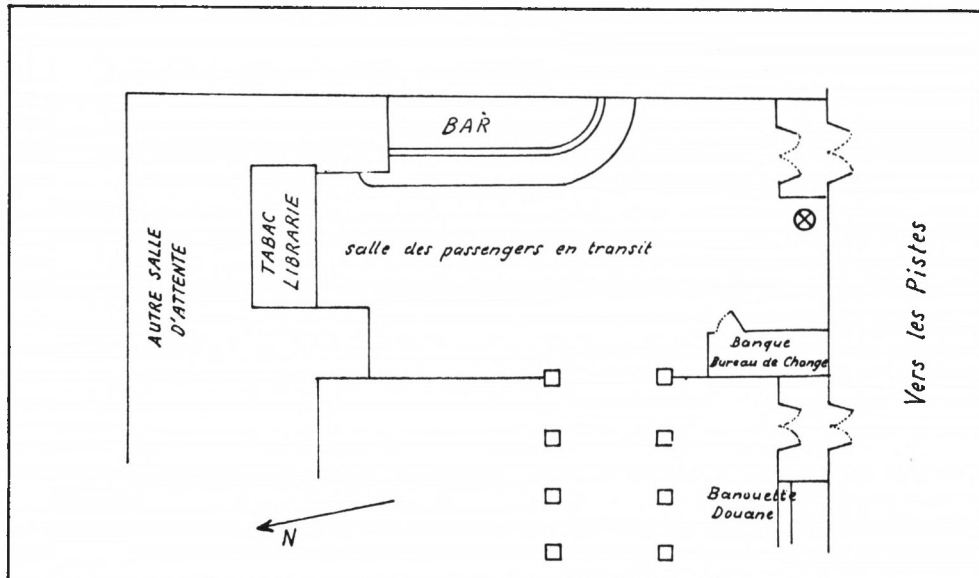
23. ZÜRICH KLOTEN (FLUGH.)



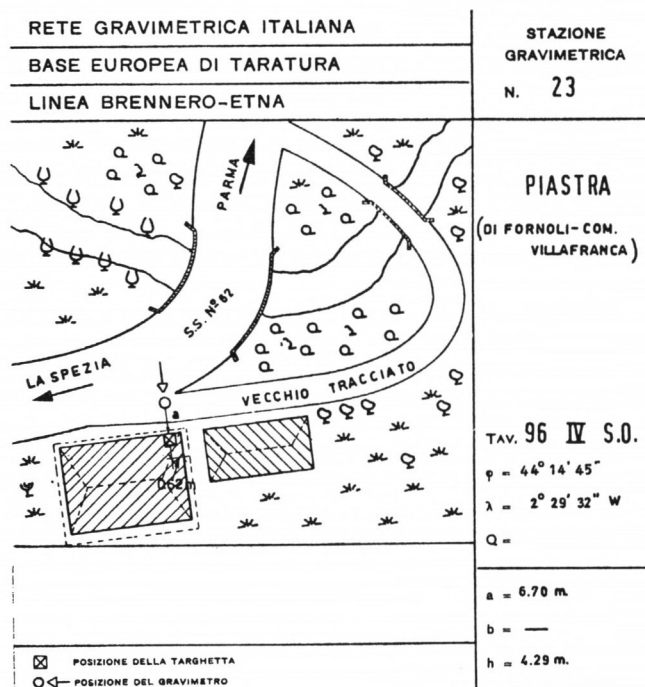
24. GENF OBS. (PENDELPUNKT)

*Genf, Physikalisches Institut*

## 26. MARSEILLE-MARIGNANE (FLUGH.)



## 27. PIASTRA LTE



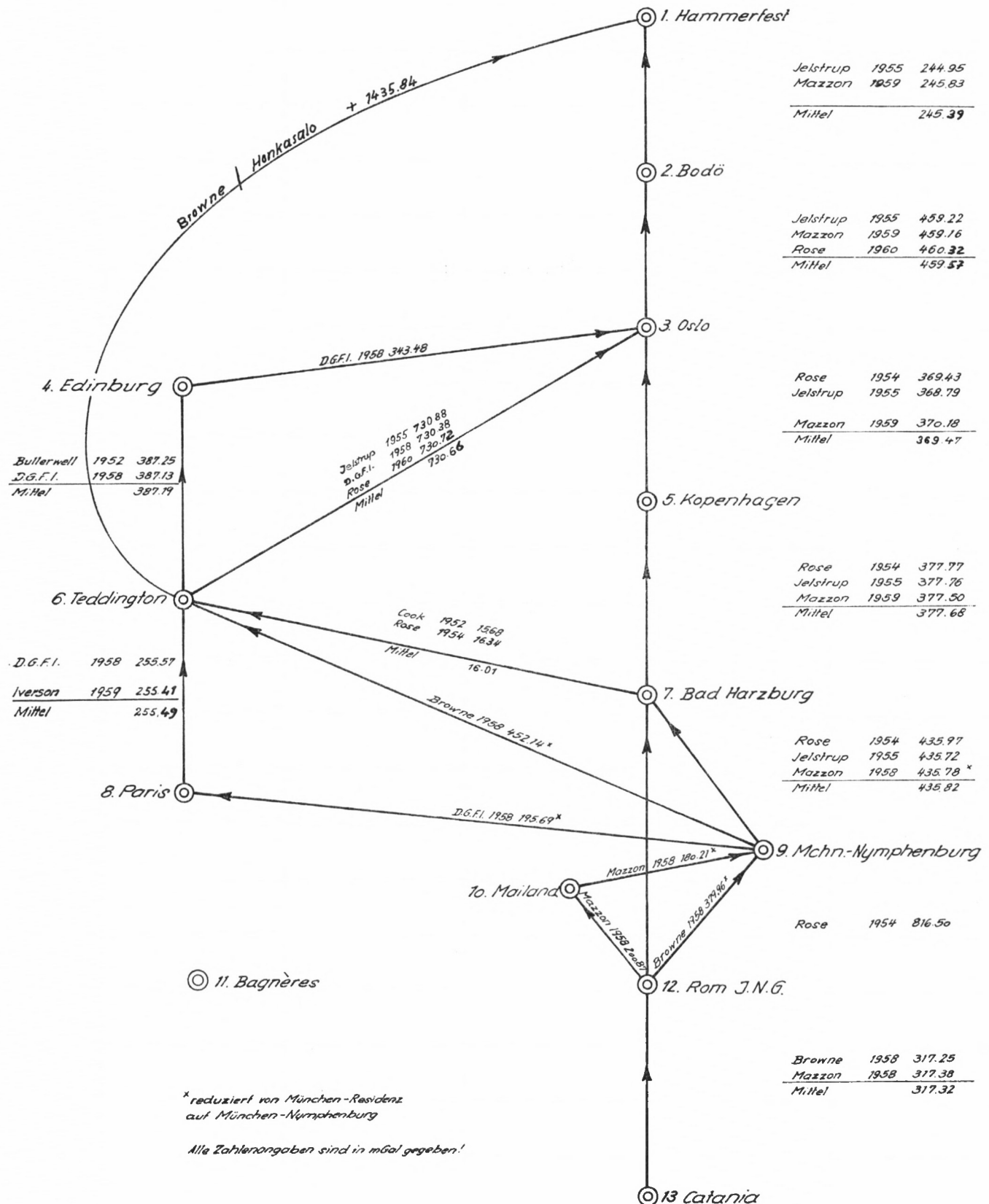
ÜBERSICHTEN

NR. 1-4

## ÜBERSICHT 1

Europäisches Pendelnetz

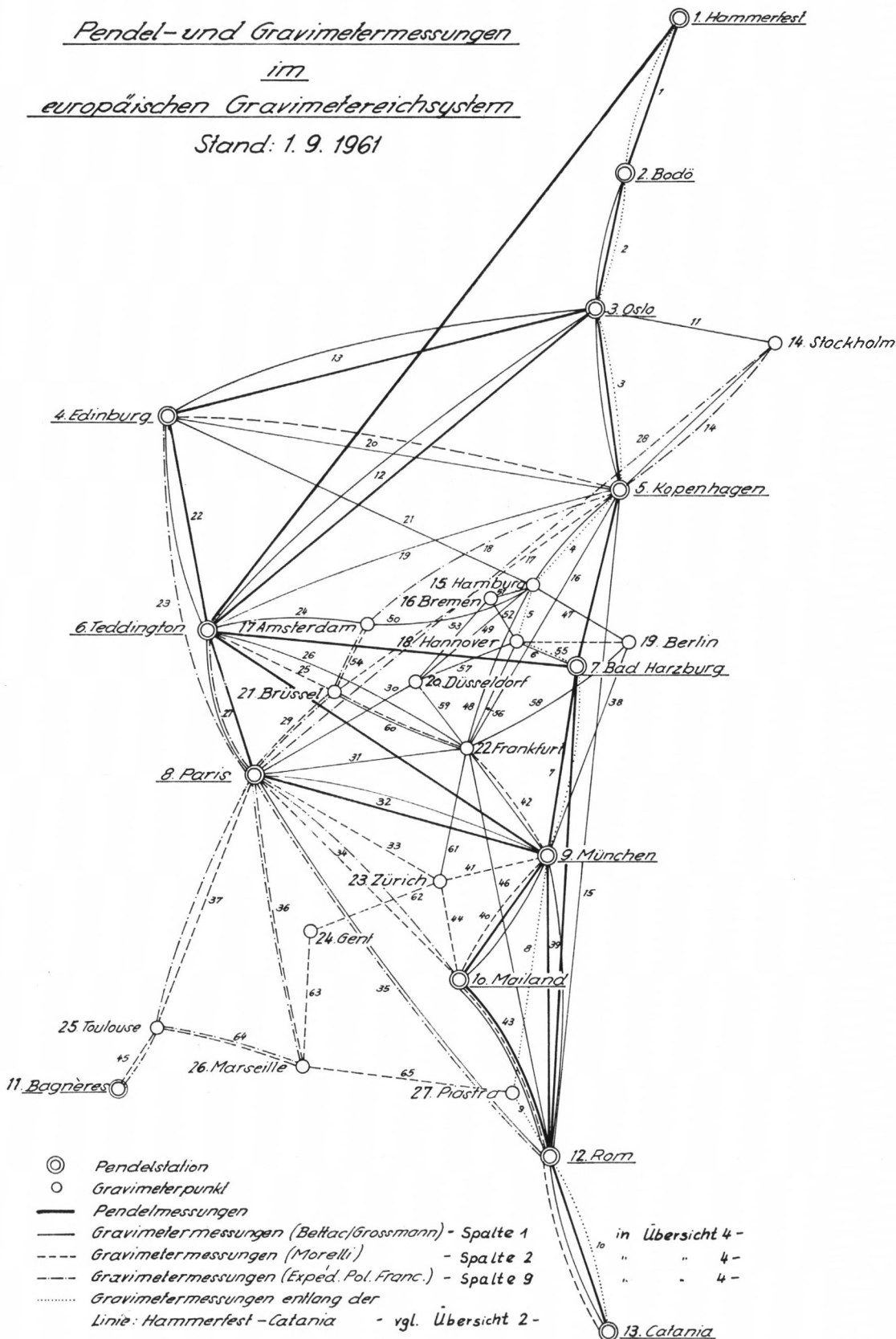
Stand: 1. 9. 61



**Übersicht über die Messungen auf der Linie Hammerfest - Catania  
des europäischen Gravimetereichsystems**

		Sentil 1961	Worden 500		
				Pisani 1960 Worden 50	
Hammerfest				Pisani 1960 WRP 74	
Bodö				Mantua Pisani 1960 WE 485	
Oslo				Brein 1959 NAG 140	
Helsingør				Böck 1959 Ask.Gs. 12 Nr. 85	
Buddinge				Bettac 1959 Ask.Gs. 12 Nr. 130	
Flensburg				Pisani 1958 Worden 203	
Bad Harzburg				Pisani 1958 Worden XPI	
Bamberg				Pisani 1958 Worden 52	
München				Inghilleri 1958 Western 48	
Niederaudorf				Inghilleri 1958 Worden 53	
Colle Isarco				Inghilleri 1958 Worden 116	
Rom - Süd					
Catania					
		Johnsson 1958 Worden 172			
		Johnsson 1958 Nørgaard 1469			
		Pisani 1956 Worden XPI			
		Pisani 1956 Worden 50			
		Brein 1956 NAG 140			
		Riemann 1956 Ask.Gs. 12 Nr. 85			
		Brein 1955 NAG 140			
		Pisani 1954 Wo 50			
		Pisani 1954 Wo 52			
		Sömod 1956 Worden 172			
		Sarov 1956 Worden 142			
		Flensburg PS 1122			

## ÜBERSICHT 3



## ÜBERSICHT 4

Zusammenstellung der Schwereunterschiede  $\Delta g$  zwischen den Knotenpunkten

Nr.	Blatt	Punkt	Schwereunterschiede $\Delta g$ (positiv) = $g_B - g_A$										Bemerkungen zu Spalte <sup>i)</sup>		
			A	B	TH Hannover	Oss. Geof. Triest	DGFI Abt. II Brein	DGFI Abt. I/ TH Aachen Böck/ Riemann	Polit. Milano Inghilleri	NGO Sömod	Dän. Geod. Inst. Saxov	Österr. BA. Senftl	Expéd. Pol. Franç.		
					I	2	3	4	5	6	7	8	9	10	
1	2	1								245,00	244,96				
2	3	2	460,16							459,87	459,90				
3	5	3	369,45												
4	15	5	168,04	168,12	168,28										
5	18	15			102,48	102,33 102,42 102,48		102,49							<sup>a)</sup> 1955 1956 1959
6	7	18			106,91	106,90	106,98 106,92 106,87	106,93							<sup>a)</sup> 1955 1956 1959
7	9	7				435,92 435,87	435,62 435,88		435,83						<sup>a)</sup> 1958/59 <sup>a)</sup> 1955 1956 1956 1959
8	27	9	223,44	223,37	223,58	223,25	223,35			223,41					
9	12	27			156,89	156,99	157,00	156,89	156,94		157,15				<sup>a)</sup> 1958/59 1960
10	13	12	317,39 317,22		317,13 317,17 317,41	317,30	317,47	317,43							<sup>1)</sup> G <sup>2)</sup> L 1958/59 1951 1960
11	14	3	81,68												
12	6	3	730,89												
13	4	3	343,51												
14	5	14	287,78												
15	12	5	1193,81												
16	22	5	500,68												
17	21	5			401,52										
18	17	5									269,64				<sup>a)</sup> We 42 – 1950
19	6	5	361,43												
20	5	4	25,94		25,76										
21	15	4	193,98												
22	6	4	387,38												
23	8	4									643,82 642,97 643,05				<sup>a)</sup> We 42 – 1948 We 42 – 1949 We 42 – 1950
24	6	17	91,70												
25	21	6			40,37										
26	22	6	139,24												
27	8	6			255,68							255,76			<sup>a)</sup> We 42 – 1949
28	8	14										255,86			We 47 – 1952
29	8	21			215,42							904,99			<sup>a)</sup> We 47 – 1952
30	8	20	258,50									215,50			<sup>a)</sup> We 42 – 1949/50

## ÜBERSICHT 4 (Forts.)

Zusammenstellung der Schwereunterschiede  $\Delta g$  zwischen den Knotenpunkten

Nr.	Blatt		Punkt		Schwereunterschiede $\Delta g$ (positiv) = $g_B - g_A$										Bemerkungen zu Spalte <sup>a)</sup>
					TH Hannover Bettac	Oss. Geof. Triest	DGFI Abt. II Brein	DGFI Abt. I/ TH Aachen Böck/ Riemann	Polit. Milano Inghilleri	NGO Sömod	Dän. Geod. Inst. Saxov	Österr. BA. Senftl	Expéd. Pol. Franç.		
	A	B	I	2	3	4	5	6	7	8	9	10			
31	8	22		116,44											
32	9	8		196,47											
33	23	8			253,88										
34	10	8			375,23								375,24		<sup>a)</sup> We 42 - 1949/50
35	12	8			576,69								576,81		<sup>a)</sup> We 42 - 1952/53
													576,57		We 42 - 1954
36	26	8				452,26							452,29		<sup>a)</sup> 1953
						452,13									1953
37	25	8				498,24							498,10		<sup>a)</sup> Mittel aus 8 Mess.
38	9	19		537,17											
39	12	9		380,23											
40	10	9		179,29		179,24									
41	23	9				57,35									
42	9	22		312,91		312,77									
						200,91		200,80							
43	12	10				200,71									
44	10	23				121,59									
45	11	25				155,34							155,49		<sup>a)</sup> Mittel aus 28 Mess.
						155,41									<sup>a)</sup> 1953 1959
46	12	22		693,13											
47	19	15		108,33											
48	22	15		332,64											
49	20	15		190,58											
50	17	15		101,69											
51	16	15		54,69											
52	18	16		47,97											
53	20	16		135,89											
54	21	17			131,97								131,90		<sup>a)</sup> We 42 - 1949/50
55	19	18				5,71									
56	22	18		229,99											
57	20	18		87,92											
58	22	19		224,30											
59	22	20		142,06											
60	22	21		98,93		99,13									
61	23	22		370,18											
62	24	23				105,93									
63	26	24				92,57									
64	25	26				45,69									
65	26	27				32,58							45,81		